

**Projekt:**

## **Dětská skupina Písníky Břeclav**

**Stupeň dokumentace (DÚR + DSP)**  
**Stavebně konstrukční řešení**

### **Technická zpráva** **D.1.2.01**

Objednatel:  
LIVINGSTAV s.r.o.  
Hybešova 42  
602 00 Brno

Odpovědný projektant:  
Ing. Jitka Vlčková  
Dobrovského 328  
664 01 Bílovice Nad Svitavou

Vedoucí projektant:  
Ing. Ivo Hasala  
WINNING STEEL s.r.o.  
Mail: ivo.hasala@be-winning.com Tel.: +420 725 829 609

Vypracoval:  
Ing. Tomáš Suchomel  
05/2024

## Obsah

Obsah .....	2
1. Úvod .....	3
2. Popis objektu .....	3
3. Zatížení .....	4
4. Základové poměry a technický závěr IGP .....	5
5. Popis nosných konstrukcí a materiálové řešení .....	6
5.1 Střecha .....	6
5.2 Svislé nosné konstrukce ve 2.NP .....	6
5.3 Stropní deska nad 1.NP .....	6
5.4 Schodiště .....	7
5.5 Svislé nosné prvky 1.NP .....	7
5.6 Základová deska .....	7
6. Povrchová úprava .....	7
7. BOZP .....	8
8. Zásady platné při provádění betonářských prací .....	9
9. Stavební práce .....	10
10. Další požadavky a upozornění .....	10
11. Podklady a literatura .....	11

## 1. Úvod

Na základě objednávky firmy Livingstav s. r. o. je vyhotovena dokumentace ve stupni DUR + DSP. Projektová dokumentace zahrnuje technickou zprávu a statický výpočet nosných konstrukcí.

## 2. Popis objektu

Předmětem projektu je novostavba s označením „Dětská skupina Písníky Břeclav“ na adrese Písníky 1745/30, katastrální území Břeclav. Tato technická zpráva shrnuje a doplňuje informace uvedené ve statickém výpočtu a je jeho nedílnou součástí.

Novostavba je nepodsklepená se dvěma nadzemními podlažími a usazena mezi dva sousední řadové domy. Půdorysný tvar objektu je obdélníkový s rozměry 32,26 x 11,7m. Jedná se o zděný dům doplněný o železobetonové překlady a systémové překlady, který je založen na železobetonové základové desce s lokálními základovými pasy. V místě prosklené stěny jsou navrženy ocelové sloupy. Stropní konstrukce je z železobetonu. Střešní konstrukce je sedlová asymetrická dřevěná uložena na obvodových pozednicích a dvou vnitřních vaznicích a vynesena krokve.

Obr. 1– Vizualizace novostavby



### 3. Zatížení

Pro statický výpočet byly uvažovány následující hodnoty zatížení (viz také statický výpočet):

#### Stálé zatížení:

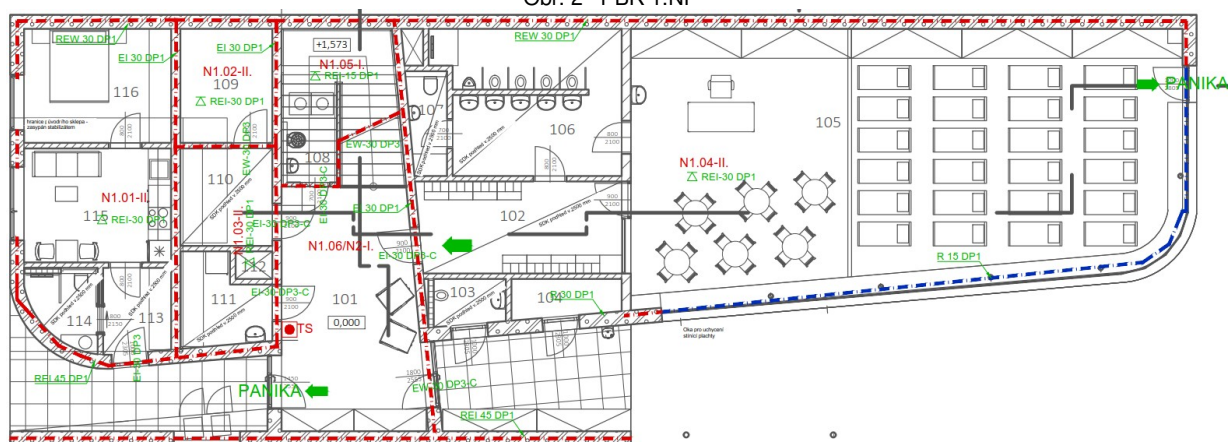
Vlastní tíha nosných konstrukcí .....	generována automaticky výpočetním programem;
(objemová tíha železobetonu = 25 kN/m <sup>3</sup> )	
Skladba střechy se sklonem 32° .....	1,14 kN/m <sup>2</sup> ;
Skladba střechy se sklonem 3° .....	0,83 kN/m <sup>2</sup> ;
Plochá zelená střecha .....	2,60 kN/m <sup>2</sup> ;
Typická podlaha .....	1,66 kN/m <sup>2</sup> ;
Typická obvodová stěna (včetně zdiva) .....	3,17 kN/m <sup>2</sup> ;
Nosná stěna tl. 250mm (včetně zdiva) .....	3,07 kN/m <sup>2</sup> ;
Vnitřní příčka tl. 150mm (včetně zdiva) .....	2,27 kN/m <sup>2</sup>

#### Užitné zatížení

Byty (kat. A – stropy) .....	1,5 kN/m <sup>2</sup> ;
Byty (kat. A – schodiště, chodby, balkony) .....	3,0 kN/m <sup>2</sup> ;
Užitné na střeše (kat. H) .....	0,75 kN/m <sup>2</sup> ;
Solární panely (kat. E) .....	0,75 kN/m <sup>2</sup>

#### Mimořádné zatížení

Obr. 2– PBŘ 1.NP



Zemětřesení – ve zvoleném regionu se nenachází žádná seizmická oblast ( $a_{gr} = 0,00$  g).

#### Klimatické zatížení

sníh ( $s_0 = 0,75$  kN/m<sup>2</sup>, oblast II) .....  $s_k = 0,75$  kN/m<sup>2</sup>;

vítr ( $v_{b0} = 25,0$  m/s, oblast II, kategorie terénu IV).....  $q_k = 0,46$  kN/m<sup>2</sup>

Veškerá výše uvedená zatížení byla zařazena do jednotlivých zatěžovacích stavů a dle zásad normy [3] byly vytvořeny potřebné kombinace pro posouzení MSÚ + MSP.



## 4. Základové poměry a technický závěr IGP

V lokalitě byly v roce 2016 provedeny dvě kopané sondy. Závěry z provedeného průzkumu viz níže:

- Z pohledu normy pro zakládání ČSN 73 1001 jsou základové poměry na lokalitě hodnoceny jako jednoduché;
- Tabulková výpočtová únosnost  $R_{dt} = 195 \text{ kPa}$  (pro šířku základu 0,5 m bez vlivu podzemní vody)
- Minimální nezámrazná hloubka 1,0 m
- Srážkové vody jsou doporučeny likvidovat podzemním vsakovacím zařízením s propustnou vrstvou v hloubce cca 2,0 až 2,1 m. Nejvhodnější zeminou jsou štěrky tř. G1.

Během provádění výkopových prací je nutno přizvat geotechnika, který ověří, že jsou v celém rozsahu zastiženy zeminy s vlastnostmi uvedenými v IGP. Případné změny je nutno konzultovat se statikem.

Obr. 3 – Mapa území s vyznačeným rozsahem (červeně) a stávajícími objekty



## 5. Popis nosných konstrukcí a materiálové řešení

### 5.1 Střecha

- Statický výpočet viz str. 12;
- Rozpon střechy do zahrady vynáší krokve č.1, které jsou ve sklonu 3° o rozměrech b/h = 200/240 mm ze dřeva C24 po osově vzdálenosti 900mm;
- Rozpon střechy do ulice vynáší krokve č.2, které mají sklon 32° o rozměrech b/h = 140/180 mm ze dřeva C24 po osově vzdálenosti 900mm;
- Detailní návrh spojů provede dodavatel střešních vazníků dle zvyklostí;
- Konstrukce střechy bude uložena po obvodu na pozednicích, vrcholové vaznici a další vaznicí nad průvlakem č.1.

### 5.2 Svislé nosné konstrukce ve 2.NP

- Statický výpočet viz str. 16;
- Obvodové zdivo bude zhotoveno z cihelné tvárnice vyplněné polystyrenem o celkové tloušťce 380mm, požadovanou pevností tvárnice P10 a maltou M5;
- Vnitřní nosné zdivo bude realizováno z keramické tvárnice o celkové tloušťce 250mm, požadovanou pevností tvárnice P10 a maltou M5;
- Pod vnitřními vaznicemi je navržen železobetonový ztužující věnec s rozměry b/h = 250/250 mm, z betonu C25/30-XC1, třmínky Ø6/300 + podélná výztuž 2Ø12 nahoře + 2Ø12 dole.
- Vedle šatny pro děti a nad hernou je navrženo do ztužujícího věnce obetonování ocelového profilu HEB 180, oceli S235;
- Mezi hernou a terasou je navržen železobetonový průvlak č.2, který nahrazuje v tomto místě ztužující věnec s rozměry b/h = 300/250mm, z betonu C25/30-XC1, třmínky Ø6/300 + podélná výztuž 4Ø14 nahoře + 4Ø14 dole.
- Obvodové zdivo je zakončeno obvodovým ztužujícím železobetonovým věncem. Věnec je v rovině směrem do ulice a do zahrady. K sousedům kopíruje sklon střechy (32° a 3°). Věnec má rozměry b/h = 300/250mm, z betonu C25/30-XC3/XF1, třmínky Ø6/300 + podélná výztuž 2Ø12 nahoře + 2Ø12 dole.

### 5.3 Stropní deska nad 1.NP

- Statický výpočet viz str. 19;
- Stropní deska nad 1.NP v interiéru bude realizována v tloušťce 200 mm z betonu C25/30-XC1 s vázanou základní výztuží Ø12/200 mm a lokální příložky Ø12/200 mm;
- Stropní deska nad 1.NP v exteriéru bude realizována v tloušťce 300 mm z betonu C25/30-XC3/XF1(exteriér) a XC1(v interiéru) s vázanou základní výztuží Ø12/100 mm pro hlavní směr namáhání a lokální příložky Ø12/200 mm v dalších směrech. Zde bude také provedeno nadvýšení bednění pro snížení nadlimitních deformací konstrukce;
- V exteriéru se nachází atika s rozměry b/h = 250/1550 mm, z betonu C25/30-XC3/XF1, třmínky Ø6/300 + podélná výztuž 3Ø16 nahoře + 3Ø16 dole.

## 5.4 Schodiště

- Statický výpočet viz str. 28;
- Schodiště bude propojeno se stropní deskou a uloženo na základovou desku bez zmonolitnění. Na opačné straně je schodiště podepřeno nosnou stěnou;
- Schodiště je navrženo v tloušťce 180mm z betonu C25/30-XC2, spodní nosná výztuž Ø12/100 a ostatní konstrukční výztuž Ø8/100.

## 5.5 Svislé nosné prvky 1.NP

- Statický výpočet viz str. 32;
- Obvodové zdivo bude zhotoveno z cihelné tvárnice vyplněné polystyrenem o celkové tloušťce 380mm, požadovanou pevností tvárnice P10 a maltou M5;
- Vnitřní nosné zdivo bude realizováno z keramické tvárnice o celkové tloušťce 250mm, požadovanou pevností tvárnice P10 a maltou M5;
- V místě prosklené stěny budou zhotoveny kruhové ocelové sloupy o rozměru 101,6x8mm z oceli S235;
- Nad otvory bude realizován systémový překlad dle šířky příslušné stěny;
- V místě vnitřní nosné stěny vedle herny bude zhotoven železobetonový překlad s rozměry b/h = 250/850 mm, z betonu C25/30-XC1, třmínky Ø8/200 + podélná výztuž 3Ø14 nahore + 3Ø14 dole;

## 5.6 Základová deska

- Statický výpočet viz str. 39;
- Základová deska bude realizována v tloušťce 300 mm z betonu C25/30-XC2 s vázanou základní výztuží Ø12/200 mm;
- Základový pas pod linií ocelových sloupů bude zhotoven o minimálních rozměrech b/h = 500/500 mm, z betonu C25/30-XC2, třmínky Ø6/200 mm, podélná výztuž 3Ø12;
- V místě podsklepených prostor u sousedního objektu bude zhotovena monolitická stěna tl. 300 mm až na úroveň paty sousedního objektu z prostého betonu C20/25-XC2 z důvodu nerovnoměrného sedání konstrukce.

## 6. Povrchová úprava

Na železobetonové konstrukce nejsou kladeny požadavky na pohledovost.

Ocelové konstrukce budou chráněny antikoročním nátěrem dle třídy korozní agresivity prostředí C3 a bude opatřen protipožárním nátěrem pro zajištění R15.

## 7. BOZP

Při provádění stavebních prací je třeba respektovat platné předpisy o bezpečnosti práce a technických zařízení při stavebních, kterými se stanoví podmínky ochrany zdraví při práci. Za dodržování zodpovídá dodavatel.

Jedná se zejména o:

<b>Vyhl. č. 268/2009 Sb.,</b>	o technických požadavcích na stavby
<b>NV č. 378/2001 Sb.,</b>	kterým se stanoví bližší požadavky na bezpečný provoz a používání strojů, T Z, přístrojů a nářadí
<b>NV č. 495/2001 Sb.,</b>	kterým se stanoví rozsah a bližší podmínky poskytování osobních ochranných pracovních prostředků, mycích, čisticích a dezinfekčních prostředků
<b>NV č. 11/2002 Sb.,</b>	kterým se stanoví vzhled a umístění bezpečnostních značek a zavedení signálů
<b>NV č. 168/2002 Sb.,</b>	kterým se stanoví způsob organizace práce a pracovních postupů, které je zaměstnavatel povinen zajistit při provozování dopravy dopravními prostředky
<b>NV č. 406/2004 Sb.,</b>	o bližších požadavcích na zajištění bezpečnosti a ochrany zdraví při práci v prostředí s nebezpečím výbuchu
<b>NV č. 101/2005 Sb.,</b>	o podrobných požadavcích na pracoviště a pracovní prostředí
<b>NV č. 309/2005 Sb.,</b>	o zajišťování technické bezpečnosti vybraných zařízení
<b>NV č. 362/2005 Sb.,</b>	o bližších požadavcích na bezpečnost a ochranu zdraví při práci na pracovištích s nebezpečím pádu z výšky nebo do hloubky
<b>NV č. 591/2006 Sb.,</b>	o bližších minimálních požadavcích na bezpečnost a ochranu zdraví při práci na staveništích
<b>NV č. 592/2006 Sb.,</b>	o podmínkách akreditace a provádění zkoušek z odborné způsobilosti
<b>NV č. 361/2007 Sb.,</b>	kterým se stanoví podmínky ochrany zdraví při práci
<b>NV č. 278/2008 Sb.,</b>	o obsahových náplních jednotlivých živností
<b>Ústavní nález č. 241/2009 Sb.,</b>	vysvětlení pojmů: normová hodnota, platnost nebo závaznost norem, bezplatná veřejná přístupnost norem
<b>NV č. 201/2010 Sb.,</b>	o způsobu evidence úrazů, hlášení a zasilání záznamu o úrazu
<b>NV č. 272/2011 Sb.,</b>	o ochraně zdraví před nepříznivými účinky hluku a vibrací
<b>NV č. 295/2011 Sb.,</b>	o způsobu hodnocení rizik ekologické újmy a bližších podmínkách finančního zajištění
<b>NV č. 439/2013 Sb.,</b>	o úpravě náhrady za ztrátu výdělku po skončení pracovní neschopnosti vzniklé pracovním úrazem
<b>NV č. 352/2014 Sb.,</b>	o plánu odpadového hospodářství ČR pro období 2015 – 2025
<b>NV č. 291/2015 Sb.,</b>	o ochraně zdraví před neionizujícím zářením
<b>NV č. 351/2015 Sb.,</b>	o úpravě náhrady za ztrátu na výdělku po skončení pracovní neschopnosti vzniklé pracovním úrazem nebo nemocí z povolání (nařízení o úpravě náhrady)
<b>NV č. 339/2017 Sb.,</b>	o bližších požadavcích na způsob organizace práce a pracovních postupů při práci v lese a na pracovištích obdobného charakteru
<b>NV č. 375/2017 Sb.,</b>	o vzhledu, umístění a provedení bezpečnostních značek a značení a zavedení signálů
<b>Zákon 88/2016 Sb.</b>	

## 8. Zásady platné při provádění betonářských prací

### Bednění

- Bednění musí být těsné, únosné a prostorově tuhé. Bednění musí být v každém stadiu montáže i demontáže zajištěno proti pádu jeho prvků a částí. Při jeho montáži, demontáži a používání se postupuje v souladu s průvodní dokumentací výrobce a s ohledem na bezpečný přístup a zajištění proti pádu fyzických osob. Podpěrné konstrukce bednění, jako jsou stojky a rámové podpěry, musí mít dostatečnou únosnost a být úhlopříčně ztuženy v podélné, příčné i vodorovné rovině.
- Podpěrné konstrukce musí být navrženy a montovány tak, aby je bylo možno při odbedňování postupně odstraňovat a uvolňovat bez nebezpečí.
- Únosnost podpěrných konstrukcí a bednění musí být doložena statickým výpočtem s výjimkou prvků bez konstrukčního rizika. (zajišťuje dodavatel bednicích prvků).
- Před zahájením betonářských prací musí být bednění jako celek a jeho části, zejména podpěry, řádně prohlédnuty a zjištěné závady odstraněny. O předání a převzetí hotové konstrukce bednění a její kontrole provede fyzická osoba pověřená zhotovitelem k řízení betonářských prací písemný záznam.

### Přeprava a ukládání betonové směsi

- Při přečerpávání betonové směsi do přepravníků nebo zásobníků a při jejím ukládání do konstrukce je nutno pracovat z bezpečných pracovních podlah, popřípadě plošin, aby byla zajištěna ochrana fyzických osob zejména proti pádu z výšky nebo do hloubky, proti zavalení a zalití betonovou směsí. Nelze-li taková místa zřídit, zajistí zhotovitel ochranu fyzických osob jinými prostředky stanovenými v technologickém postupu, jako jsou osobní ochranné pracovní prostředky proti pádu nebo ochranný koš.
- Pro přístup a pro ruční přepravu betonové směsi musí být vybudovány bezpečné přístupové komunikace, například pracovní nebo přístupová lešení, popřípadě podlahy tak, aby byla vyloučena chůze fyzických osob bezprostředně po uložené výztuži.
- Zhotovitel zajistí provádění kontroly stavu podpěrné konstrukce bednění v průběhu betonáže. Zjištěné závady musí být bezodkladně odstraňovány.
- Doprovádí-li se betonová směs do místa ukládání čerpadlem, zhotovitel stanoví a zajistí způsob dorozumívání mezi fyzickou osobou provádějící ukládání a obsluhou čerpadla.

### Odbedňování

- Odbedňování nosných prvků konstrukcí nebo jejich částí, u nichž při předčasném odbednění hrozí nebezpečí zřícení nebo poškození konstrukce, smí být zahájeno jen na pokyn fyzické osoby určené zhotovitelem.
- Hrozí-li při odbedňování konstrukcí nebezpečí pádu z výšky nebo do hloubky, dodržuje zhotovitel bližší požadavky zvláštního právního předpisu. Žebřík lze při odbedňovacích pracích používat pouze do výšky 3 m odbedňované konstrukce nad pracovní podlahou a za předpokladu, že se neuvolňují ani neodstraňují nosné části bednění a stabilita žebříku není závislá na demontovaných částech bednění a podpěr.
- Ohrožený prostor odbedňovacích prací je nutno zajistit proti vstupu nepovolaných fyzických osob.
- Součásti bednění se bezprostředně po odbednění ukládají na určená místa tak, aby nebyly zdrojem nebezpečí úrazu a nepřetěžovaly konstrukci.



## Práce železářské

- Prostory, stroje, přípravky a jiná zařízení pro výrobu armatury musí být uspořádány tak, aby fyzické osoby nebyly ohroženy pohybem materiálu a jeho ukládáním.
- Při stříhání několika prutů současně musí být pruty zajištěny v pevné poloze konstrukcí stroje nebo vhodnými přípravky.
- Při stříhání a ohýbání prutů nesmí být stroj přetěžován. Pruty musí být upevněny nebo zajištěny tak, aby nemohlo dojít k ohrožení fyzických osob.

## Montážní práce

- Svislé dílce se po osazení musí zajistit proti překlopení šrouby, montážními stolicemi, vzpěrami, zaklínováním v základové patce nebo jiným vhodným způsobem. Způsob uvolňování vázacích prostředků z osazovaných dílců, zejména svislých, stanoví technologický postup montáže tak, aby bezpečnost osob nebyla podmíněna stabilitou osazovaných dílců a aby stabilita dílců nebyla touto činností ohrožena.
- Následující dílec se smí osazovat teprve tehdy, až je předcházející dílec bezpečně uložen a upevněn podle technologického postupu.
- Montážní přípravky pro dočasné zajištění dílců smí být odstraňovány až po upevnění dílců a prostorovém ztužení konstrukce stanoveném v projektové dokumentaci.
- Technologický postup stanoví způsob vyztužení těch dílců, při jejichž osazení je bezpečnost fyzických osob ohrožena v důsledku rozkmitání těchto dílců působením větru.
- Ocelové konstrukce musí být po dobu jejich montáže trvale uzemněny.

## 9. Stavební práce

Při provádění bude postupováno dle platných norem ČSN pro jednotlivé stavební práce. Důraz musí být kladen především na dodržování technických, technologických a jakostních standardů. Během všech fází výstavby musí být zajištěna stabilita budovaných konstrukcí.

## 10. Další požadavky a upozornění

- Dokumentace je zpracovaná ve stupni DÚR + DSP, nejedná se o dokumentaci pro provedení stavby ani dokumentaci výrobní;
- **Nutná přebírka výztuže a všech zabudovaných prvků před zabetonováním (prováděcí firma zajistí autorský dozor na stavbě);**
- Při provádění výkopových prací je nutno přizvat geotechnika, který stanoví, že v celé ploše základové spáry jsou parametry základové půdy s únosností minimálně takovou, jaká byla stanovena během IGP.
- Podstojkování stropní desky nad 1.NP může být odstraněno nejdříve po 28 dnech od vybetonování - během této doby musí být beton řádně ošetřován.

## 11. Podklady a literatura

### Podklady

- [1] Výkresové a textové podklady zaslané objednatelem (Livingstav s. r. o.)

### Normy

- [2] ČSN EN 1990 – Zásady navrhování konstrukcí
- [3] ČSN EN 1991 – Zatížení konstrukcí
- [4] ČSN EN 1992 – Navrhování betonových konstrukcí
- [5] ČSN EN 1993 – Navrhování ocelových konstrukcí
- [6] ČSN EN 1997 – Navrhování geotechnických konstrukcí
- [7] ČSN EN 206-1 Beton-Část 1: Specifikace, vlastnosti, výroba a shoda
- [8] ČSN EN 1997-1 Eurokód 7 Navrhování geotechnických konstrukcí
- [9] ČSN 72 1006 - Kontrola zhutnění zemin a sypanin
- [10] ČSN 73 1001 - Základová půda pod plošnými základy

### Software

SCIA Engineer  
ISB CAD  
MS Office

**Předložená projektová dokumentace slouží pro stupeň DÚR + DSP.**

**Nejedná se o dokumentaci pro provedení stavby ani dokumentaci výrobní!**

V Brně 05/2024

Ing. Tomáš Suchomel

Projekt:

## **Dětská skupina Písníky Břeclav**

Místo stavby:

Číslo parcely: 1108 + 3865

Katastrální území: Břeclav

## **STATICKÝ VÝPOČET**

### **D.1.2.2**

Stupeň dokumentace: DÚR + DSP

Stavebně konstrukční řešení


Objednatel:  
LIVINGSTAV s.r.o.  
Hybešova 42  
602 00 Brno

Odpovědný projektant:  
Ing. Jitka Vlčková  
Dobrovského 328  
664 01 Bílovice Nad Svitavou

Vedoucí projektant:  
Ing. Ivo Hasala  
WINNING STEEL s.r.o.  
tel.: 725 829 609

Vypracoval:  
Ing. Tomáš Suchomel  
05/2024



 <small>member of winning group</small>	Dětská skupina Písníky Břeclav	DÚR+DSP
	Statický výpočet	

## 1. Obsah

1. Obsah	2
2. Úvod	3
2.1. Koordinační situace	4
2.2. Půdorys 1.NP	5
2.3. Půdorys 2.NP	6
2.4. Řez A-A	7
2.5. Řez B-B, C-C	8
3. Základové poměry	9
4. Zatížení	10
5. Dětská skupina	12
5.1. Střecha	12
5.1.1. Krokev 1	12
5.1.2. Krokev 2	14
5.1.3. Průvlaky	16
5.1.3.1. Schéma pozic	16
5.2. Stropní deska nad 1.NP	19
5.2.1. 2D vnitřní síly; $m_{xD-}$	20
5.2.2. 2D vnitřní síly; $m_{yD-}$	20
5.2.3. 2D vnitřní síly; $m_{xD+}$	21
5.2.4. 2D vnitřní síly; $m_{yD+}$	21
5.2.5. Normově závislý průhyb; $\delta_{tot}$	22
5.2.6. 2D vnitřní síly; $m_{yD-}$	22
5.2.7. 2D vnitřní síly; $m_{xD-}$	23
5.2.8. 2D vnitřní síly; $m_{yD+}$	23
5.2.9. 2D vnitřní síly; $m_{xD-}$	24
5.2.10. Normově závislý průhyb; $\delta_{tot}$	24
5.2.11. Posouzení na ohyb	25
5.2.12. Posouzení na ohyb	26
5.2.13. Posouzení atiky	27
5.3. Schodiště	28
5.3.1. 2D vnitřní síly; $m_{yD-}$	28
5.3.2. 2D vnitřní síly; $m_{xD-}$	29
5.3.3. 2D vnitřní síly; $m_{yD+}$	29
5.3.4. 2D vnitřní síly; $m_{xD+}$	30
5.3.5. Normově závislý průhyb; $\delta_{tot}$	30
5.3.6. Posouzení na ohyb	31
5.4. Zdivo	32
5.5. Ocelové sloupy	35
5.5.1. Posudek ocelových prvků na MSÚ EC-EN 1993	35
5.6. Překlady	36
5.6.1. Posouzení překladu	38
5.7. Základová deska	39
5.7.1. Pozice základového pasu	39
5.7.2. 2D vnitřní síly; $m_{xD-}$	40
5.7.3. 2D vnitřní síly; $m_{yD-}$	40
5.7.4. 2D vnitřní síly; $m_{xD+}$	41
5.7.5. 2D vnitřní síly; $m_{yD+}$	41
5.7.6. Vnitřní síly 2D; $v_{Ed}$	42
5.7.7. 2D kontaktní napětí; $\sigma_z$	42
5.7.8. Posouzení základové desky	43
5.7.9. 1D vnitřní síly; $V_z$	44
5.7.10. 1D vnitřní síly; $M_y$	44
5.7.11. Posouzení základového pasu	45

## 2. Úvod

Předmětem projektu je novostavba objektu Dětská skupina v zastavěném území, katastrální území Břeclav.

Nedílnou součástí statického výpočtu je technická zpráva, která shrnuje a doplňuje informace zde uvedené. Projekt je zpracován ve stupni DÚR + DSP. Nejedná se o dokumentaci pro provedení stavby ani dokumentaci výrobní!

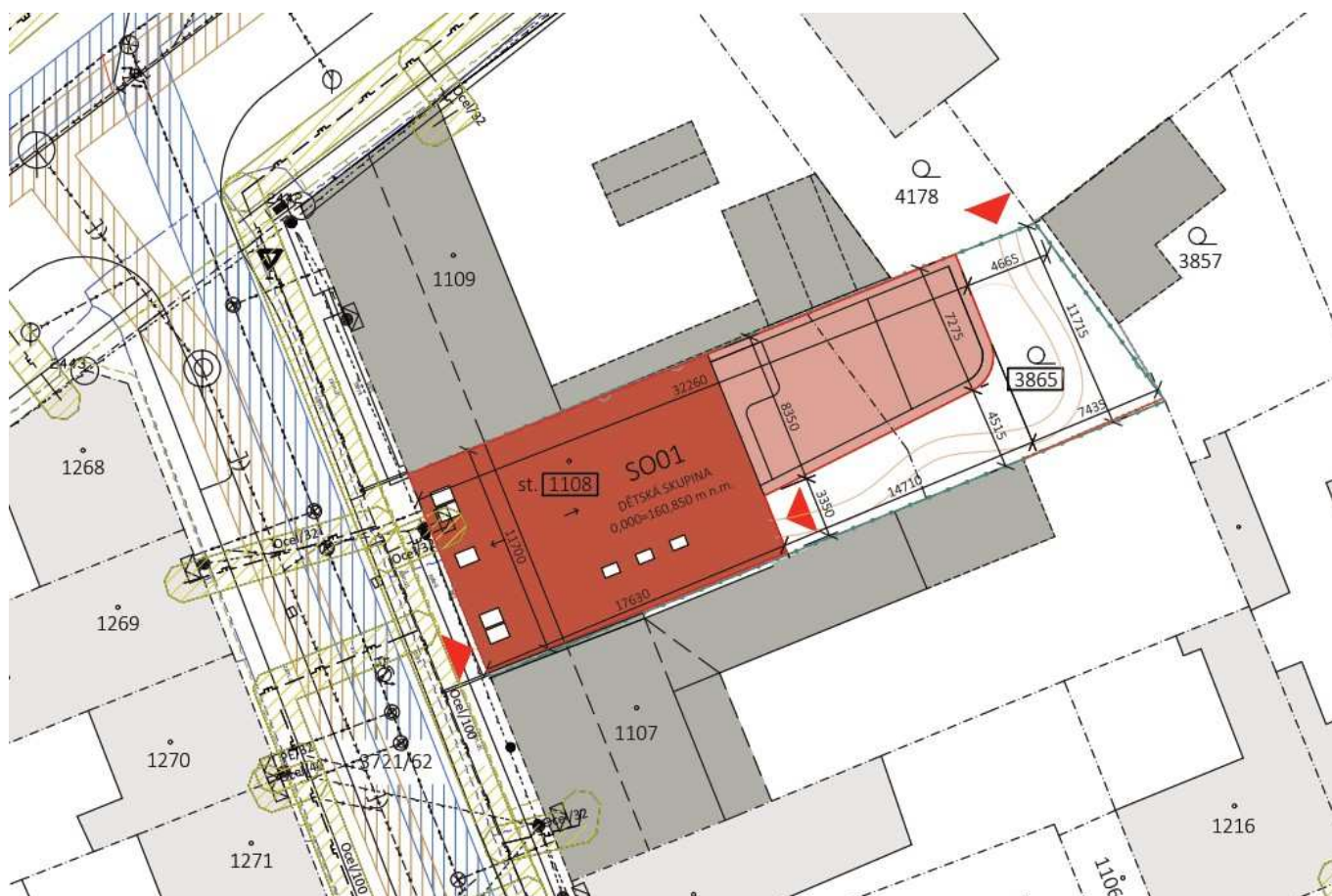
Níže je uvedena vizualizace pro navrhovaný stav.



VIZUALIZACE Z PTAČÍ PERSPEKTIVY

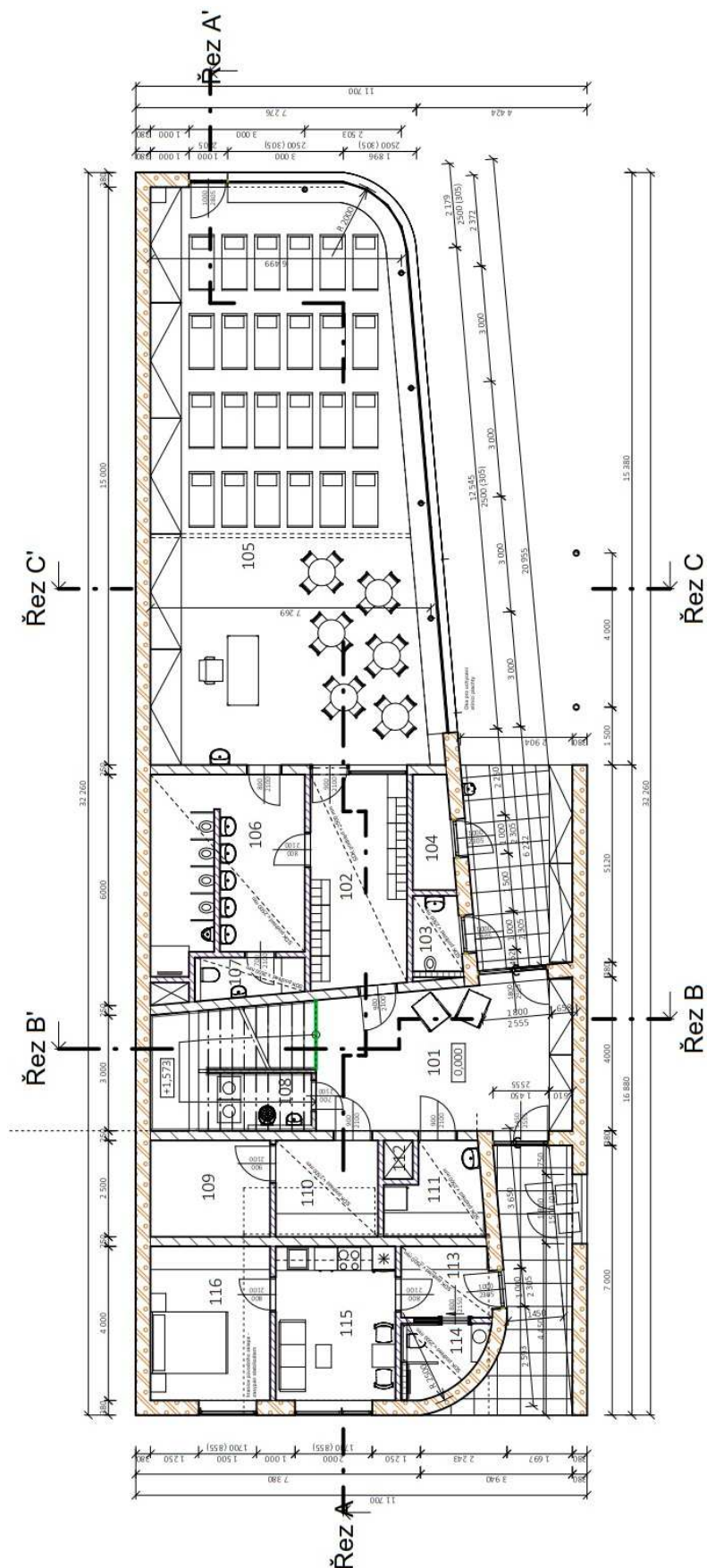


## 2.1. Koordinační situace

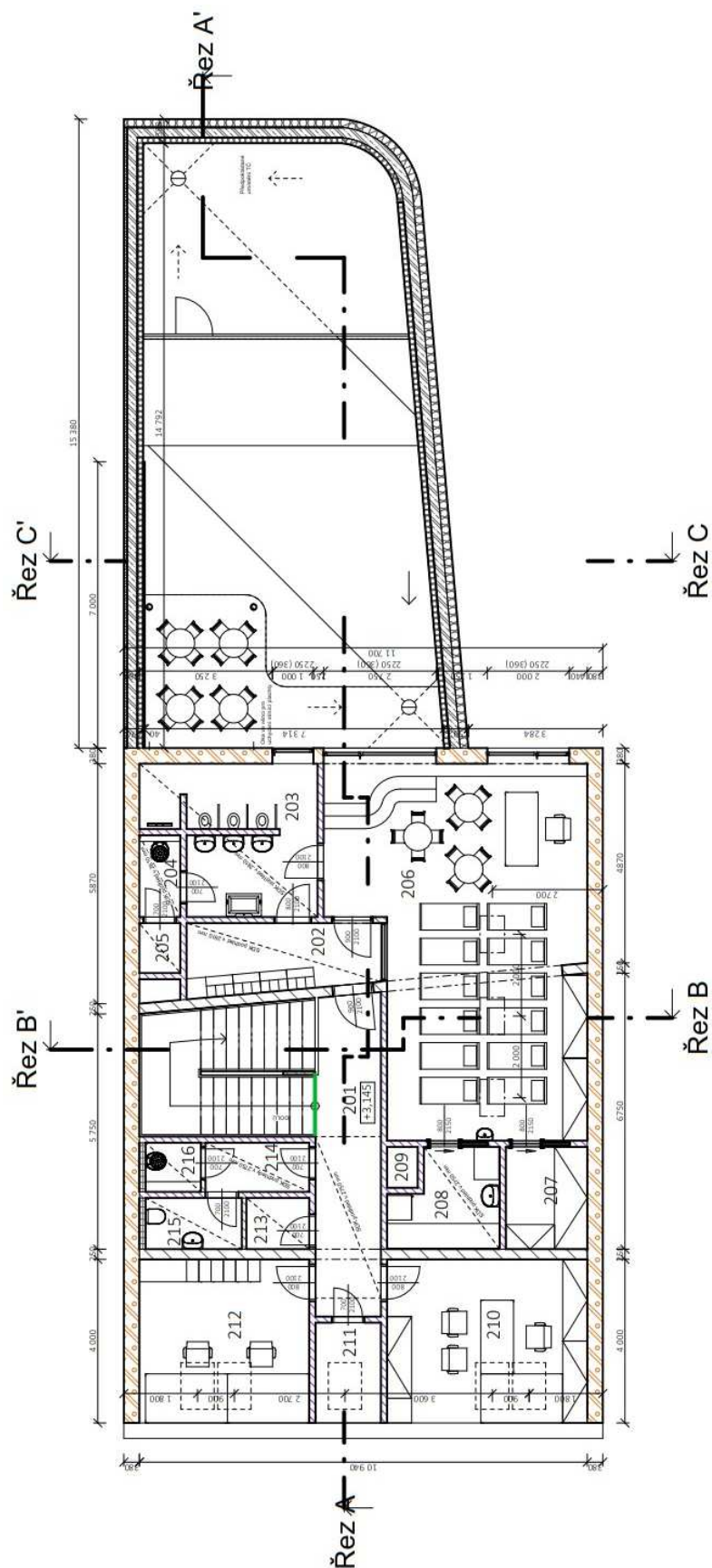




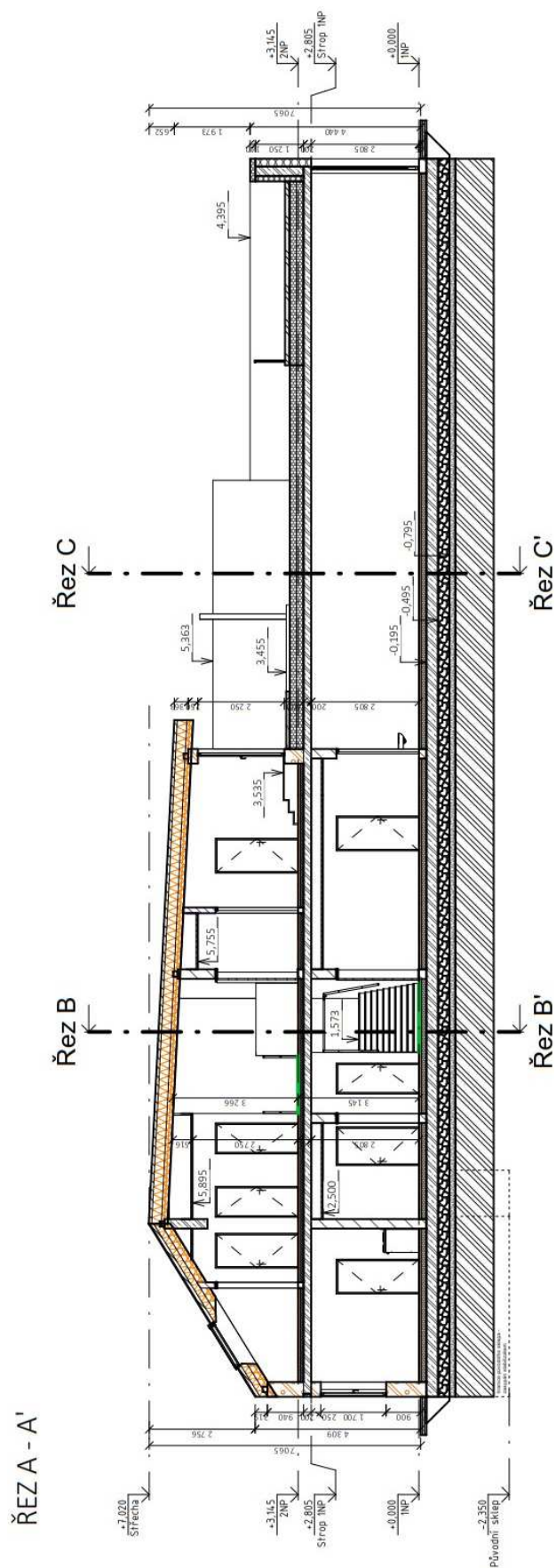
## 2.2. Půdorys 1.NP



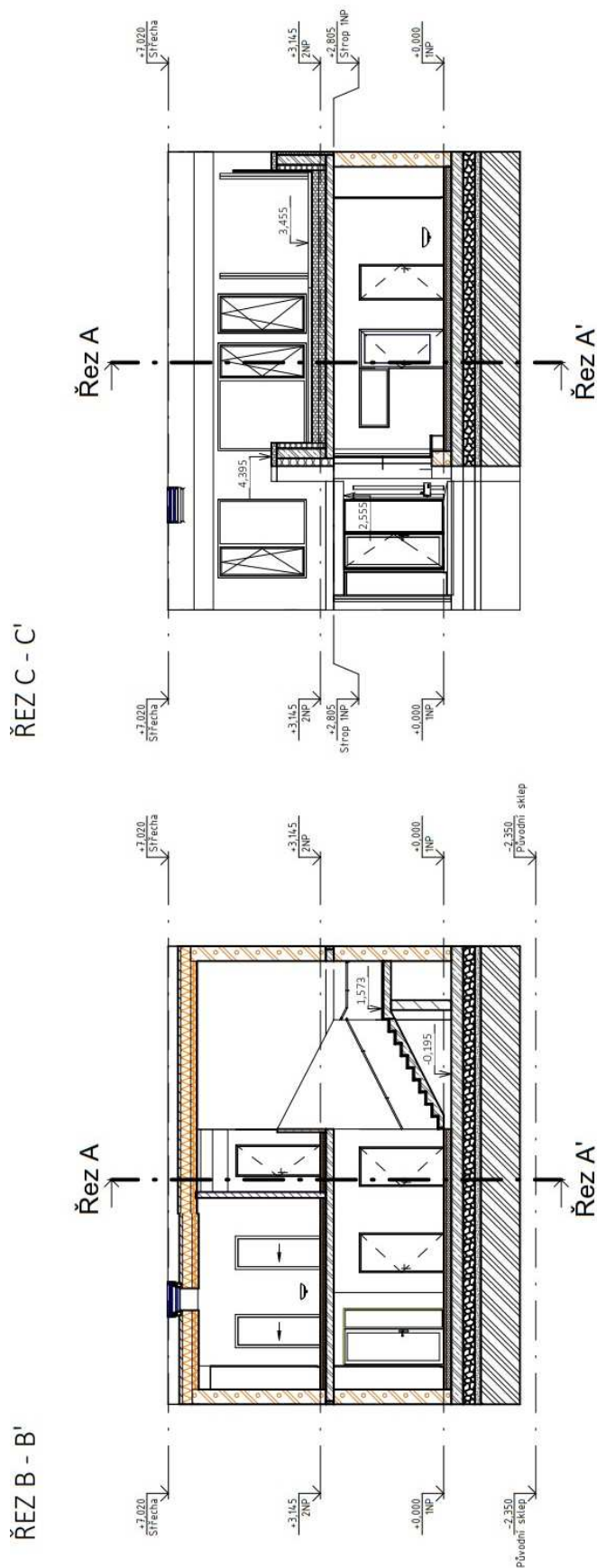
### 2.3. Půdorys 2.NP




## 2.4. Řez A-A



## 2.5. Řez B-B, C-C



	Dětská skupina Písníky Břeclav	DÚR+DSP
	Statický výpočet	

### 3. Základové poměry

V lokalitě zájmového území byly zhotoveny dvě sondy. Z pohledu normy pro zakládání jsou základové poměry na lokalitě hodnoceny jako jednoduché dle inženýrskogeologického průzkumu (IGP) a hydrogeologického průzkumu (HGP) uskutečněného v listopadu 2016.

Tabulka č. 1: Geologická dokumentace sondy KS-1

Interval (m)	Geologická dokumentace	Třída dle ČSN 73 6133	Třída těžitelnosti	
			ČSN 73 3050	ČSN 73 6133
Sonda KS-1				
0,00 – 0,40	Navážka: Písčitá zemina – písek s příměsí jemnozrné zeminy a s příměsí oblázků a úlomků zdiva, hnědý, středně uhlý.	S3 S-FY Písek s příměsí jemnozrné zeminy	2	I.
0,40 – 0,90	Navážka: Škvára, černá, hrubozrná.	Průmyslový odpad	1	I.
0,90 – 2,00	Navážka: Střídání vrstviček hnědého, jemného až středního písku hlinitého s vrstvičkami žlutého slabě hlinitého písku. V píscích se občasné vyskytují nerovnoměrně rozložené tenké vrstvičky jílovito-písčité povahy – písku jílovitého až jílu písčitého. Písky jsou středně uhlé, jemnozrná složka je tuhé konzistence. Občasný výskyt drobných úlomků zdiva.	-Y Heterogenní směs zemin	2	I.
1,95 – 2,70	Kvartér: Písek, jemný a střední, s příměsí oblázků cca 10 %, žlutý, středně uhlý, fluvialní.	S1 SW Písek dobře změněný	2	I.
Hladina podzemní vody: Přítomnost podzemní vody nezjištěna.				



## 4. Zatížení

Vlastní váha - generována programem

Ostatní stálé

Sedlová střecha RD (sklon 32°)	S10		
Název vrstvy	tl. (mm)	kN/m <sup>3</sup>	kN/m <sup>2</sup>
Keramická pálená taška	-	-	0,550
Latě + kontralatě	-	-	0,025
Izolační souvrství	180	1,5	0,270
Nosná konstrukce střechy	-	-	0,180
SDK podhled + tepelná izolace	-	-	0,300
<b>celkem</b>			<b>1,325</b>

Sedlová střecha RD (sklon 3°)	S9		
Název vrstvy	tl. (mm)	kN/m <sup>3</sup>	kN/m <sup>2</sup>
OSB desky + fólie	-	-	0,140
Latě + kontralatě	-	-	0,025
Izolační souvrství	240	1,5	0,360
Nosná konstrukce střechy	-	-	0,350
SDK podhled + tepelná izolace	-	-	0,300
<b>celkem</b>			<b>1,175</b>

Plochá zelená střecha RD	S8 + S7		
Název vrstvy	tl. (mm)	kN/m <sup>3</sup>	kN/m <sup>2</sup>
vegetace + substrát	100	17	1,700
hydroizlační souvrství	-	-	0,150
Izolační souvrství	340	1,5	0,510
Nosná konstrukce střechy	-	-	7,200
Omítka s izolací	-	-	0,270
<b>celkem</b>			<b>9,830</b>

Typická podlaha	S3 + S4 + S5 + S6		
Název vrstvy	tl. (mm)	kN/m <sup>3</sup>	kN/m <sup>2</sup>
Vícevrstvé PVC + lepidlo	-	-	0,100
Anhydritový potěr + rozvody vytápění	56	21	1,176
Izolační souvrství	-	-	0,100
Kročejový polystyren	-	-	0,100
Nosná konstrukce dřevěná	200	25	5,000
Tepelněizolační souvrství	240	0,35	0,084
Malta + Nátěr	-	-	0,100
<b>celkem</b>			<b>6,660</b>

Typická obvodová stěna	S1 + S2		
Název vrstvy	tl. (mm)	kN/m <sup>3</sup>	kN/m <sup>2</sup>
Vnější omítka	25	12	0,300
Cihelné tvárnice vyplněné polystyrenem	380	6,6	2,508
Vnitřní omítka	19	19	0,361
<b>celkem</b>	plošné zatížení		<b>3,169</b>
	výška stěny (m)		<b>3,000</b>
	liniové zat. (kN/m)		<b>9,507</b>

Vnitřní nosná stěna tl. 250 cm			
Název vrstvy	tl. (mm)	kN/m <sup>3</sup>	kN/m <sup>2</sup>
Vnější omítka	15	19	0,285
Keramické tvárnice	250	10	2,500
Vnitřní omítka	15	19	0,285
<b>celkem</b>	plošné zatížení		<b>3,070</b>
	výška stěny (m)		<b>3,000</b>
	liniové zat. (kN/m)		<b>9,210</b>

Vnitřní příčka tl. 150 cm			
Název vrstvy	tl. (mm)	kN/m <sup>3</sup>	kN/m <sup>2</sup>
Vnější omítka	15	19	0,285
Keramické tvárnice	150	11,3	1,695
Vnitřní omítka	15	19	0,285
celkem	plošné zatížení		2,265
	výška stěny (m)		3,000
	liniové zat. (kN/m)		6,795

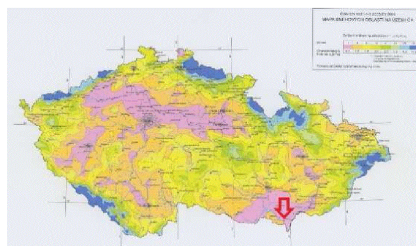
Užitné zatížení	q <sub>k</sub> (kN/m <sup>2</sup> )	γ	g <sub>d</sub> (kN/m <sup>2</sup> )
kat. A (plochy pro domácí a obytné činnosti)	1,50	.	1,5
(schodiště a společné prostory)	3,00	.	1,5
solární panely (kat. E)	0,15	.	1,5
(uvažováno po celé ploše střechy)			0,23
užitné na střeše (kat. H)	0,75	.	1,5
(kat. H se nekombinuje se sněhem)			1,13

#### Mimořádné zatížení

Požár - požadovaná požární odolnost 30 min. (u krovů a stropů bude zajištěna SDK pohledem)  
- u ocelových sloupů bude zajištěna protipožárním nátěrem

Zemětřesení - ve zvoleném regionu se nenachází žádná seizmická oblast (a<sub>gr</sub> = 0,00 g)

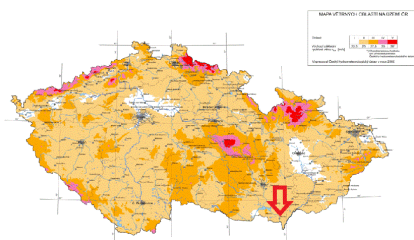
Sníh - s <sub>0</sub> = 1,00 kN/m <sup>2</sup> , oblast II		q <sub>k</sub> (kN/m <sup>2</sup> )	γ	g <sub>d</sub> (kN/m <sup>2</sup> )
sníh s <sub>k</sub> =		0,75	.	1,5
sněhová oblast	II			
normové zatížení sněhem	s <sub>0</sub> =	1,00	kN/m <sup>2</sup>	
sklon střechy	a <sub>1</sub> =	32	°	
	a <sub>2</sub> =	3	°	
tvárový součinitel	η <sub>s1</sub> =	0,74667	-	
	η <sub>s2</sub> =	0,8	-	
souč. expozice	C <sub>e</sub> =	1,00	-	
tepelný souč.	C <sub>t</sub> =	1,00	-	
zatížení sněhem	s <sub>n1</sub> = C <sub>e</sub> · C <sub>t</sub> · s <sub>0</sub>			
	s <sub>n2</sub> = C <sub>e</sub> · C <sub>t</sub> · s <sub>0</sub>			



Větr - v <sub>b0</sub> = 25 m/s, oblast II		q <sub>k</sub> (kN/m <sup>2</sup> )	γ	g <sub>d</sub> (kN/m <sup>2</sup> )
vítr q <sub>p</sub> =		0,46	.	1,5
				0,69

tlak větru působící na jednotlivé konstrukce: w<sub>e</sub> = q<sub>p</sub>(z) · C<sub>s</sub> · C<sub>d</sub> · C<sub>p,net</sub> [kN/m<sup>2</sup>]

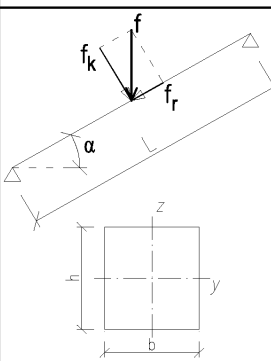
výchozí základ. rychlost větru	v <sub>b0</sub> =	25	m/s
výška, ke které určujeme tlak větru	z =	7	m
souč. směru větru	C <sub>dir</sub> =	1	
souč. ročního období	C <sub>season</sub> =	1	
souč. orografie	C <sub>0(z)</sub> =	1	
souč. drsnosti terénu	C <sub>r(z)</sub> =	0,540	
kategorie terénu		IV	
z <sub>0</sub> =		1	m
z <sub>min</sub> =		10	m
K <sub>r</sub> =		0,23	
střední rychlost větru	v <sub>m(z)</sub> =	13,49	m/s
intenzita turbulence	I <sub>v(z)</sub> =	0,43	
maximální dynamický tlak	q <sub>p(z)</sub> =	0,46	kN/m <sup>2</sup>



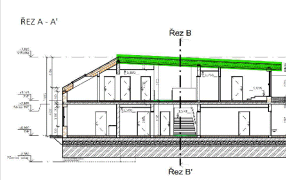
## 5. Dětská skupina

### 5.1. Střecha


#### 5.1.1. Krokev 1

Krokev střechy RD se sklonem 3°		Dětská skupina Písníky Břeclav																																																																																																				
 <p> <math>\alpha = 3^\circ</math>  <math>0,0524 \text{ rad}</math>  <math>Z\check{S} = 0,9 \text{ m}</math>  <math>L = 7 \text{ m}</math>    <math>b = 0,2 \text{ m}</math>  <math>h = 0,24 \text{ m}</math>    <math>E = 12000 \text{ MPa}</math>  <math>I_y = 0,0002 \text{ m}^4</math> </p>	<p><b>Zatížení:</b></p> <table border="1" style="width: 100%; border-collapse: collapse;"> <thead> <tr> <th></th> <th><math>g_k</math> kN/m<sup>2</sup></th> <th><math>g_k</math> kN/m</th> <th><math>\gamma</math></th> <th><math>\xi * \psi</math></th> <th><math>g_d</math> kN/m</th> </tr> </thead> <tbody> <tr> <td rowspan="2">svislé:</td> <td>vlastní váha prvku (g)</td> <td>0,35</td> <td><b>0,31</b></td> <td>1,35</td> <td>0,85</td> <td><b>0,36</b></td> </tr> <tr> <td>skladba střechy (g)</td> <td>0,83</td> <td><b>0,75</b></td> <td>1,35</td> <td>0,85</td> <td><b>0,86</b></td> </tr> <tr> <td colspan="6" style="text-align: center;">(neuvažováno se solárními panely)</td> </tr> <tr> <td>plošné:</td> <td>snih (s)</td> <td>0,75</td> <td><b>0,68</b></td> <td>1,5</td> <td>1</td> <td><b>1,01</b></td> </tr> <tr> <td>kolmo:</td> <td>vitr (w)</td> <td>0,46</td> <td><b>0,41</b></td> <td>1,5</td> <td>0,6</td> <td><b>0,37</b></td> </tr> </tbody> </table> <p><b>Charakteristické zatížení na prvek:</b></p> <table border="1" style="width: 100%; border-collapse: collapse;"> <thead> <tr> <th></th> <th>stálé</th> <th>krátkodobé</th> <th>okamžité</th> <th></th> </tr> </thead> <tbody> <tr> <td>svislé</td> <td><math>f = g + s * \cos \alpha</math></td> <td>1,058</td> <td>1,732</td> <td>1,732 kN/m</td> </tr> <tr> <td>kolmo</td> <td><math>f_k = w + f * \cos \alpha</math></td> <td><b>1,056</b></td> <td><b>1,729</b></td> <td><b>2,143</b> kN/m</td> </tr> <tr> <td>rovnoběžně</td> <td><math>f_r = f * \sin \alpha</math></td> <td>0,055</td> <td>0,091</td> <td>0,091 kN/m</td> </tr> </tbody> </table> <p><b>Výpočtové zatížení na prvek:</b></p> <table border="1" style="width: 100%; border-collapse: collapse;"> <thead> <tr> <th></th> <th>stálé</th> <th>krátkodobé</th> <th>okamžité</th> <th></th> </tr> </thead> <tbody> <tr> <td>svislé</td> <td><math>f = g + s * \cos \alpha</math></td> <td>1,213</td> <td>2,225</td> <td>2,225 kN/m</td> </tr> <tr> <td>kolmo</td> <td><math>f_k = w + f * \cos \alpha</math></td> <td><b>1,212</b></td> <td><b>2,222</b></td> <td><b>2,594</b> kN/m</td> </tr> <tr> <td>rovnoběžně</td> <td><math>f_r = f * \sin \alpha</math></td> <td>0,064</td> <td>0,116</td> <td>0,116 kN/m</td> </tr> </tbody> </table> <p><b>Vnitřní síly:</b></p> <table border="1" style="width: 100%; border-collapse: collapse;"> <thead> <tr> <th></th> <th>stálé</th> <th>krátkodobé</th> <th>okamžité</th> <th></th> </tr> </thead> <tbody> <tr> <td>moment</td> <td><math>M_d = 1/8 * f_k * L^2</math></td> <td>7,42</td> <td><b>13,61</b></td> <td>15,89 kN.m</td> </tr> <tr> <td>posouv. síla</td> <td><math>V_d = 1/2 * f_k * L</math></td> <td>4,24</td> <td><b>7,78</b></td> <td>9,08 kN</td> </tr> <tr> <td>normál. síla</td> <td><math>N_d = 1/2 * f_r * L</math></td> <td>0,22</td> <td><b>0,41</b></td> <td>0,41 kN</td> </tr> </tbody> </table> <p><b>PRŮHYB - MS POUŽITELNOSTI</b></p> <div style="display: flex; justify-content: space-between;"> <div style="width: 45%;"> <p> <math>f_{stálé} = 1,056 \text{ kN/m}</math>  <math>f_{snih} = 0,673 \text{ kN/m}</math>  <math>f_{vitr} = 0,414 \text{ kN/m}</math> </p> <p> <math>w = 5/384 * f_k * L^4 / (E * I)</math> </p> <p> <math>w_{stálé} = 11,94 \text{ mm}</math>  <math>w_{snih} = 7,61 \text{ mm}</math>  <math>w_{vitr} = 4,68 \text{ mm}</math> </p> </div> <div style="width: 45%;"> <p> <math>k_{def} = 0,6</math> -  <math>\psi_2 = 0</math> - </p> <p> <math>w_{fin,G} = 19 \text{ mm}</math>  <math>w_{fin,Q} = 8 \text{ mm}</math>  <math>w_{fin} = 27 \text{ mm}</math> </p> </div> </div> <p> <math>w_{lim} = 1/150 L = 47 \text{ mm} &gt; w_{fin} = 27 \text{ mm}</math> </p> <p style="text-align: center;"><b>Průhyb vyhovuje</b></p>				$g_k$ kN/m <sup>2</sup>	$g_k$ kN/m	$\gamma$	$\xi * \psi$	$g_d$ kN/m	svislé:	vlastní váha prvku (g)	0,35	<b>0,31</b>	1,35	0,85	<b>0,36</b>	skladba střechy (g)	0,83	<b>0,75</b>	1,35	0,85	<b>0,86</b>	(neuvažováno se solárními panely)						plošné:	snih (s)	0,75	<b>0,68</b>	1,5	1	<b>1,01</b>	kolmo:	vitr (w)	0,46	<b>0,41</b>	1,5	0,6	<b>0,37</b>		stálé	krátkodobé	okamžité		svislé	$f = g + s * \cos \alpha$	1,058	1,732	1,732 kN/m	kolmo	$f_k = w + f * \cos \alpha$	<b>1,056</b>	<b>1,729</b>	<b>2,143</b> kN/m	rovnoběžně	$f_r = f * \sin \alpha$	0,055	0,091	0,091 kN/m		stálé	krátkodobé	okamžité		svislé	$f = g + s * \cos \alpha$	1,213	2,225	2,225 kN/m	kolmo	$f_k = w + f * \cos \alpha$	<b>1,212</b>	<b>2,222</b>	<b>2,594</b> kN/m	rovnoběžně	$f_r = f * \sin \alpha$	0,064	0,116	0,116 kN/m		stálé	krátkodobé	okamžité		moment	$M_d = 1/8 * f_k * L^2$	7,42	<b>13,61</b>	15,89 kN.m	posouv. síla	$V_d = 1/2 * f_k * L$	4,24	<b>7,78</b>	9,08 kN	normál. síla	$N_d = 1/2 * f_r * L$	0,22	<b>0,41</b>	0,41 kN
	$g_k$ kN/m <sup>2</sup>	$g_k$ kN/m	$\gamma$	$\xi * \psi$	$g_d$ kN/m																																																																																																	
svislé:	vlastní váha prvku (g)	0,35	<b>0,31</b>	1,35	0,85	<b>0,36</b>																																																																																																
	skladba střechy (g)	0,83	<b>0,75</b>	1,35	0,85	<b>0,86</b>																																																																																																
(neuvažováno se solárními panely)																																																																																																						
plošné:	snih (s)	0,75	<b>0,68</b>	1,5	1	<b>1,01</b>																																																																																																
kolmo:	vitr (w)	0,46	<b>0,41</b>	1,5	0,6	<b>0,37</b>																																																																																																
	stálé	krátkodobé	okamžité																																																																																																			
svislé	$f = g + s * \cos \alpha$	1,058	1,732	1,732 kN/m																																																																																																		
kolmo	$f_k = w + f * \cos \alpha$	<b>1,056</b>	<b>1,729</b>	<b>2,143</b> kN/m																																																																																																		
rovnoběžně	$f_r = f * \sin \alpha$	0,055	0,091	0,091 kN/m																																																																																																		
	stálé	krátkodobé	okamžité																																																																																																			
svislé	$f = g + s * \cos \alpha$	1,213	2,225	2,225 kN/m																																																																																																		
kolmo	$f_k = w + f * \cos \alpha$	<b>1,212</b>	<b>2,222</b>	<b>2,594</b> kN/m																																																																																																		
rovnoběžně	$f_r = f * \sin \alpha$	0,064	0,116	0,116 kN/m																																																																																																		
	stálé	krátkodobé	okamžité																																																																																																			
moment	$M_d = 1/8 * f_k * L^2$	7,42	<b>13,61</b>	15,89 kN.m																																																																																																		
posouv. síla	$V_d = 1/2 * f_k * L$	4,24	<b>7,78</b>	9,08 kN																																																																																																		
normál. síla	$N_d = 1/2 * f_r * L$	0,22	<b>0,41</b>	0,41 kN																																																																																																		


REZ A - A'

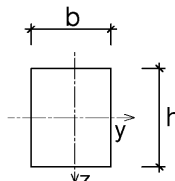


REZ B

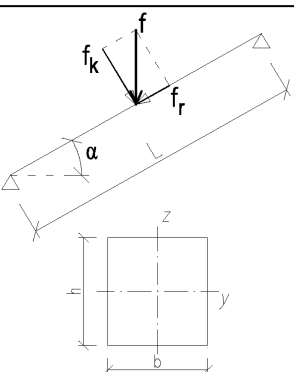


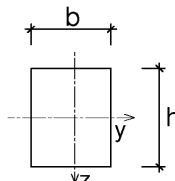
REZ B'



Krokvě střešy RD se sklonem 3°				Dětská skupina Písníky Břeclav	
<b>Základní parametry návrhu</b> <b>vnitřní síly:</b> normálová síla (tlak kladně) $N_{ed} = 0,41$ kN ohybový moment $M_{y,ed} = 13,61$ kNm posouvající síla $V_{z,ed} = 7,78$ kN <b>geometrie nosníku a průřezové charakteristiky:</b> délka mezi podporami kolmo k y-y $L_y = 7000$ mm délka mezi podporami kolmo k z-z $L_z = 7000$ mm šířka $B = 200$ mm výška $H = 240$ mm <b>materiálové charakteristiky:</b> materiál <b>C24</b> třída prostředí <b>1.</b> délka trvání zatížení <b>krátkodobě</b>					
$I_y = 2,30E+08$ mm <sup>4</sup> $I_z = 1,60E+08$ mm <sup>4</sup> $W_y = 1,92E+06$ mm <sup>3</sup> $W_z = 1,60E+06$ mm <sup>3</sup> $i_y = 69,3$ mm $i_z = 57,7$ mm				příloha F 7.1.1 7.1.2	
$k_{mod} = 0,9$ - $f_{m,k} = 24,00$ MPa $f_{c,0,k} = 21,00$ MPa $f_{t,0,k} = 14,00$ MPa $f_{v,k} = 2,70$ MPa $E_{0,05} = 7333,3$ MPa				$\gamma_M = 1,3$ - $f_{m,d} = 16,62$ MPa $f_{c,0,d} = 14,54$ MPa $f_{t,0,d} = 9,69$ MPa $f_{v,d} = 1,87$ MPa $G_{0,05} = 460,0$ MPa	
<b>Posouzení na smyk</b> $\tau_{zv,d} = 0,36$ MPa $\tau_{yv,d} = 0,00$ MPa <b>průřez vyhovuje</b>				$\tau_{v,d} < f_{v,d}$	
<b>Posouzení na ohyb</b> Pozn.: Součinitel klopení je nutno stanovit pro tužší rovinu nosníku (tj. směr přenášející vyšší moment) součinitel klopení $k_{cr} = 1$ pro $\lambda_{rel,m} \leq 0,75$ $k_{cr} = 1,56 - 0,75 \cdot \lambda_{rel,m}$ pro $0,75 < \lambda_{rel,m} \leq 1,4$ $k_{cr} = 1 / \lambda_{rel,m}^2$ pro $\lambda_{rel,m} > 1,4$ poměr účinné a skutečné délky $a = 1,0$ - účinná délka na klopení $l_{ef} = 7000$ mm poměrný štíhlostní souč. v klopení $\lambda_{rel,m} = 0,417966$ - souč. vyjadřující vliv tvaru průřezu $k_{red} = 0,7$ napětí v krajních vláknech od $M_y$ $\sigma_{m,y,d} = 7,09$ MPa napětí v krajních vláknech od $M_z$ $\sigma_{m,z,d} = 0,00$ MPa				$k_m = 1$ <b>nepoužije se</b> <b>nepoužije se</b> dle tab. 6.1 (EC5) $l_{ef} = a \cdot L_z$ $\lambda_{rel,m} = \sqrt{\frac{l_{ef} \cdot h}{\pi \cdot b^2}} \cdot \sqrt{\frac{f_{m,k}}{E_{0,05} \cdot G_{0,05}}}$ 10.3.2 (70)	
<b>Posouzení na normálovou sílu</b> výpočet kolmo na směr y součinitel vzpěrnosti - směr y $k_{c,y} = 0,2971$ - $k_y = 2,123$ - $\beta_{c,y} = 0,2$ - poměrný štíhlostní poměr $\lambda_{rel,c,y} = 1,721$ - štíhlostní poměr $\lambda_y = 101,04$ - součinitel vzpěrné délky $\beta = 1,0$ - vzpěrná délka $L_{ef,y} = 7000$ m výpočet kolmo na směr z součinitel vzpěrnosti - směr y $k_{c,z} = 0,2122$ - $k_z = 2,809$ - poměrný štíhlostní poměr $\lambda_{rel,c,z} = 2,065$ - štíhlostní poměr $\lambda_z = 121,24$ - součinitel vzpěrné délky $\beta = 1,0$ - vzpěrná délka $L_{ef,z} = 7000$ m napětí od N (bez vlivu vzpěru) $\sigma_{c,0,d} = 0,01$ MPa				$k_c = \min [1; 1 / (k + (k^2 - \lambda_{rel,c}^2)^{0,5})]$ 10.3.1 (64) $k = 0,5 [1 + \beta_c (\lambda_{rel,c} - 0,3) + \lambda_{rel,c}^2]$ 10.3.1 (65) rostlé dřevo, průřezy ze 2 nebo 3 lamel $\lambda_{rel,c} = \lambda / \pi \cdot (f_{c,0,k} / E_{0,05})^{0,5}$ 10.3.1 (66) $\lambda = l_{ef} / i$ $k_c = \min [1; 1 / (k + (k^2 - \lambda_{rel,c}^2)^{0,5})]$ 10.3.1 (64) $k = 0,5 [1 + \beta_c (\lambda_{rel,c} - 0,3) + \lambda_{rel,c}^2]$ 10.3.1 (65) $\lambda_{rel,c} = \lambda / \pi \cdot (f_{c,0,k} / E_{0,05})^{0,5}$ 10.3.1 (66) $\lambda = l_{ef} / i$	
<b>Posouzení na kombinaci M + N (dvouosý ohyb + tlak; jednoosý ohyb + tlak)</b>				$\frac{\sigma_{c,0,d}}{k_{c,y} \cdot f_{c,0,d}} + \frac{\sigma_{m,y,d}}{k_m \cdot f_{m,y,d}} + k_{red} \frac{\sigma_{m,z,d}}{f_{m,z,d}} = 0,4285 < 1,0$ - průřez vyhovuje 10.3.3 (71) $\frac{\sigma_{c,0,d}}{k_{c,z} \cdot f_{c,0,d}} + k_{red} \frac{\sigma_{m,y,d}}{k_m \cdot f_{m,y,d}} + \frac{\sigma_{m,z,d}}{f_{m,z,d}} = 0,3013 < 1,0$ - průřez vyhovuje 10.3.3 (72) $\frac{\sigma_{c,0,d}}{k_{c,z} \cdot f_{c,0,d}} + \frac{\sigma_{m,y,d}}{k_m \cdot f_{m,y,d}} = 0,4293 < 1,0$ - průřez vyhovuje	

## 5.1.2. Krok 2

Krok střeby RD se sklonem 32°		Dětská skupina Písníky Břeclav																																																																																																							
 <p> <math>\alpha = 32^\circ</math>  <math>0,5585 \text{ rad}</math>  <math>Z\check{S} = 0,9 \text{ m}</math>  <math>L = 5,1 \text{ m}</math>  <math>b = 0,14 \text{ m}</math>  <math>h = 0,18 \text{ m}</math>  <math>E = 12000 \text{ MPa}</math>  <math>I_y = 7E-05 \text{ m}^4</math> </p>	<p><b>Zatížení:</b></p> <table border="1" style="width: 100%; border-collapse: collapse;"> <thead> <tr> <th></th> <th><math>g_k</math> kN/m<sup>2</sup></th> <th><math>g_k</math> kN/m</th> <th><math>\gamma</math></th> <th><math>\xi \cdot \psi</math></th> <th><math>g_d</math> kN/m</th> </tr> </thead> <tbody> <tr> <td>svislé: vlastní váha prvku (g)</td> <td>0,18</td> <td><b>0,16</b></td> <td>1,35</td> <td>0,85</td> <td><b>0,19</b></td> </tr> <tr> <td>skladba střeby (g)</td> <td>1,14</td> <td><b>1,03</b></td> <td>1,35</td> <td>0,85</td> <td><b>1,18</b></td> </tr> <tr> <td colspan="6" style="text-align: center;">(neuvažováno se solárními panely)</td> </tr> <tr> <td>plošné: sníh (s)</td> <td>0,75</td> <td><b>0,68</b></td> <td>1,5</td> <td>1</td> <td><b>1,01</b></td> </tr> <tr> <td>kolmo: vítr (w)</td> <td>0,46</td> <td><b>0,41</b></td> <td>1,5</td> <td>0,6</td> <td><b>0,37</b></td> </tr> </tbody> </table> <p><b>Charakteristické zatížení na prvek:</b></p> <table border="1" style="width: 100%; border-collapse: collapse;"> <thead> <tr> <th></th> <th>stálé</th> <th>krátkodobé</th> <th>okamžité</th> <th></th> </tr> </thead> <tbody> <tr> <td>svislé <math>f = g + s \cdot \cos \alpha</math></td> <td>1,193</td> <td>1,765</td> <td>1,765</td> <td>kN/m</td> </tr> <tr> <td>kolmo <math>f_k = w + f \cdot \cos \alpha</math></td> <td><b>1,011</b></td> <td><b>1,497</b></td> <td><b>1,911</b></td> <td>kN/m</td> </tr> <tr> <td>rovnoběžně <math>f_r = f \cdot \sin \alpha</math></td> <td>0,632</td> <td>0,935</td> <td>0,935</td> <td>kN/m</td> </tr> </tbody> </table> <p><b>Výpočtové zatížení na prvek:</b></p> <table border="1" style="width: 100%; border-collapse: collapse;"> <thead> <tr> <th></th> <th>stálé</th> <th>krátkodobé</th> <th>okamžité</th> <th></th> </tr> </thead> <tbody> <tr> <td>svislé <math>f = g + s \cdot \cos \alpha</math></td> <td>1,368</td> <td>2,227</td> <td>2,227</td> <td>kN/m</td> </tr> <tr> <td>kolmo <math>f_k = w + f \cdot \cos \alpha</math></td> <td><b>1,160</b></td> <td><b>1,889</b></td> <td><b>2,261</b></td> <td>kN/m</td> </tr> <tr> <td>rovnoběžně <math>f_r = f \cdot \sin \alpha</math></td> <td>0,725</td> <td>1,180</td> <td>1,180</td> <td>kN/m</td> </tr> </tbody> </table> <p><b>Vnitřní síly:</b></p> <table border="1" style="width: 100%; border-collapse: collapse;"> <thead> <tr> <th></th> <th>stálé</th> <th>krátkodobé</th> <th>okamžité</th> <th></th> </tr> </thead> <tbody> <tr> <td>moment <math>M_d = 1/8 \cdot f_k \cdot L^2</math></td> <td>3,77</td> <td><b>6,14</b></td> <td>7,35</td> <td>kN.m</td> </tr> <tr> <td>posouv. síla <math>V_d = 1/2 \cdot f_k \cdot L</math></td> <td>2,96</td> <td><b>4,82</b></td> <td>5,77</td> <td>kN</td> </tr> <tr> <td>normál. síla <math>N_d = 1/2 \cdot f_r \cdot L</math></td> <td>1,85</td> <td><b>3,01</b></td> <td>3,01</td> <td>kN</td> </tr> </tbody> </table> <p><b>PRŮHYB - MS POUŽITELNOSTI</b></p> <div style="display: flex; justify-content: space-between;"> <div> <math>f_{stálé} = 1,011 \text{ kN/m}</math>  <math>f_{snih} = 0,485 \text{ kN/m}</math>  <math>f_{vitr} = 0,414 \text{ kN/m}</math> </div> <div> <math>k_{def} = 0,6</math>  <math>\psi_2 = 0</math> </div> </div> <p> <math>w = 5/384 \cdot f_k \cdot L^4 / (E \cdot I)</math> </p> <table style="width: 100%;"> <tr> <td><math>w_{stálé} = 10,91 \text{ mm}</math></td> <td><math>w_{fin,G} = 17 \text{ mm}</math></td> </tr> <tr> <td><math>w_{snih} = 5,24 \text{ mm}</math></td> <td><math>w_{fin,Q} = 5 \text{ mm}</math></td> </tr> <tr> <td><math>w_{vitr} = 4,47 \text{ mm}</math></td> <td><math>w_{fin} = 23 \text{ mm}</math></td> </tr> </table> <p> <math>w_{lim} = 1/150 L = 34 \text{ mm} &gt; w_{fin} = 23 \text{ mm}</math> </p> <p style="text-align: center;"><b>Průhyb vyhovuje</b></p>				$g_k$ kN/m <sup>2</sup>	$g_k$ kN/m	$\gamma$	$\xi \cdot \psi$	$g_d$ kN/m	svislé: vlastní váha prvku (g)	0,18	<b>0,16</b>	1,35	0,85	<b>0,19</b>	skladba střeby (g)	1,14	<b>1,03</b>	1,35	0,85	<b>1,18</b>	(neuvažováno se solárními panely)						plošné: sníh (s)	0,75	<b>0,68</b>	1,5	1	<b>1,01</b>	kolmo: vítr (w)	0,46	<b>0,41</b>	1,5	0,6	<b>0,37</b>		stálé	krátkodobé	okamžité		svislé $f = g + s \cdot \cos \alpha$	1,193	1,765	1,765	kN/m	kolmo $f_k = w + f \cdot \cos \alpha$	<b>1,011</b>	<b>1,497</b>	<b>1,911</b>	kN/m	rovnoběžně $f_r = f \cdot \sin \alpha$	0,632	0,935	0,935	kN/m		stálé	krátkodobé	okamžité		svislé $f = g + s \cdot \cos \alpha$	1,368	2,227	2,227	kN/m	kolmo $f_k = w + f \cdot \cos \alpha$	<b>1,160</b>	<b>1,889</b>	<b>2,261</b>	kN/m	rovnoběžně $f_r = f \cdot \sin \alpha$	0,725	1,180	1,180	kN/m		stálé	krátkodobé	okamžité		moment $M_d = 1/8 \cdot f_k \cdot L^2$	3,77	<b>6,14</b>	7,35	kN.m	posouv. síla $V_d = 1/2 \cdot f_k \cdot L$	2,96	<b>4,82</b>	5,77	kN	normál. síla $N_d = 1/2 \cdot f_r \cdot L$	1,85	<b>3,01</b>	3,01	kN	$w_{stálé} = 10,91 \text{ mm}$	$w_{fin,G} = 17 \text{ mm}$	$w_{snih} = 5,24 \text{ mm}$	$w_{fin,Q} = 5 \text{ mm}$	$w_{vitr} = 4,47 \text{ mm}$	$w_{fin} = 23 \text{ mm}$
	$g_k$ kN/m <sup>2</sup>	$g_k$ kN/m	$\gamma$	$\xi \cdot \psi$	$g_d$ kN/m																																																																																																				
svislé: vlastní váha prvku (g)	0,18	<b>0,16</b>	1,35	0,85	<b>0,19</b>																																																																																																				
skladba střeby (g)	1,14	<b>1,03</b>	1,35	0,85	<b>1,18</b>																																																																																																				
(neuvažováno se solárními panely)																																																																																																									
plošné: sníh (s)	0,75	<b>0,68</b>	1,5	1	<b>1,01</b>																																																																																																				
kolmo: vítr (w)	0,46	<b>0,41</b>	1,5	0,6	<b>0,37</b>																																																																																																				
	stálé	krátkodobé	okamžité																																																																																																						
svislé $f = g + s \cdot \cos \alpha$	1,193	1,765	1,765	kN/m																																																																																																					
kolmo $f_k = w + f \cdot \cos \alpha$	<b>1,011</b>	<b>1,497</b>	<b>1,911</b>	kN/m																																																																																																					
rovnoběžně $f_r = f \cdot \sin \alpha$	0,632	0,935	0,935	kN/m																																																																																																					
	stálé	krátkodobé	okamžité																																																																																																						
svislé $f = g + s \cdot \cos \alpha$	1,368	2,227	2,227	kN/m																																																																																																					
kolmo $f_k = w + f \cdot \cos \alpha$	<b>1,160</b>	<b>1,889</b>	<b>2,261</b>	kN/m																																																																																																					
rovnoběžně $f_r = f \cdot \sin \alpha$	0,725	1,180	1,180	kN/m																																																																																																					
	stálé	krátkodobé	okamžité																																																																																																						
moment $M_d = 1/8 \cdot f_k \cdot L^2$	3,77	<b>6,14</b>	7,35	kN.m																																																																																																					
posouv. síla $V_d = 1/2 \cdot f_k \cdot L$	2,96	<b>4,82</b>	5,77	kN																																																																																																					
normál. síla $N_d = 1/2 \cdot f_r \cdot L$	1,85	<b>3,01</b>	3,01	kN																																																																																																					
$w_{stálé} = 10,91 \text{ mm}$	$w_{fin,G} = 17 \text{ mm}$																																																																																																								
$w_{snih} = 5,24 \text{ mm}$	$w_{fin,Q} = 5 \text{ mm}$																																																																																																								
$w_{vitr} = 4,47 \text{ mm}$	$w_{fin} = 23 \text{ mm}$																																																																																																								

Krokev střechy RD se sklonem 32°				Dětská skupina Písníky Břeclav	
<b>Základní parametry návrhu</b> <b>vnitřní síly:</b> normálová síla (tlak kladně) $N_{ed} = 3,01$ kN ohybový moment $M_{y,ed} = 6,14$ kNm posouvající síla $V_{z,ed} = 4,82$ kN <b>geometrie nosníku a průřezové charakteristiky:</b> délka mezi podporami kolmo k y-y $L_y = 5100$ mm délka mezi podporami kolmo k z-z $L_z = 5100$ mm šířka $B = 140$ mm výška $H = 180$ mm <b>materiálové charakteristiky:</b> materiál <b>C24</b> třída prostředí <b>1.</b> délka trvání zatížení <b>krátkodobě</b>					
$I_y = 6,80E+07$ mm <sup>4</sup> $I_z = 4,12E+07$ mm <sup>4</sup> $W_y = 7,56E+05$ mm <sup>3</sup> $W_z = 5,88E+05$ mm <sup>3</sup> $i_y = 52,0$ mm $i_z = 40,4$ mm				příloha F 7.1.1 7.1.2	
$k_{mod} = 0,9$ - $f_{m,k} = 24,00$ MPa $f_{c,0,k} = 21,00$ MPa $f_{t,0,k} = 14,00$ MPa $f_{v,k} = 2,70$ MPa $E_{0,05} = 7333,3$ MPa				$\gamma_M = 1,3$ - $f_{m,d} = 16,62$ MPa $f_{c,0,d} = 14,54$ MPa $f_{t,0,d} = 9,69$ MPa $f_{v,d} = 1,87$ MPa $G_{0,05} = 460,0$ MPa	
<b>Posouzení na smyk</b> $\tau_{zv,d} = 0,43$ MPa $\tau_{yv,d} = 0,00$ MPa <b>průřez vyhovuje</b>				$\tau_{v,d} < f_{v,d}$	
<b>Posouzení na ohyb</b> Pozn.: Součinitel klopení je nutno stanovit pro tužší rovinu nosníku (tj. směr přenášející vyšší moment) součinitel klopení $k_{cr} = 1$ pro $\lambda_{rel,m} \leq 0,75$ $k_{cr} = 1,56 - 0,75 \cdot \lambda_{rel,m}$ pro $0,75 < \lambda_{rel,m} \leq 1,4$ $k_{cr} = 1 / \lambda_{rel,m}^2$ pro $\lambda_{rel,m} > 1,4$ poměr účinné a skutečné délky $a = 1,0$ - účinná délka na klopení $l_{ef} = 5100$ mm poměrný štíhlostní souč. v klopení $\lambda_{rel,m} = 0,441376$ - souč. vyjadřující vliv tvaru průřezu $k_{red} = 0,7$ napětí v krajních vláknech od $M_y$ $\sigma_{m,y,d} = 8,12$ MPa napětí v krajních vláknech od $M_z$ $\sigma_{m,z,d} = 0,00$ MPa				<b>km = 1</b> nepoužije se nepoužije se dle tab. 6.1 (EC5) 10.3.2 (68) 10.3.2 (70)	
<b>Posouzení na normálovou sílu</b> výpočet kolmo na směr y součinitel vzpěrnosti - směr y $k_{c,y} = 0,3130$ - $k_y = 2,035$ - $\beta_{c,y} = 0,2$ - poměrný štíhlostní poměr $\lambda_{rel,c,y} = 1,672$ - štíhlostní poměr $\lambda_y = 98,15$ - součinitel vzpěrné délky $\beta = 1,0$ - vzpěrná délka $L_{ef,y} = 5100$ m výpočet kolmo na směr z součinitel vzpěrnosti - směr y $k_{c,z} = 0,1968$ - $k_z = 2,995$ - poměrný štíhlostní poměr $\lambda_{rel,c,z} = 2,150$ - štíhlostní poměr $\lambda_z = 126,19$ - součinitel vzpěrné délky $\beta = 1,0$ - vzpěrná délka $L_{ef,z} = 5100$ m napětí od N (bez vlivu vzpěru) $\sigma_{c,0,d} = 0,12$ MPa				$k_c = \min [1; 1 / (k + (k^2 - \lambda_{rel,c}^2)^{0,5})]$ 10.3.1 (64) $k = 0,5 [1 + \beta_c (\lambda_{rel,c} - 0,3) + \lambda_{rel,c}^2]$ 10.3.1 (65) rostlé dřevo, průřezy ze 2 nebo 3 lamel $\lambda_{rel,c} = \lambda / \pi \cdot (f_{c,0,k} / E_{0,05})^{0,5}$ 10.3.1 (66) $\lambda = l_{ef} / i$ $k_c = \min [1; 1 / (k + (k^2 - \lambda_{rel,c}^2)^{0,5})]$ 10.3.1 (64) $k = 0,5 [1 + \beta_c (\lambda_{rel,c} - 0,3) + \lambda_{rel,c}^2]$ 10.3.1 (65) $\lambda_{rel,c} = \lambda / \pi \cdot (f_{c,0,k} / E_{0,05})^{0,5}$ 10.3.1 (66) $\lambda = l_{ef} / i$	
<b>Posouzení na kombinaci M + N (dvouosý ohyb + tlak; jednoosý ohyb + tlak)</b>				$\frac{\sigma_{c,0,d}}{k_{c,y} \cdot f_{c,0,d}} + \frac{\sigma_{m,y,d}}{k_m \cdot f_{m,y,d}} + k_{red} \frac{\sigma_{m,z,d}}{f_{m,z,d}} = 0,5151 < 1,0$ - průřez vyhovuje 10.3.3 (71) $\frac{\sigma_{c,0,d}}{k_{c,z} \cdot f_{c,0,d}} + k_{red} \frac{\sigma_{m,y,d}}{k_m \cdot f_{m,y,d}} + \frac{\sigma_{m,z,d}}{f_{m,z,d}} = 0,3839 < 1,0$ - průřez vyhovuje 10.3.3 (72) $\frac{\sigma_{c,0,d}}{k_{c,z} \cdot f_{c,0,d}} + \frac{\sigma_{m,y,d}}{k_m \cdot f_{m,y,d}} = 0,5306 < 1,0$ - průřez vyhovuje	





### Posouzení ocelového průvlaku

#### Geometrie

délka rozpětí  $L = 4,55 \text{ m}$

#### Průřez

HEB 180

$W_{pl} = 4,82E-04 \text{ m}^3$

$f_y = 235 \text{ Mpa}$

$A_v = 9,54E-04 \text{ m}^2$

#### Vnitřní síly

$M_{ed} = 46,00 \text{ KNm}$

$V_{ed} = 40,00 \text{ KN}$

#### Posouzení MSÚ

$$M_{pl,Rd} = (W_{pl} \times f_y) / \gamma_{M0}$$

113,27 KNm

$M_{ed} = 46,00 \text{ KNm}$

$M_{pl,Rd} = 113,27 \text{ KNm}$

**VYHOVUJE**

$$V_{pl,Rd} = (A_v \times f_y) / (\sqrt{3} \times \gamma_{M0})$$

129,41 KN

$V_{ed} = 40,00 \text{ KNm}$

$V_{pl,Rd} = 129,41 \text{ KNm}$

**VYHOVUJE**

#### Posouzení MSP

$w = 0,009 \text{ m}$

$w_{lim} = L / 350 = 0,013 \text{ m}$

**VYHOVUJE**




Průvlak 2					
<b>průřez</b>					
h =	0,25 m	b =	0,3 m		
l =	3 m	A <sub>c</sub> =	0,19 m <sup>2</sup>		
<b>dolní výztuž</b>					
R =	14 mm	A <sub>s</sub> =	0,000616 m <sup>2</sup>		
c =	35 mm	počet	4 ks		
		f <sub>yk</sub> =	500 MPa		
<b>horní výztuž</b>					
R =	14 mm	A <sub>s</sub> =	0,000616 m <sup>2</sup>		
		počet	4 ks		
<b>smyková výztuž</b>					
R =	6 mm	A <sub>sw</sub> =	5,65487E-05 m <sup>2</sup>		
		počet	2 ks		
cotg θ =	1	s	300 mm	f <sub>yk</sub> =	500 MPa
<b>beton</b>					
f <sub>ck</sub> =	25 MPa	f <sub>cd</sub> =	16666666,67 Pa	E <sub>cm</sub> =	3,00E+10 Pa
f <sub>ctm</sub> =	2,6 MPa	α <sub>cc</sub> =	1	ε <sub>cu,3</sub> =	3,5 %
<b>vnitřní síly</b>					
M <sub>ed</sub> =	20 kNm	M <sub>ek</sub> =	16,00 kNm	M <sub>ek,ψ/2</sub> =	15,00 kNm
V <sub>ed</sub> =	21 kN				

Posouzení na mezní stav únosnosti					
d =	0,202 m	x =	0,0000 m	z =	0,2020 m
d <sub>2</sub> =	0,048 m	využití	0,485 %	α =	6,6667
A <sub>s,min</sub> =	0,0001014 m <sup>2</sup>	Platí	ξ <sub>bal,1</sub> =	0,617	Platí
A <sub>s,max</sub> =	0,003 m <sup>2</sup>	Platí	ξ <sub>bal,2</sub> =	2,639	Neplatí
M <sub>rd</sub> =	41,2 kNm	>	M <sub>ed</sub> =	20,0 kNm	
		Platí			
V <sub>rd,c</sub> =	28,0 kN		V <sub>rd,s</sub> =	16,6 kN	
V <sub>rd</sub> =	44,6 kN	>	V <sub>ed</sub> =	21 kN	
		Platí			

Posouzení na mezní stav použitelnosti					
<b>Omezení napětí</b>					
σ <sub>c</sub> =	9,50 MPa	Platí	σ <sub>s</sub> =	143,27 MPa	Platí
<b>Mezní stav trhlin</b>					
- průřez je s trhlínami					
k <sub>2</sub> =	0,5	k <sub>3</sub> =	3,4	k <sub>4</sub> =	0,425
w <sub>k</sub> =	0,101 mm	<	w <sub>max</sub> =	0,3 mm	
		Platí			
<b>Mezní stav přetvoření</b>					
		l/d =	14,9	<	20
		ρ =	1,02 %	(dle ČSN EN 1992-1-1)	
Není třeba počítat konstrukci na mezní stav přetvoření					

;

	Dětská skupina Písníky Břeclav	DÚR+DSP
	Statický výpočet	

## 5.2. Stropní deska nad 1.NP

### Navržené parametry

- beton C25/30
- krytí c = 35 mm (vše)
- třída prostředí: XC3/XF1 (exteriér) + XC1 (ostatní)
- šířka trhlin  $w_k = 0,3$  mm (exteriér) +  $w_k = 0,4$  mm (interiér)

### Deska v interiéru

- tl. desky = 200 mm
- základní výztuž  $\varnothing 12/200$  (vše)
- lokální příložky  $\varnothing 12/200$  (horní povrch)

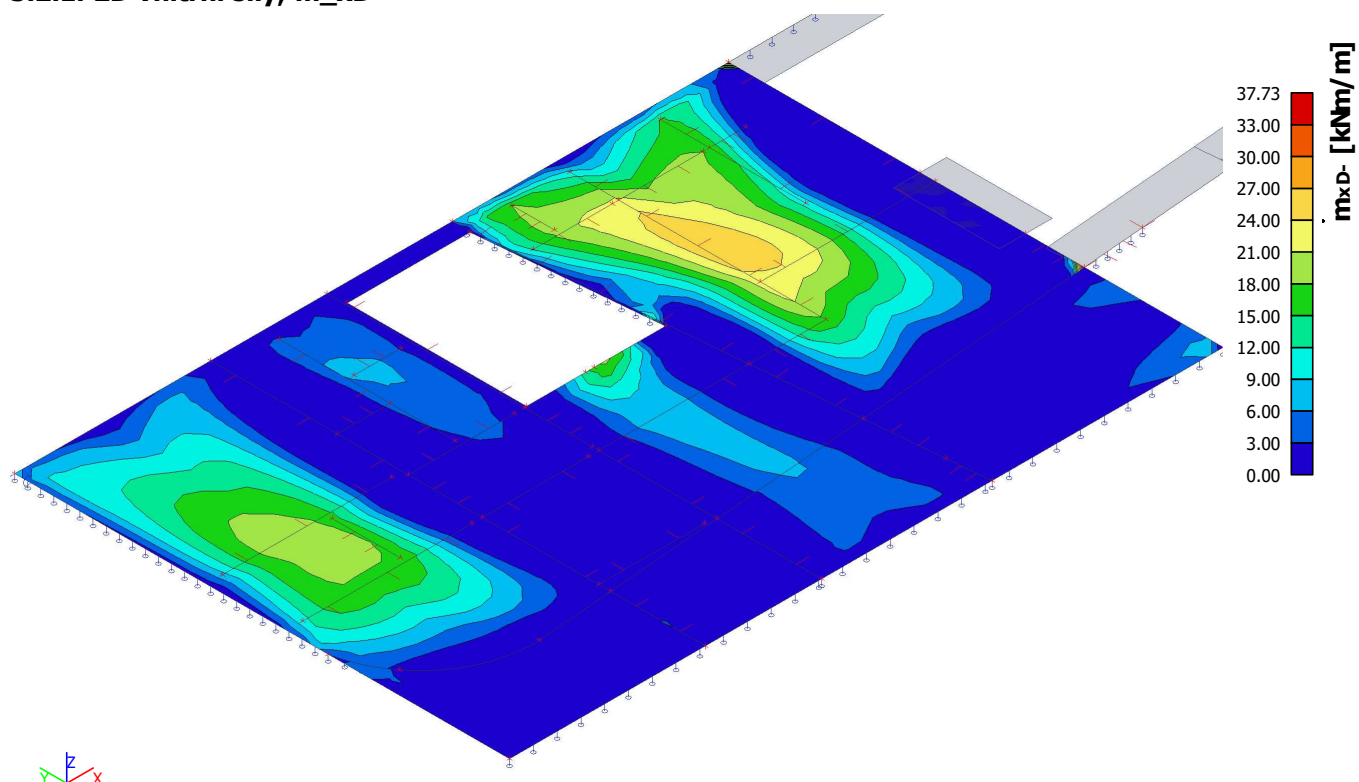
### Deska v exteriéru

- tl. desky = 300 mm
- základní výztuž  $\varnothing 12/100$  (doní povrch hlavní směr) +  $\varnothing 12/200$  (ostatní)
- lokální příložky  $\varnothing 12/200$
- pro velké rozpětí je třeba nadvýšit bednění uprostřed rozpětí o 10 mm z důvodu velkého průhybu

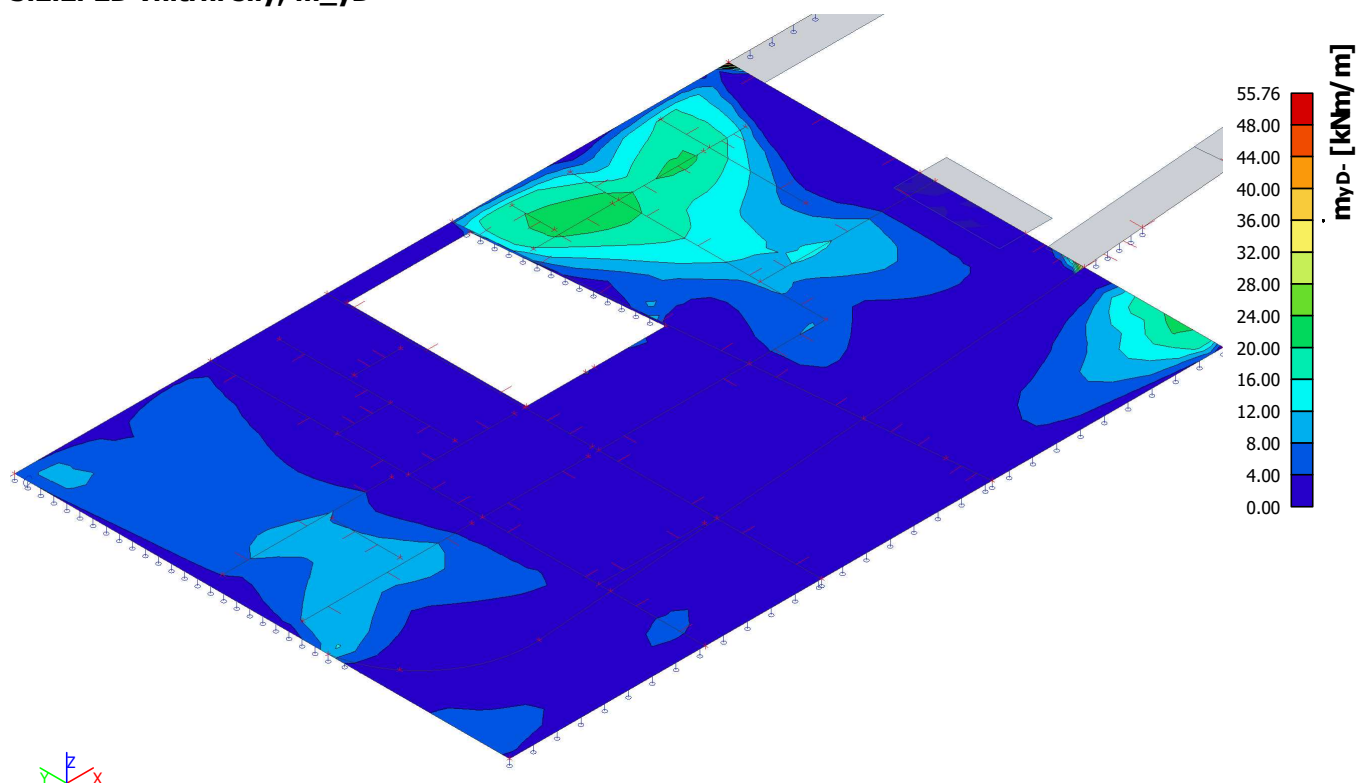
### Atika

- výpočtová šířka atiky = 250 mm
- výpočtová výška atiky = 1550 mm
- podélná výztuž 3 $\varnothing 16$  (doní povrch) + 2 $\varnothing 12$  (horní) + třmínky  $\varnothing 6/300$

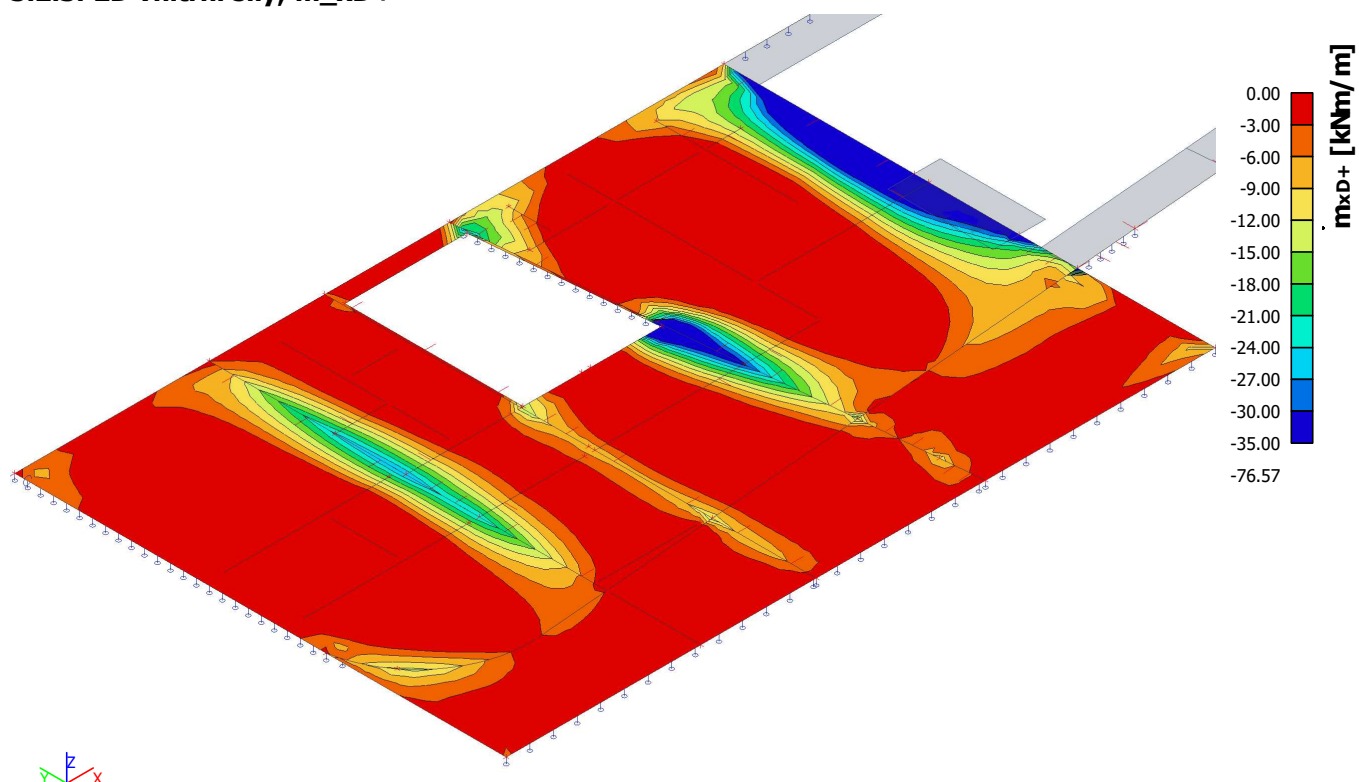
### 5.2.1. 2D vnitřní síly; $m_{xD}$ -



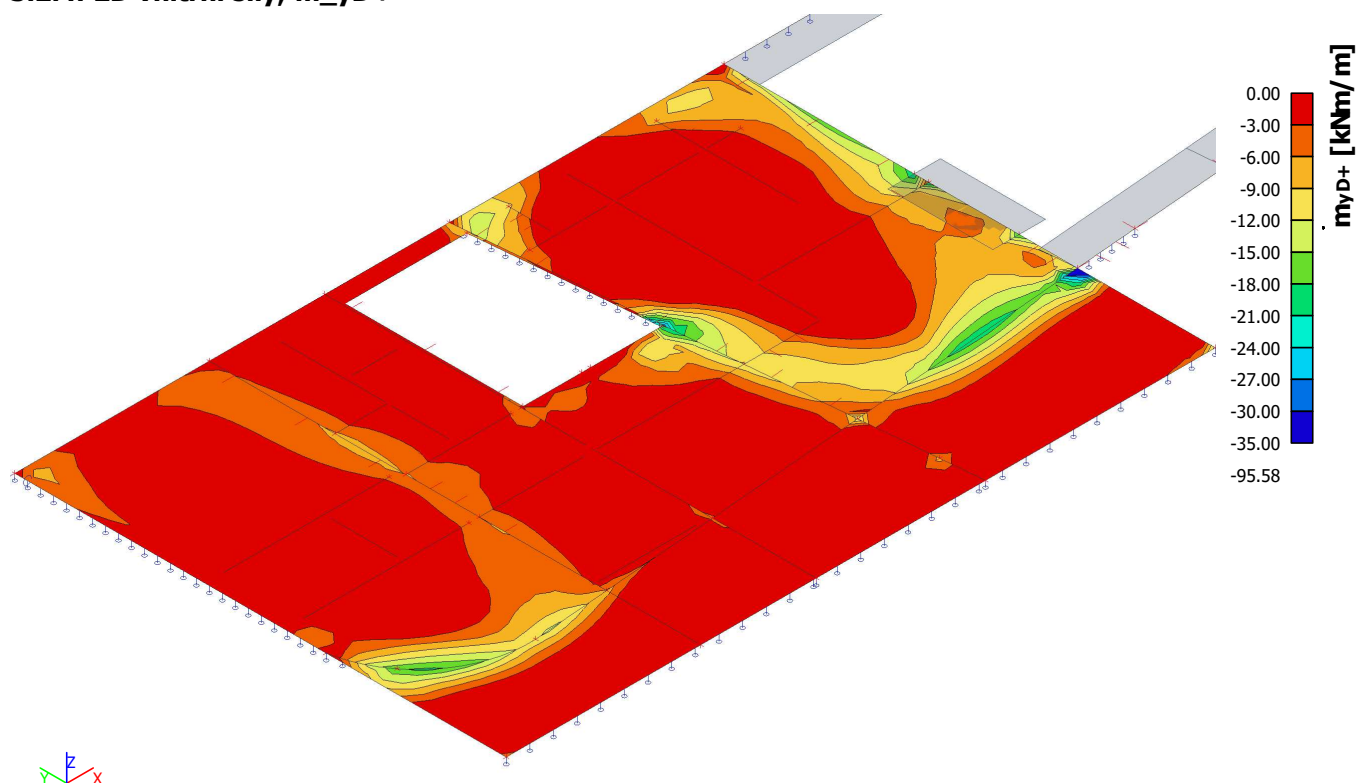
### 5.2.2. 2D vnitřní síly; $m_{yD}$ -



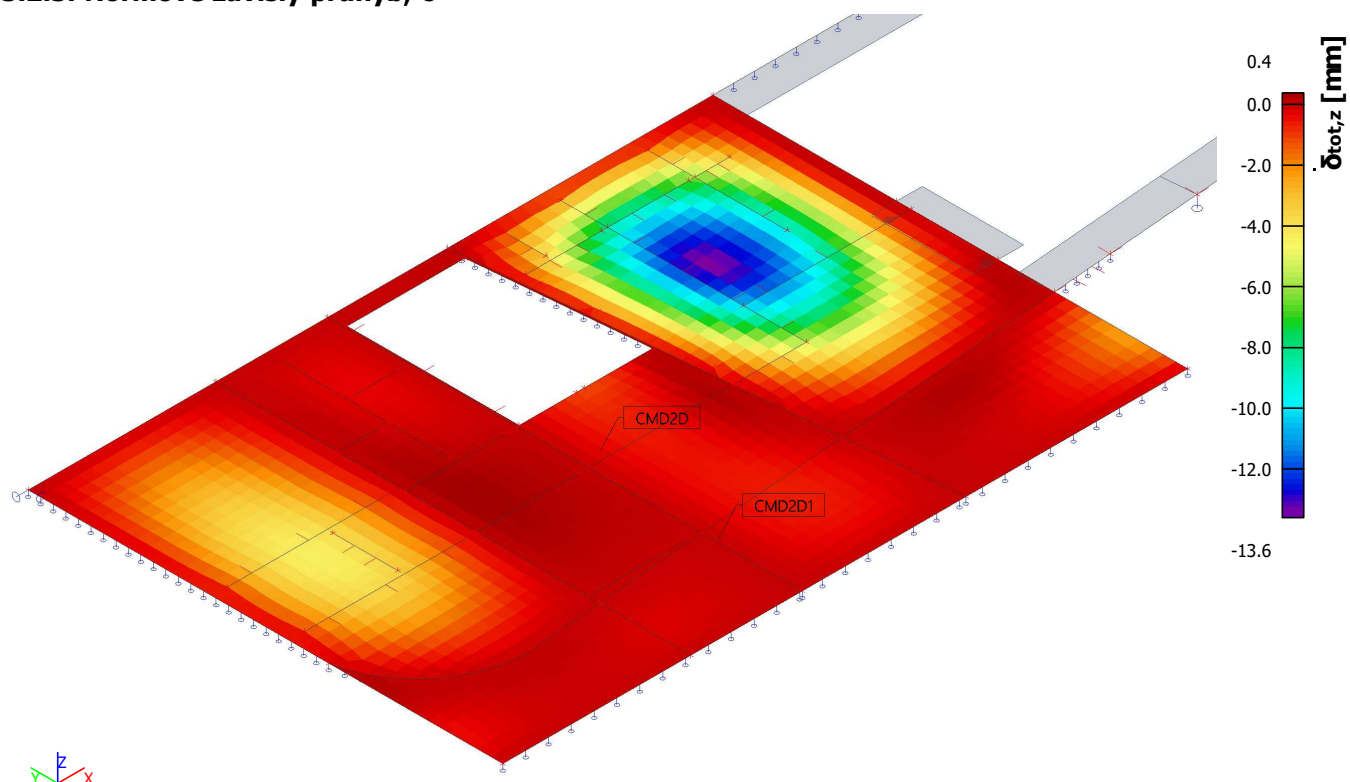
### 5.2.3. 2D vnitřní síly; $m_{xD+}$



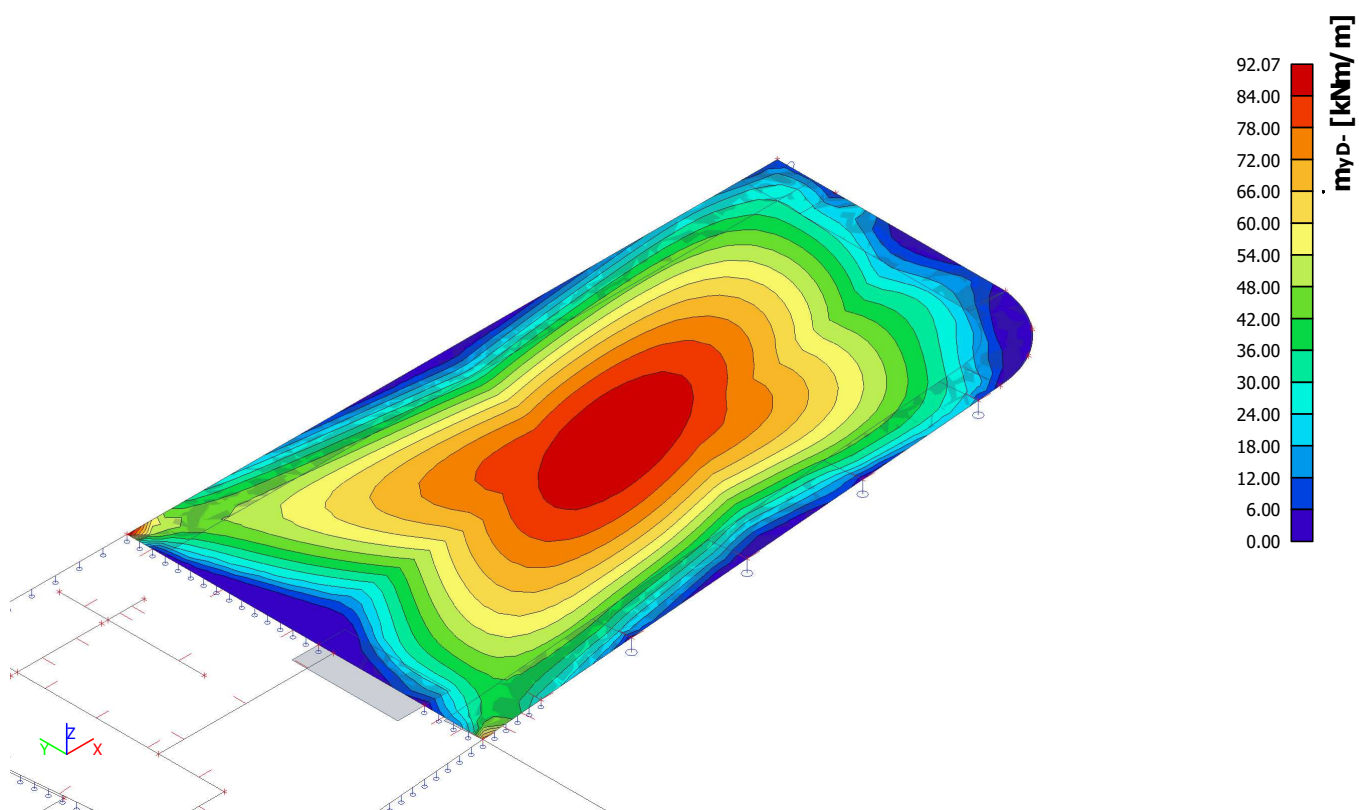
### 5.2.4. 2D vnitřní síly; $m_{yD+}$



### 5.2.5. Normově závislý průhyb; $\delta^{\text{tot}}$

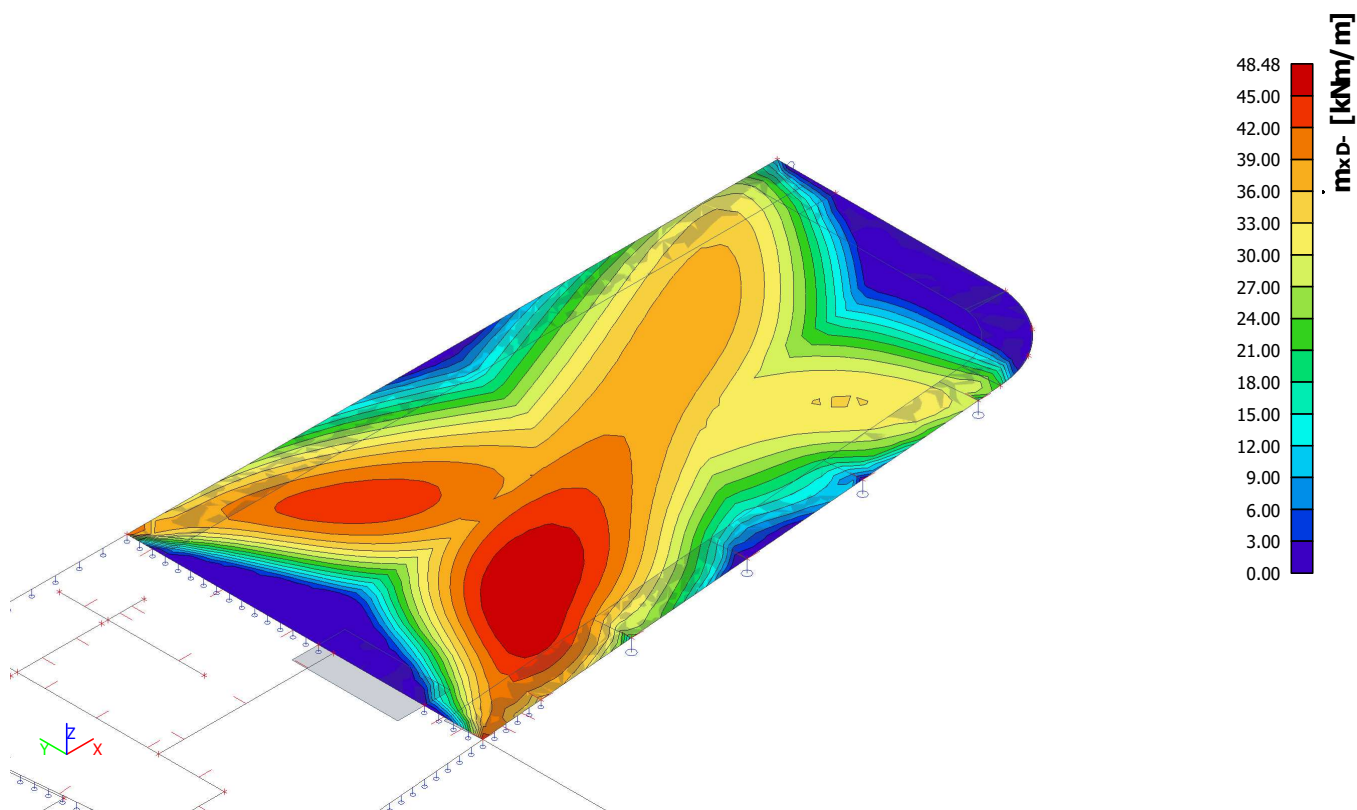


### 5.2.6. 2D vnitřní síly; $m_{yD}$

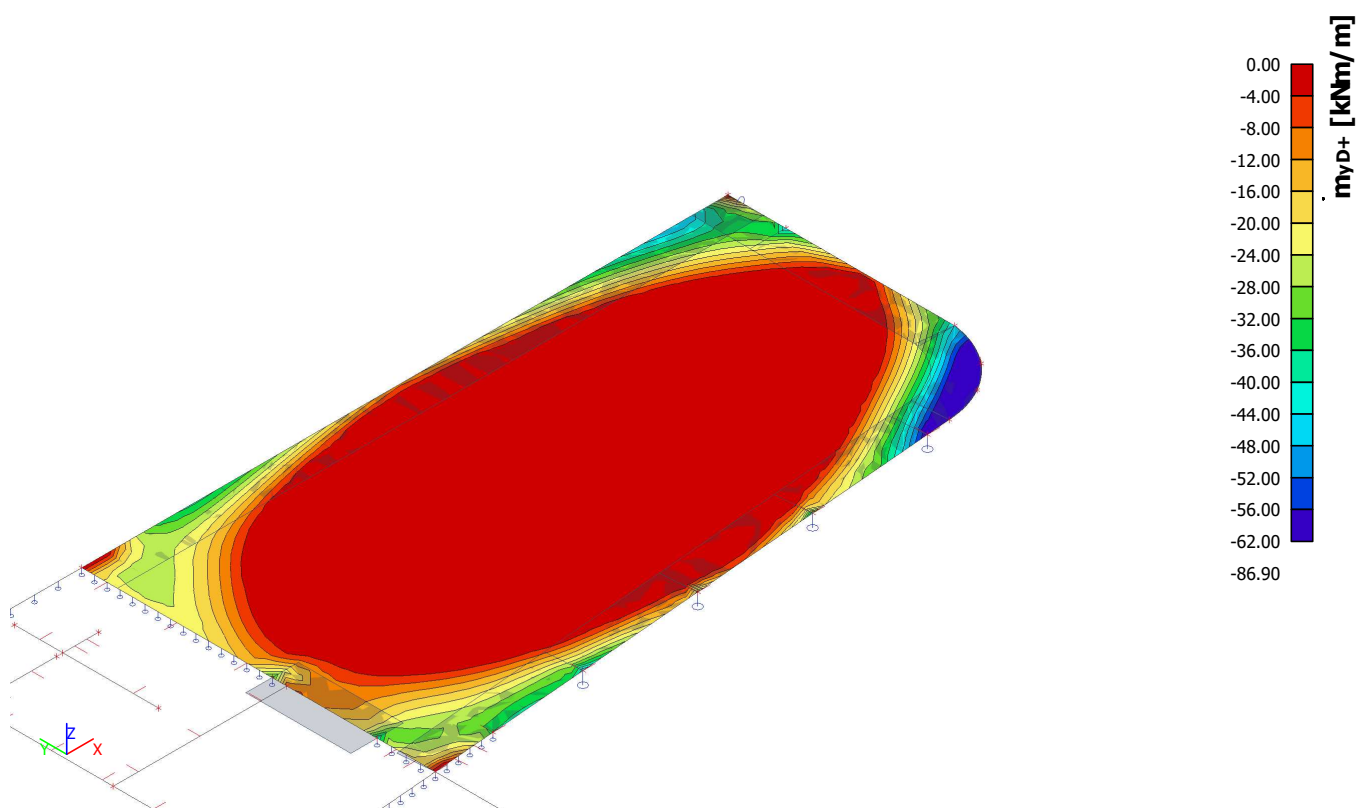




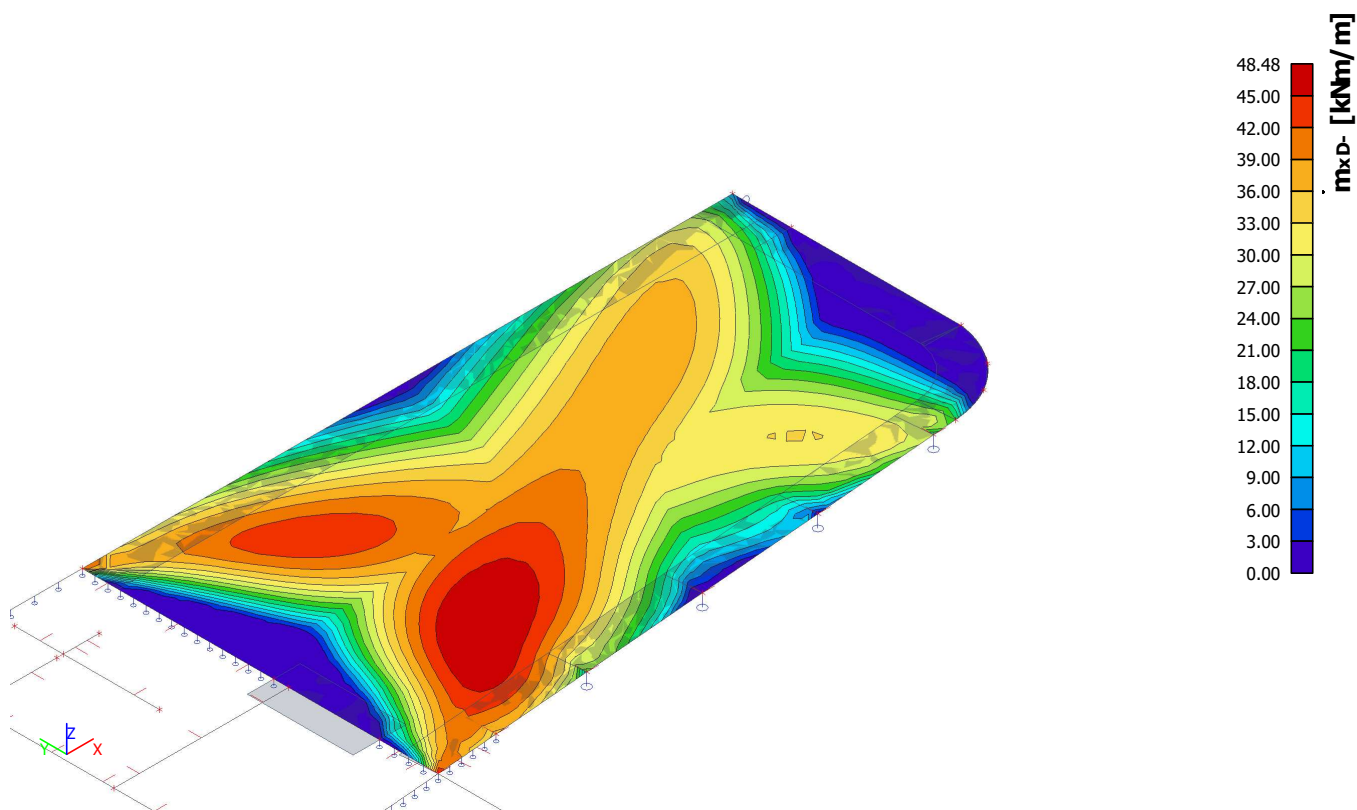
### 5.2.7. 2D vnitřní síly; $m_{xD-}$



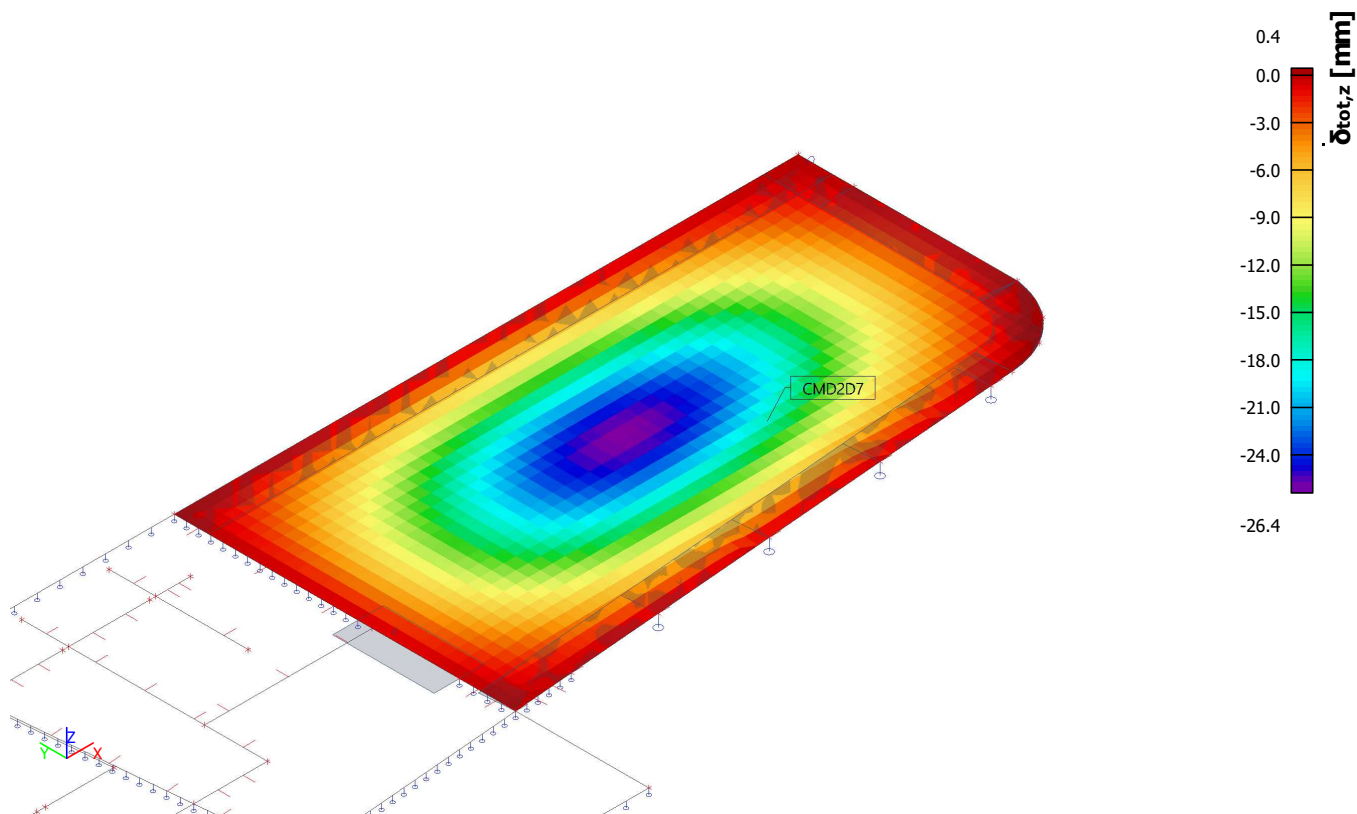
### 5.2.8. 2D vnitřní síly; $m_{yD+}$



### 5.2.9. 2D vnitřní síly; $m_{xD}$ -



### 5.2.10. Normově závislý průhyb; $\delta^{\text{tot}}$



### 5.2.11. Posouzení na ohyb

Deska nad 1.NP - Exteriér		Tabulkové posouzení MSÚ + MSP		winningsteel	
<div>Geometrie</div> <div><div>b (mm)</div><div>1000 šířka průřezu</div></div> <div><div>h (mm)</div><div>300 výška průřezu</div></div>		<div>Moment na tržiny</div> <div><div><math>M_{gk}</math> (kNm)</div><div>61 horní povrch</div></div> <div><div><math>M_{gk}</math> (kNm)</div><div>57 spodní povrch</div></div>		<div><div><div><div><div><div></div><div></div></div><div><div></div><div></div></div></div><div><div><div>Prostředí</div><div>C25/30</div><div>As = viz tabulka níže</div></div><div><div><div><div><div><div></div><div></div></div><div><div></div><div></div></div></div><div><div><div>krytí c =</div><div>35 mm</div></div><div><div>pro prostředí</div><div>XC1</div></div></div><div><div>b = 1000 mm</div></div><div><div><div>Základní výztuž: Ø12/200 mm - horní povrch</div><div>Základní výztuž: Ø12/100 mm - spodní povrch</div></div></div></div><div><div>h = 300 mm</div></div></div></div></div></div></div></div>	
<div>Beton</div> <div><div><math>f_{ck}</math> (MPa)</div><div>25 pevnost bet. v tlaku charakteristická</div></div> <div><div><math>f_{ctd}</math> (MPa)</div><div>16,7 pevnost bet. v tlaku výpočtová</div></div> <div><div><math>f_{td}</math> (MPa)</div><div>2,60 pevnost bet. v tahu</div></div> <div><div><math>E_c</math> (GPa)</div><div>31 modul pružnosti betonu</div></div>					
<div>Výztuž</div> <div><div><math>f_{yk}</math> (MPa)</div><div>500 mez kluzu charakteristická</div></div> <div><div><math>f_{ytd}</math> (MPa)</div><div>435 mez kluzu výpočtová</div></div> <div><div><math>\zeta_{rel}</math> (-)</div><div>0,617 mezní poměrné přetožení</div></div> <div><div><math>E_s</math> (GPa)</div><div>200 modul pružnosti výztuže</div></div> <div><div><math>\alpha</math> (-)</div><div>6,45 poměr modulů pružnosti</div></div>					
<div>Prostředí</div> <div><div><math>c_{top}</math> (mm) horní</div><div>35 horní povrch</div></div> <div><div>Třída prostředí horní</div><div>XC3/XF1</div></div> <div><div><math>w_{k,lim}</math> (mm)</div><div>0,30 limitní šířka trhliny</div></div> <div><div><math>c_{bottom}</math> (mm) spodní</div><div>35 spodní povrch</div></div> <div><div>Třída prostředí spodní</div><div>XC1</div></div> <div><div><math>w_{k,lim}</math> (mm)</div><div>0,30 limitní šířka trhliny</div></div> <div><div><math>\sigma_{s,lim}</math> (MPa)</div><div>15,00 limitní napětí v tlaceném betonu (<math>0,6 \cdot f_{ctd}</math>) pro zamezení vzniku příčných tlakových trhlin pro stupně vlivu prostředí XD, XF, XS</div></div> <div><div><math>\sigma_{s,lim}</math> (MPa)</div><div>400 limitní napětí v taženém výztuži (<math>0,8 \cdot f_{yk}</math>)</div></div> <div><div><math>A_{s,min}</math> (mm<sup>2</sup>/bm)</div><div>338 minimální plocha výztuže na běžný metr dle konstrukčních zásad EC</div></div> <div><div><math>A_{s,max}</math> (mm<sup>2</sup>/bm)</div><div>12 000 maximální plocha výztuže na běžný metr dle konstrukčních zásad EC</div></div>					
<div>Tabulkové hodnoty únosnosti pro výše uvedené zadání</div>					
<div><math>M_{ed}</math> (kNm)</div> <div>hodnota únosnosti v ohybu pro MSÚ pro výše uvedené zadání</div>					
<div><math>M_{ed,lim}</math> (kNm)</div> <div>maximální únosnost, aby bylo splněno výše stanovené limitní napětí v tlaceném betonu a v taženém výztuži</div>					
<div><math>w_k</math> (mm)</div> <div>maximální šířka trhliny při kvazistálém momentu</div>					
<div><math>V_{ed,max}</math> (kN/m)</div> <div>maximální únosnost betonu ve smyku na lici podpory</div>					
<div><math>V_{ed,lim}</math> (kN/m)</div> <div>únosnost betonu ve smyku se zohledněním stupně vyztužení</div>					
<div><math>V_{lim}</math> (kN/m)</div> <div>minimální únosnost betonu ve smyku bez zohlednění stupně vyztužení</div>					

----- Tah v horních vláknách desky -----

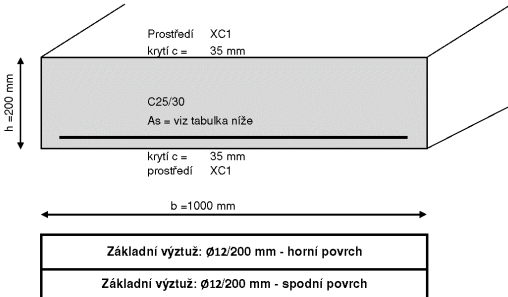
$M_{ed} / M_{ed,lim} / w_k$ (mm)	$s$ (mm) = osová vzdálenost výztuže																							
$\phi$ (mm)	50				100				150				200				250				300			
8	108	95	0,18	56	50	0,54	37	34	1,07	28	25	1,78	23	20	2,67	19	17	3,75						
10	163	113	0,11	85	77	0,30	58	52	0,59	43	39	0,96	35	31	1,43	29	26	1,99						
12	226	129	0,07	120	99	0,19	82	73	0,36	62	56	0,59	50	45	0,87	42	37	1,20						
14	291	144	0,05	159	111	0,13	109	94	0,24	83	75	0,39	67	60	0,57	56	50	0,79						
16	357	157	0,04	202	122	0,09	140	104	0,17	107	93	0,28	86	78	0,40	72	65	0,55						
18	0	0	0,00	246	133	0,07	172	114	0,13	132	102	0,20	107	93	0,29	90	81	0,40						
20	0	0	0,00	292	142	0,05	207	123	0,10	160	110	0,16	130	100	0,22	110	93	0,30						
22	0	0	0,00	338	151	0,04	243	131	0,08	189	117	0,12	155	108	0,17	131	100	0,24						
25	0	0	0,00	0	0	0,00	298	142	0,06	235	128	0,09	194	118	0,13	164	110	0,17						
28	0	0	0,00	0	0	0,00	352	152	0,04	282	137	0,07	234	127	0,09	200	118	0,13						
32	0	0	0,00	0	0	0,00	0	0	0,00	344	149	0,05	289	138	0,07	249	129	0,09						
$V_{ed,max} / V_{ed,lim} / V_{ed,lim}$ (kN/m)	$s$ (mm) = osová vzdálenost výztuže																							
$\phi$ (mm)	50				100				150				200				250				300			
8	940	125	117	940	99	117	940	87	117	940	79	117	940	73	117	940	69	117						
10	936	145	117	936	115	117	936	100	117	936	91	117	936	85	117	936	80	117						
12	932	163	117	932	130	117	932	113	117	932	103	117	932	95	117	932	90	117						
14	929	181	116	929	143	116	929	125	116	929	114	116	929	106	116	929	99	116						
16	925	197	116	925	156	116	925	137	116	925	124	116	925	115	116	925	108	116						
18	922	213	116	922	169	116	922	148	116	922	134	116	922	124	116	922	117	116						
20	918	228	116	918	181	116	918	158	116	918	144	116	918	133	116	918	125	116						
22	914	242	115	914	192	115	914	168	115	914	153	115	914	142	115	914	133	115						
25	909	263	115	909	209	115	909	183	115	909	166	115	909	154	115	909	145	115						
28	904	283	114	904	225	114	904	196	114	904	178	114	904	166	114	904	156	114						
32	896	308	114	896	245	114	896	214	114	896	194	114	896	180	114	896	170	114						

----- Tah ve spodních vláknách desky -----

$M_{ed} / M_{ed,lim} / w_k$ (mm)	$s$ (mm) = osová vzdálenost výztuže																							
$\phi$ (mm)	50				100				150				200				250				300			
8	108	95	0,18	56	50	0,49	37	34	0,98	28	25	1,65	23	20	2,49	19	17	3,50						
10	163	113	0,10	85	77	0,27	58	52	0,53	43	39	0,88	35	31	1,32	29	26	1,85						
12	226	129	0,06	120	99	0,17	82	73	0,33	62	56	0,53	50	45	0,79	42	37	1,10						
14	291	144	0,04	159	111	0,12	109	94	0,22	83	75	0,35	67	60	0,51	56	50	0,71						
16	357	157	0,03	202	122	0,08	140	104	0,16	107	93	0,25	86	78	0,36	72	65	0,49						
18	0	0	0,00	246	133	0,06	172	114	0,12	132	102	0,18	107	93	0,26	90	81	0,36						
20	0	0	0,00	292	142	0,05	207	123	0,09	160	110	0,14	130	100	0,20	110	93	0,27						
22	0	0	0,00	338	151	0,04	243	131	0,07	189	117	0,11	155	108	0,16	131	100	0,21						
25	0	0	0,00	0	0	0,00	298	142	0,05	235	128	0,08	194	119	0,11	164	110	0,15						
28	0	0	0,00	0	0	0,00	352	152	0,04	282	137	0,06	234	127	0,08	200	118	0,11						
32	0	0	0,00	0	0	0,00	0	0	0,00	344	149	0,04	289	138	0,06	249	129	0,08						
$V_{ed,max} / V_{ed,lim} / V_{mp}$ (kN/m)	$s$ (mm) = osová vzdálenost výztuže																							
$\phi$ (mm)	50				100				150				200				250				300			
8	940	125	117	940	99	117	940	87	117	940	79	117	940	73	117	940	69	117						
10	936	145	117	936	115	117	936	100	117	936	91	117	936	85	117	936	80	117						
12	932	163	117	932	130	117	932	113	117	932	103	117	932	95	117	932	90	117						
14	929	181	116	929	143	116	929	125	116	929	114	116	929	106	116	929	99	116						
16	925	197	116	925	156	116	925	137	116	925	124	116	925	115	116	925	108	116						
18	922	213	116	922	169	116	922	148	116	922	134	116	922	124	116	922	117	116						
20	918	228	116	918	181	116	918	158	116	918	144	116	918	133	116	918	125	116						
22	914	242	115	914	192	115	914	168	115	914	153	115	914	142	115	914	133	115						
25	909	263	115	909	209	115	909	183	115	909	166	115	909	154	115	909	145	115						
28	904	283	114	904	225	114	904	196	114	904	178	114	904	166	114	904	156	114						
32	896	308	114	896	245	114	896	214	114	896	194	114	896	180	114	896	170	114						



## 5.2.12. Posouzení na ohyb


Deska nad 1.NP - Interiér		Tabulkové posouzení MSÚ + MSP		winningsteel	
<b>Geometrie</b>		<b>Moment na tržiny</b>			
b (mm)	1000 šířka průřezu	M <sub>yk</sub> <sup>+</sup> (kNm)	47 horní povrch		
h (mm)	200 výška průřezu	M <sub>yk</sub> <sup>-</sup> (kNm)	22 spodní povrch		
<b>Beton</b>					
f <sub>yk</sub> (MPa)	25 pevnost bet. v tlaku charakteristická				
f <sub>ctd</sub> (MPa)	16,7 pevnost bet. v tlaku výpočtová				
f <sub>td</sub> (MPa)	2,60 pevnost bet. v tahu				
E <sub>c</sub> (GPa)	31 modul pružnosti betonu				
<b>Výztuž</b>					
f <sub>yk</sub> (MPa)	500 mez kluzu charakteristická				
f <sub>yk</sub> (MPa)	435 mez kluzu výpočtová				
ξ <sub>bal</sub> (-)	0,617 mezní poměrné přetvoření				
E <sub>s</sub> (GPa)	200 modul pružnosti výztuže				
α (-)	6,45 poměr modulů pružnosti				
<b>Prostředí</b>					
c <sub>top</sub> (mm) horní	35 horní povrch				
Třída prostředí horní	XC1				
w <sub>lim</sub> (mm)	0,30 limitní šířka trhliny				
c <sub>bot</sub> (mm) spodní	35 spodní povrch				
Třída prostředí spodní	XC1				
w <sub>lim</sub> (mm)	0,30 limitní šířka trhliny				
σ <sub>s,lim</sub> (MPa)	15,00 limitní napětí v tlacím betonu (0,6*f <sub>td</sub> ) pro zamezení vzniku příčných tlakových trhlin pro stupně vlivu prostředí XD, XF, XS				
σ <sub>s,lim</sub> (MPa)	400 limitní napětí v taženém výztuži (0,8*f <sub>yk</sub> )				
A <sub>s,min</sub> (mm <sup>2</sup> /bm)	203 minimální plocha výztuže na běžný metr dle konstrukčních zásad EC				
A <sub>s,max</sub> (mm <sup>2</sup> /bm)	8 000 maximální plocha výztuže na běžný metr dle konstrukčních zásad EC				
Tabulkové hodnoty únosnosti pro výše uvedené zadání					
M <sub>ed</sub> (kNm)	hodnota únosnosti v ohybu pro MSÚ pro výše uvedené zadání				
M <sub>ed,01</sub> (kNm)	maximální únosnost, aby bylo splněno výše stanovené limitní napětí v tlacím betonu a v taženém výztuži				
w <sub>k</sub> (mm)	maximální šířka trhliny při kvazistálém momentu				
V <sub>ed,max</sub> (kN/m)	maximální únosnost betonu ve smyku na lici podpory				
V <sub>ed,01</sub> (kN/m)	únosnost betonu ve smyku se zohledněním stupně vyztužení				
V <sub>ed,02</sub> (kN/m)	minimální únosnost betonu ve smyku bez zohlednění stupně vyztužení				

\*----- Tah v horních vláknách desky -----\*

M <sub>ed</sub> / M <sub>ed,01</sub> / w <sub>k</sub> (mm)		s (mm) = osová vzdálenost výztuže																							
Ø (mm)		50				100				150				200				250				300			
8	65	44	0,24	34	30	0,67	23	20	1,30	17	15	2,12	14	12	3,15	12	10	4,37							
10	95	52	0,15	51	39	0,39	35	31	0,73	26	24	1,17	21	19	1,71	18	16	2,36							
12	127	58	0,10	71	45	0,25	49	38	0,46	37	34	0,72	30	27	1,05	25	23	1,44							
14	0	0	0,00	92	50	0,17	64	43	0,31	49	38	0,49	40	35	0,70	34	30	0,95							
16	0	0	0,00	114	55	0,13	81	47	0,22	63	42	0,35	51	39	0,50	43	36	0,67							
18	0	0	0,00	136	59	0,10	99	51	0,17	77	46	0,26	63	42	0,37	53	39	0,49							
20	0	0	0,00	0	0	0,00	116	54	0,13	92	49	0,20	76	45	0,28	64	42	0,38							
22	0	0	0,00	0	0	0,00	133	57	0,11	107	52	0,16	89	48	0,22	76	45	0,30							
25	0	0	0,00	0	0	0,00	0	0	0,00	129	56	0,12	108	52	0,16	93	48	0,21							
28	0	0	0,00	0	0	0,00	0	0	0,00	0	0	0,00	127	55	0,12	111	52	0,16							
32	0	0	0,00	0	0	0,00	0	0	0,00	0	0	0,00	0	0	0,00	133	55	0,12							
V <sub>ed,max</sub> / V <sub>ed,01</sub> / V <sub>ed,02</sub> (kN/m)		s (mm) = osová vzdálenost výztuže																							
Ø (mm)		50				100				150				200				250				300			
8	580	97	80	580	77	80	580	67	80	580	61	80	580	56	80	580	53	80							
10	576	112	79	576	89	79	576	77	79	576	70	79	576	65	79	576	61	79							
12	572	125	79	572	100	79	572	87	79	572	79	79	572	73	79	572	69	79							
14	569	138	78	569	110	78	569	96	78	569	87	78	569	81	78	569	76	78							
16	565	151	78	565	120	78	565	105	78	565	95	78	565	88	78	565	83	78							
18	562	162	77	562	129	77	562	113	77	562	102	77	562	95	77	562	89	77							
20	558	173	77	558	138	77	558	120	77	558	109	77	558	101	77	558	95	77							
22	554	184	76	554	146	76	554	128	76	554	116	76	554	108	76	554	101	76							
25	549	199	75	549	158	75	549	138	75	549	125	75	549	116	75	549	110	75							
28	544	213	75	544	169	75	544	148	75	544	134	75	544	125	75	544	117	75							
32	536	231	74	536	183	74	536	160	74	536	146	74	536	135	74	536	127	74							

\*----- Tah ve spodních vláknách desky -----\*

M <sub>ed</sub> / M <sub>ed,01</sub> / w <sub>k</sub> (mm)		s (mm) = osová vzdálenost výztuže																							
Ø (mm)		50				100				150				200				250				300			
8	65	44	0,09	34	30	0,24	23	20	0,46	17	15	0,75	14	12	1,12	12	10	1,56							
10	95	52	0,05	51	39	0,13	35	31	0,25	26	24	0,41	21	19	0,60	18	16	0,83							
12	127	58	0,03	71	45	0,09	49	38	0,16	37	34	0,25	30	27	0,37	25	23	0,51							
14	0	0	0,00	92	50	0,06	64	43	0,11	49	38	0,17	40	35	0,24	34	30	0,33							
16	0	0	0,00	114	55	0,04	81	47	0,08	63	42	0,12	51	39	0,17	43	36	0,23							
18	0	0	0,00	136	59	0,03	99	51	0,06	77	46	0,09	63	42	0,13	53	39	0,17							
20	0	0	0,00	0	0	0,00	116	54	0,05	92	49	0,07	76	45	0,10	64	42	0,13							
22	0	0	0,00	0	0	0,00	133	57	0,04	107	52	0,05	89	48	0,08	76	45	0,10							
25	0	0	0,00	0	0	0,00	0	0	0,00	129	56	0,04	108	52	0,06	93	48	0,07							
28	0	0	0,00	0	0	0,00	0	0	0,00	0	0	0,00	127	55	0,04	111	52	0,06							
32	0	0	0,00	0	0	0,00	0	0	0,00	0	0	0,00	0	0	0,00	133	55	0,04							
V <sub>ed,max</sub> / V <sub>ed,01</sub> / V <sub>ed,02</sub> (kN/m)		s (mm) = osová vzdálenost výztuže																							
Ø (mm)		50				100				150				200				250				300			
8	580	97	80	580	77	80	580	67	80	580	61	80	580	56	80	580	53	80							
10	576	112	79	576	89	79	576	77	79	576	70	79	576	65	79	576	61	79							
12	572	125	79	572	100	79	572	87	79	572	79	79	572	73	79	572	69	79							
14	569	138	78	569	110	78	569	96	78	569	87	78	569	81	78	569	76	78							
16	565	151	78	565	120	78	565	105	78	565	95	78	565	88	78	565	83	78							
18	562	162	77	562	129	77	562	113	77	562	102	77	562	95	77	562	89	77							
20	558	173	77	558	138	77	558	120	77	558	109	77	558	101	77	558	95	77							
22	554	184	76	554	146	76	554	128	76	554	118	76	554	108	76	554	101	76							
25	549	195	75	549	158	75	549	138	75	549	125	75	549	116	75	549	110	75							
28	544	213	75	544	169	75	544	148	75	544	134	75	544	125	75	544	117	75							
32	536	231	74	536	183	74	536	160	74	536	146	74	536	135	74	536	127	74							

 member of winning group	Dětská skupina Písníky Břeclav	DÚR+DSP
	Statický výpočet	

### 5.2.13. Posouzení atiky

Atika			
<b>průřez</b>			
h =	1,55 m	b =	0,25 m
l =	3,8 m	A <sub>c</sub> =	0,19 m <sup>2</sup>
<b>dolní výztuž</b>		A <sub>s</sub> =	0,000603 m <sup>2</sup>
R =	16 mm	počet	3 ks
c =	35 mm	f <sub>yk</sub> =	500 MPa
<b>horní výztuž</b>		A <sub>s</sub> =	0,000226 m <sup>2</sup>
R =	12 mm	počet	2 ks
<b>smyková výztuž</b>		A <sub>sw</sub> =	5,65487E-05 m <sup>2</sup>
R =	6 mm	počet	2 ks
cotg θ =	1	s	300 mm
<b>beton</b>		f <sub>yk</sub> =	500 MPa
f <sub>ck</sub> =	25 MPa	f <sub>cd</sub> =	16666666,67 Pa
f <sub>ctm</sub> =	2,6 MPa	α <sub>cc</sub> =	1
<b>vnitřní síly</b>		E <sub>cm</sub> =	3,00E+10 Pa
M <sub>ed</sub> =	232 kNm	M <sub>ek</sub> =	181,00 kNm
V <sub>ed</sub> =	90 kN	M <sub>ek,ψ2</sub> =	148,00 kNm

Posouzení na mezní stav únosnosti			
d =	1,501 m	x =	0,0492 m
d <sub>2</sub> =	0,047 m	využití	0,601 %
A <sub>s,min</sub> =	0,0005239 m <sup>2</sup>	Platí	ξ <sub>bal,1</sub> = 0,617
A <sub>s,max</sub> =	0,0155 m <sup>2</sup>	Platí	ξ <sub>bal,2</sub> = 2,639
<b>M<sub>rd</sub> = 385,8 kNm</b>		<b>M<sub>ed</sub> = 232,0 kNm</b>	
		<b>Platí</b>	
V <sub>rd,c</sub> =	72,6 kN	V <sub>rd,s</sub> =	121,4 kN
V <sub>rd</sub> =	194,0 kN	V <sub>ed</sub> =	90 kN
		<b>&gt; Platí</b>	

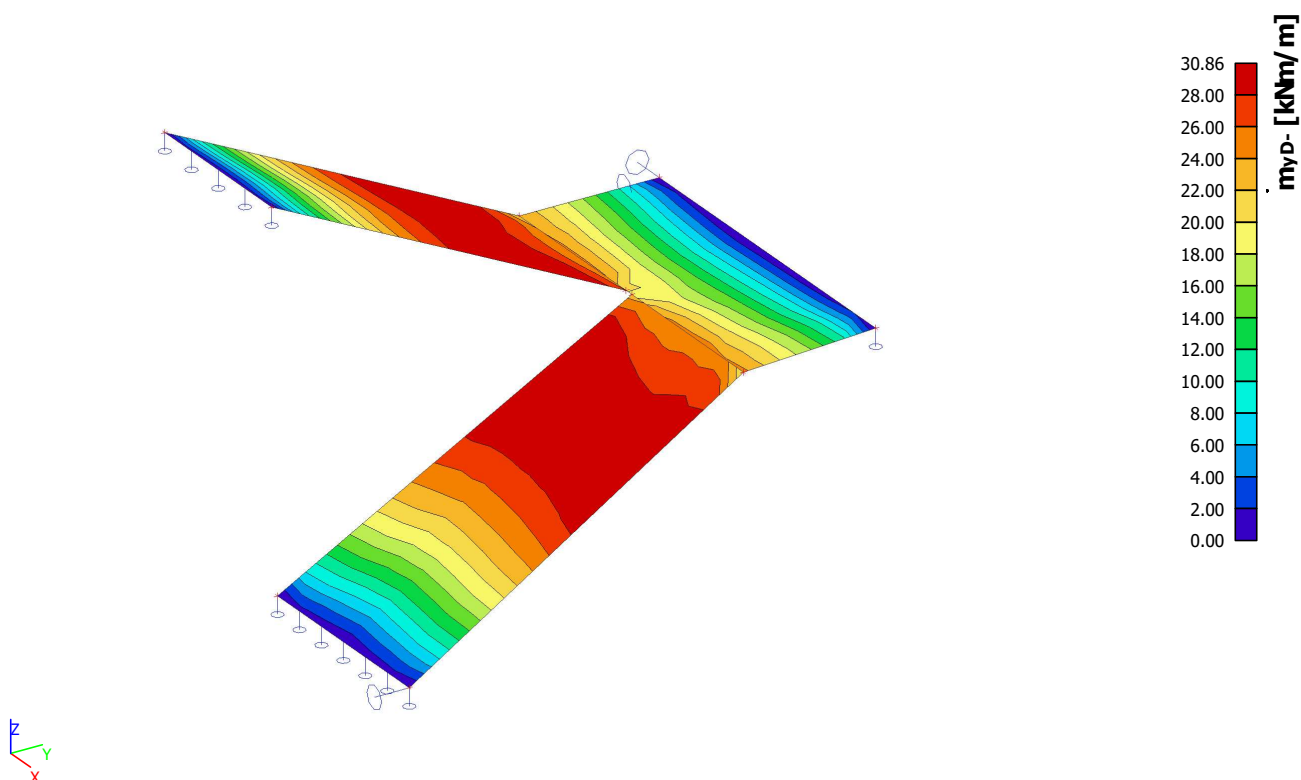
Posouzení na mezní stav použitelnosti					
Omezení napětí					
σ <sub>c</sub> =		4,95 MPa		Platí	
σ <sub>s</sub> =		209,41 MPa		Platí	
Mezní stav trhlin		- průřez je bez trhlin			
k <sub>2</sub> =		0,5		k <sub>3</sub> =	
k <sub>4</sub> =		3,4		0,425	
w <sub>k</sub> =		0,192 mm		0,3 mm	
		Platí			
Mezní stav přetvoření		l/d =			
		2,5			
		<			
		20			
		ρ =			
		0,16 %			
		(dle ČSN EN 1992-1-1)			
Není třeba počítat konstrukci na mezní stav přetvoření					

### 5.3. Schodiště

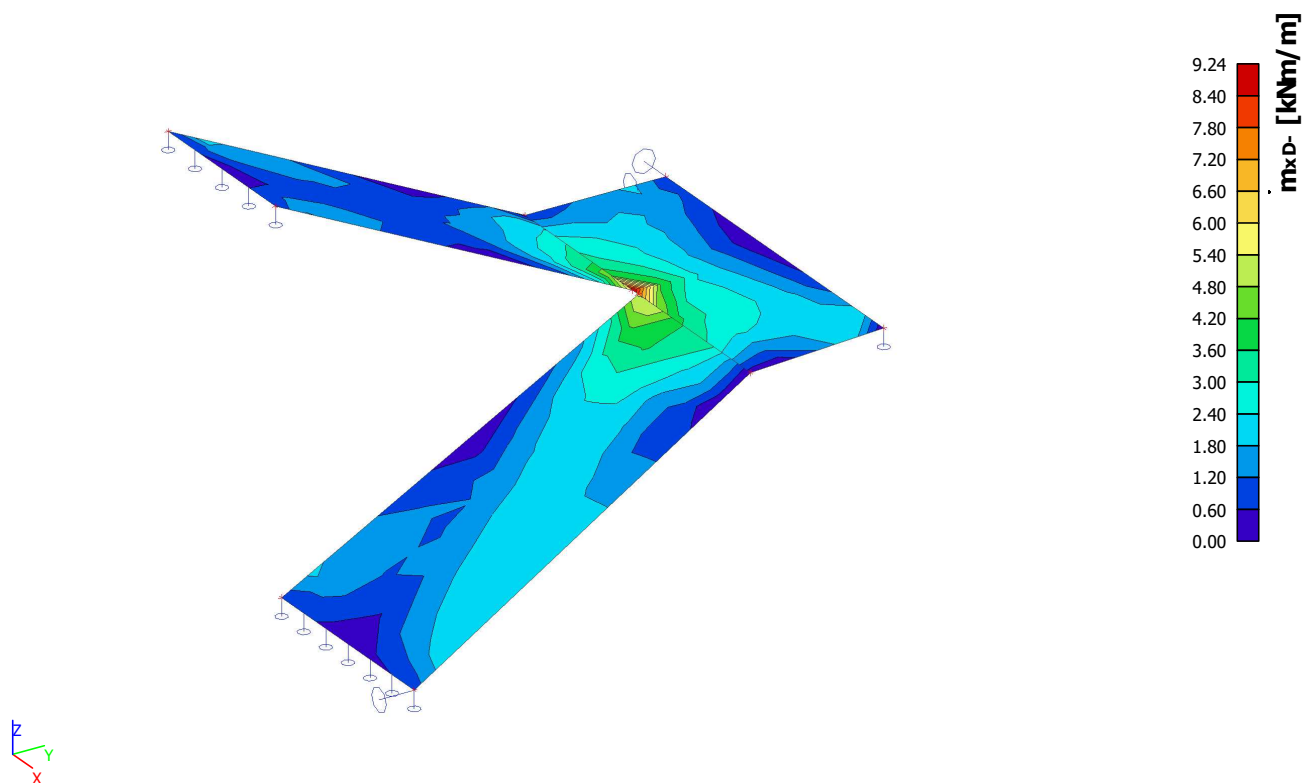
#### Navržené parametry

- tl. desky = 180 mm
- beton C25/30
- krytí c = 35 mm (vše)
- třída prostředí: XC2 (vše)
- šířka trhlin  $w_k = 0,2$  mm (vše)
- základní výztuž  $\varnothing 12/100$  (dolní nosný směr) +  $\varnothing 8/100$  (ostatní)

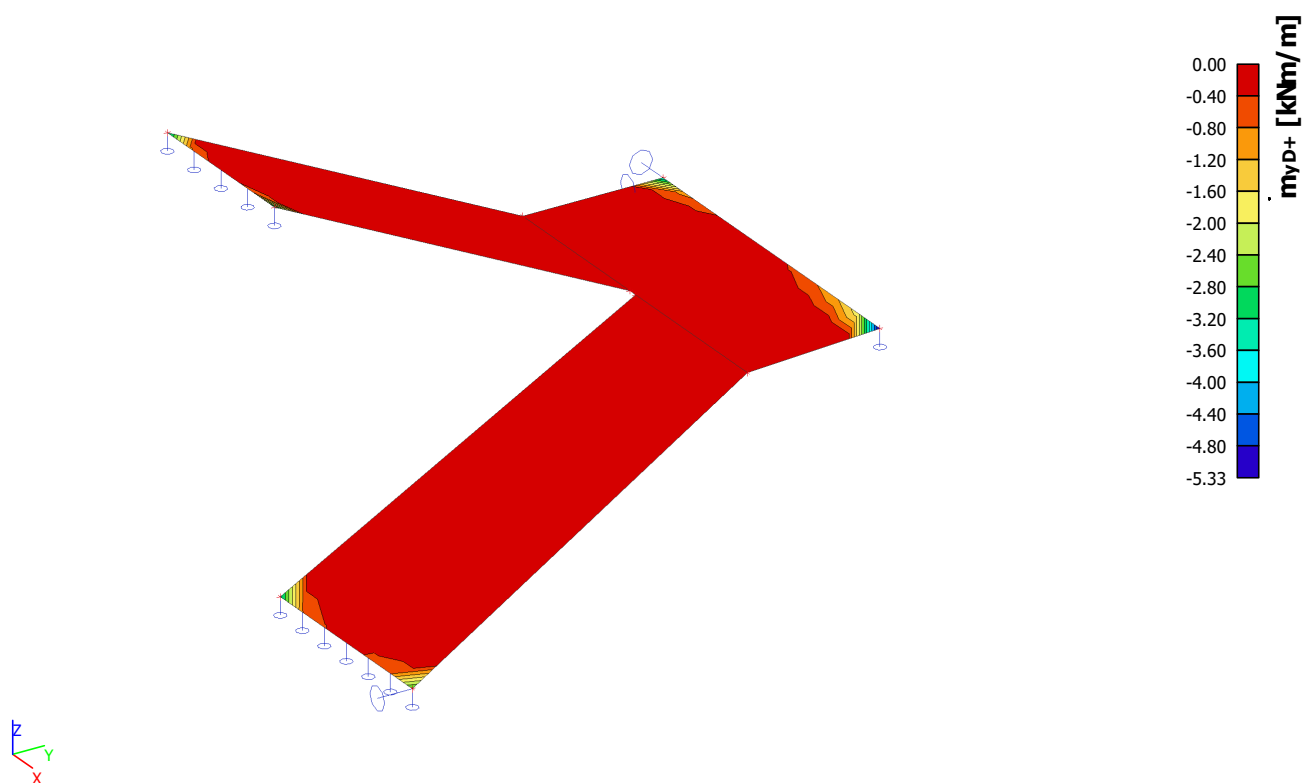
#### 5.3.1. 2D vnitřní síly; $m_{yD}$ -



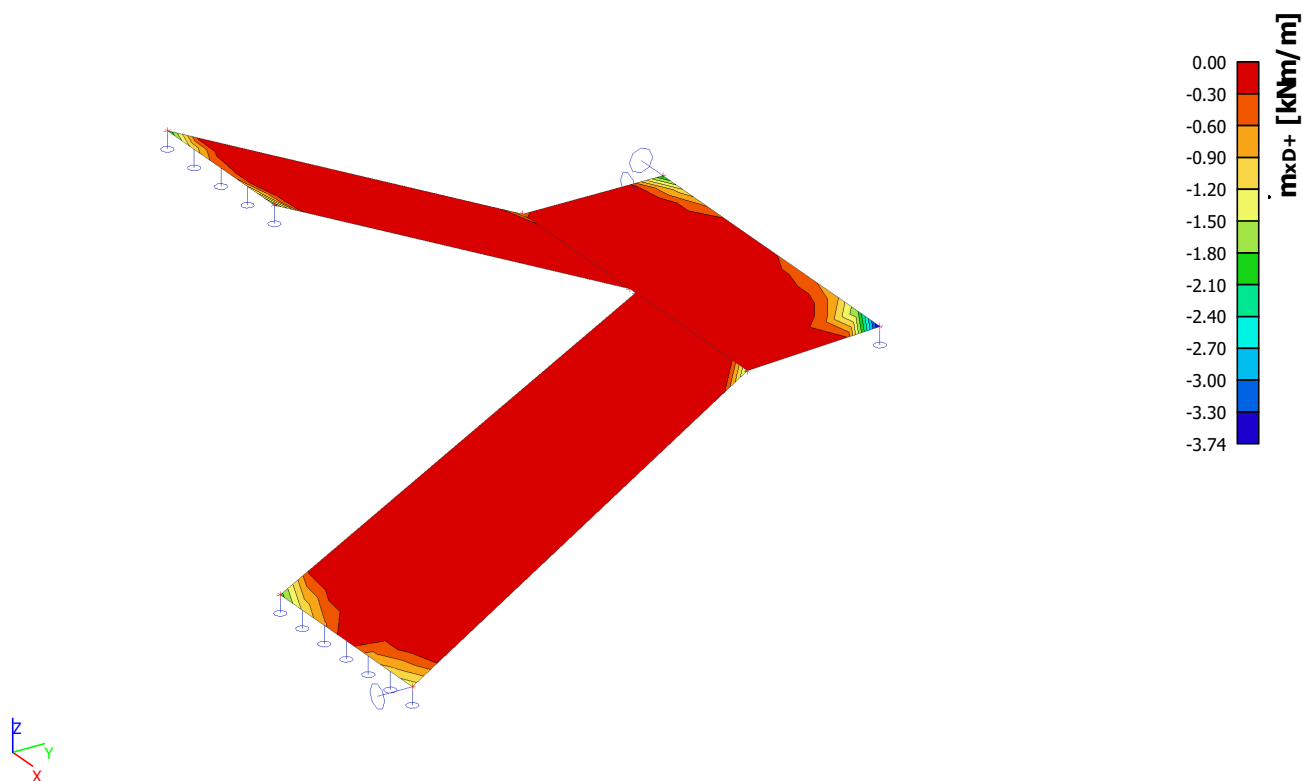
### 5.3.2. 2D vnitřní síly; $m_{xD-}$



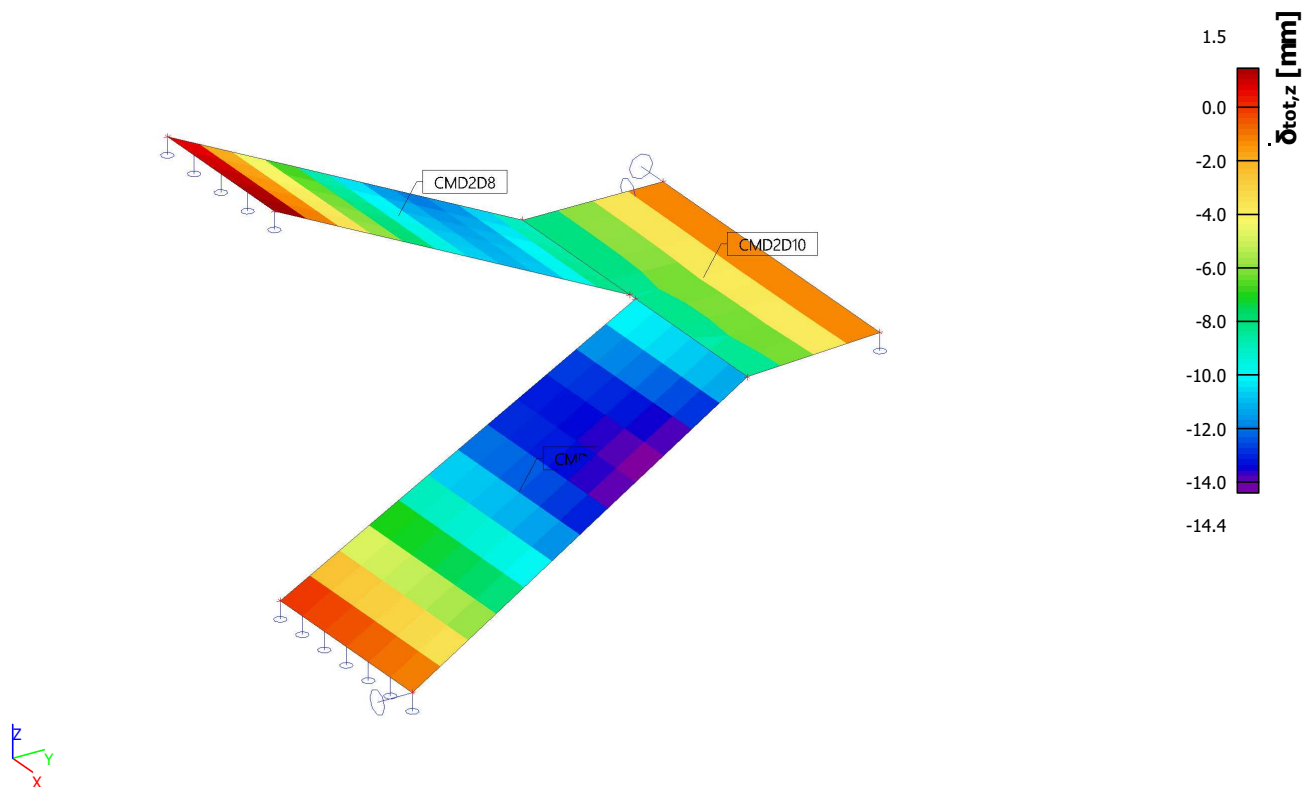
### 5.3.3. 2D vnitřní síly; $m_{yD+}$



#### 5.3.4. 2D vnitřní síly; $m_{xD+}$



#### 5.3.5. Normově závislý průhyb; $\delta_{tot}$

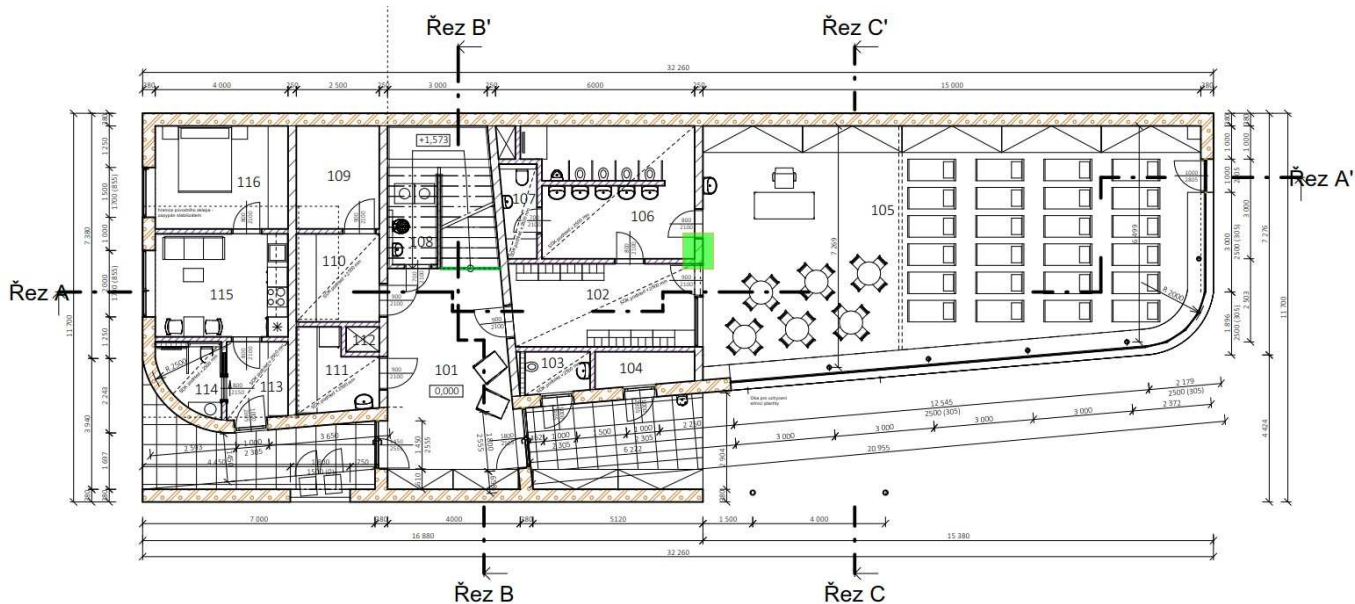






## 5.4. Zdivo

V místě posouzení nosného zdiva tl. 250 mm nelze zhotovit drážky pro elektroinstalaci.



## STATIKA ZDIVA



ivo.petrasek@wienerberger.com



wipzona.cz

Wienerberger s. r. o.  
Plachého 28, České Budějovice 370 01

## Použité cihelné bloky

Zvolený zdící blok: POROTHERM 24 P+D (P10)

Rozměry: 372x240x238 mm

Plošná hmotnost včetně omítek tl.15 mm: 2,75 kN/m<sup>2</sup>

Skupina zdícího prvku: 2

Normalizovaná průměrná pevnost v tlaku zdícího prvku  $f_b$ : 11,56 MPa

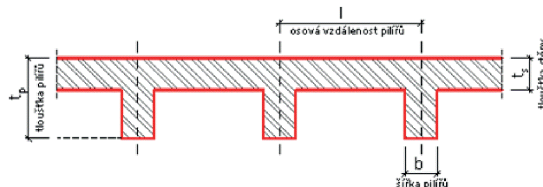
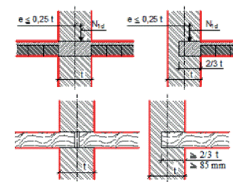
## Malta

☐ M 2,5☒ M 5☐ M 10☐ M 15☐ M 20☐ LM 5☐ Speciální pěna pro zdění☐ Speciální malta pro tenké spáry

## Zdivo

Součinitel přetvárnosti zdiva v tlaku  $K_E$ : 1000Modul pružnosti zdiva  $E$ : 4044 MPaCharakteristická hodnota pevnosti v tlaku  $f_k$ : 4,044 MPa☐ Zdící prvky kategorie I a návrhová malta☒ Zdící prvky kategorie I a předpisová maltaNávrhová pevnost v tlaku zdiva ve směru zatížení  $f_d$ : 1,838 MPaDílní součinitel materiálu  $\gamma_M$ : 2,2

## Parametry posuzovaného průřezu

Tloušťka stěny  $t_s$ : 240 mmDélka pilíře  $b$ : 1000 mmSvětlná výška stěny  $h$ : 3000 mmZtužení stěny pilíři po obou svislých okrajích: ☐ Ano ☒ NeOsová vzdálenost pilířů  $l$ : 0 mmŠířka pilířů  $b$ :Celková tloušťka pilířů  $t_p$ :Účinná tloušťka stěny  $t_{ef}$ : 240 mmSoučinitel vzpěrné délky  $\mu_n$ ☒ Stěna je nahoře i dole podepřena železobetonovými střešními či střešními podmínkami viz obr.☐ Stěna je nahoře i dole podepřena dřevěnými trámovými střešními či střešními podmínkami viz obr. $\mu_2$ : 0,75☒ Stěna je podepřena jen v úrovni hlavy a paty☐ Stěna je podepřena v úrovni hlavy a paty a podél jednoho svislého okraje☐ Stěna je podepřena v úrovni hlavy a paty a podél obou svislých okrajůDélka stěny  $l$ : $\mu_3$ :Vzpěrná výška stěny  $h_{ef}$ : 2250 mmŠtíhlost zděné stěny  $\lambda$ : 9,375 < 27 = limitní štíhlost

Projekt: Písníky zděný pilíř tl. 250mm

Zpracoval: Tomáš Suchomel

Dne: 20. 05. 2024

## STATIKA ZDIVA



ivo.petrasek@wienerberger.com



wipzona.cz

Wienerberger s. r. o.  
Plachého 28, České Budějovice 370 01Vnitřní síly

## Normálová síla

V úrovni hlavy stěny  $N_{1d}$ : 295,000 kNV úrovni paty stěny  $N_{2d}$ : 306,138 kNV 1/2 výšky vč. všech výstředných  
zatížení působících na stěnu  $N_{md}$ : 300,569 kN

## Ohybový moment od výstřednosti zatížení stropů v podporách

V úrovni hlavy stěny  $M_{1d}$ : 0,000 kNmV úrovni paty stěny  $M_{2d}$ : 0,000 kNmV 1/2 výšky vč. všech výstředných  
zatížení působících na stěnu  $M_{md}$ : 0,000 kNm

## Ohybový moment od vodorovného zatížení

V úrovni hlavy stěny  $M_{1hd}$ : 0,000 kNmV úrovni paty stěny  $M_{2hd}$ : 0,000 kNmV 1/2 výšky vč. všech výstředných  
zatížení působících na stěnu  $M_{mhd}$ : 0,000 kNmVýsledky

## V úrovni hlavy stěny

 $e_1$ : 5,0 mm < 0,05t = 12,0 mm $\Phi_1$ : 0,900 $N_{1d}$ : 295,000 kN < 397,096 kN = N1Rd

VYHOVUJE

## V 1/2 výšky stěny

 $e_{mk}$ : 5,0 mm < 0,05t = 12,0 mm $\Phi_m$ : 0,843 $N_{md}$ : 300,569 kN < 371,804 kN = NmRd

VYHOVUJE

## V úrovni paty stěny

 $e_2$ : 5,0 mm < 0,05t = 12,0 mm $\Phi_2$ : 0,900 $N_{2d}$ : 306,138 kN < 397,096 kN = N2Rd

VYHOVUJE

Podmínky & Použití


Tento program slouží pouze jako nástroj pro výpočet statiky zdiva a výsledky jsou závislé na vstupních datech. Autor neodpovídá za jakékoli nepřesnosti, chyby či nevhodné použití výsledků získaných touto aplikací. Důkladně zkontrolujte výsledky a v případě jakýchkoli pochybností konzultujte s odborníkem.

Projekt: Písníky zděný pilíř tl. 250mm

Zpracoval: Tomáš Suchomel

Dne: 20. 05. 2024



	Dětská skupina Písníky Břeclav	DÚR+DSP
	Statický výpočet	

## 5.5. Ocelové sloupy

### Navržené parametry

- TR Ø 101,6x8
- ocel S235

### 5.5.1. Posudek ocelových prvků na MSÚ EC-EN 1993

Lineární výpočet  
Kombinace: CO1  
Souřadný systém: Hlavní  
Extrém 1D: Globální  
Výběr: Vše

#### Posudek EN 1993-1-1

Národní příloha: Česká CSN-EN NA

<b>Dílec B15</b>	<b>0,000 / 3,000 m</b>	<b>RO101.6X8</b>	<b>S 235</b>	<b>CO1</b>	<b>0,93 -</b>
------------------	------------------------	------------------	--------------	------------	---------------

Poznámka: EN 1993-1-3 čl. 1.1(3) stanoví, že tato část se nevztahuje na za studena tvarované kruhové a obdélníkové trubky. Je proveden výchozí posudek podle EN 1993-1-1 namísto posudku podle EN 1993-1-3.

<b>Klíč kombinace</b>
CO1 / 1.35*ZS1 + 1.35*ZS2 + 1.35*ZS3 + 1.35*ZS4 + 1.35*ZS5 + 1.05*ZS7 + 0.75*ZS10

<b>Dílčí souč. spolehlivosti</b>	
$\gamma_{M0}$ pro únosnost průřezu	1,00
$\gamma_{M1}$ pro stabilitu	1,00
$\gamma_{M2}$ pro únosnost čistého průřezu	1,25

<b>Materiál</b>	
Mez kluzu	$f_y$ 235,0 MPa
Pevnost v tahu	$f_u$ 360,0 MPa
Výroba	Tvářený za studena

#### ....POSUDEK ÚNOSNOSTI:....

Kritický posudek je na pozici 0,000 m

Vnitřní síly		Vypočtené	Jednotka
Osová síla	$N_{Ed}$	-290,53	kN
Smyková síla	$V_{y,Ed}$	0,00	kN
Smyková síla	$V_{z,Ed}$	0,00	kN
Kroucení	$T_{Ed}$	0,00	kNm
Ohybový moment	$M_{y,Ed}$	0,00	kNm
Ohybový moment	$M_{z,Ed}$	0,00	kNm

#### Klasifikace pro návrh průřezu

Klasifikace podle EN 1993-1-1 článku 5.5.2

Klasifikace trubek podle EN 1993-1-1 tabulky 5.2 listu 3

d [mm]	t [mm]	d/t [-]	Třída 1 limit [-]	Třída 2 limit [-]	Třída 3 limit [-]	Třída
102	8	12,70	50,00	70,00	90,00	1

Průřez je klasifikován třídou 1

#### Posudek na tlak

Podle EN 1993-1-1 článku 6.2.4 a rovnice (6.9)

Průřezová plocha	A	2,3500e-03	m <sup>2</sup>
Tlaková únosnost	$N_{c,Rd}$	552,25	kN
Jedn. posudek		0,53	-

Prvek splňuje podmínky posudku průřezu.

#### ....POSUDEK STABILITY:....

#### Klasifikace pro návrh dílce na vzpěr

Rozhodující poloha pro klasifikaci stability: 0,000 m

Klasifikace podle EN 1993-1-1 článku 5.5.2

Klasifikace trubek podle EN 1993-1-1 tabulky 5.2 listu 3

d [mm]	t [mm]	d/t [-]	Třída 1 limit [-]	Třída 2 limit [-]	Třída 3 limit [-]	Třída
102	8	12,70	50,00	70,00	90,00	1

Průřez je klasifikován třídou 1

#### Posudek rovinného vzpěru

Podle EN 1993-1-1 článku 6.3.1.1 a rovnice (6.46)

Parametry vzpěru		yy	zz	
Typ posuvných styčníků		posuvné	neposuvné	
Systémová délka	L	3,000	3,000	m
Součinitel vzpěru	k	1,00	1,00	
Vzpěrná délka	$l_{cr}$	3,000	3,000	m
Kritické Eulerovo zatížení	$N_{cr}$	598,76	598,79	kN
Štíhlost	$\lambda$	90,19	90,19	
Poměrná štíhlost	$\lambda_{rel}$	0,96	0,96	
Mezní štíhlost	$\lambda_{rel,0}$	0,20	0,20	
Vzpěr. křivka	c	c	c	
Imperfekce	$\alpha$	0,49	0,49	
Redukční součinitel	$\chi$	0,56	0,56	
Únosnost na vzpěr	$N_{b,Rd}$	311,05	311,06	kN

Posudek rovinného vzpěru			
Průřezová plocha	A	2,3500e-03	m <sup>2</sup>
Únosnost na vzpěr	$N_{b,Rd}$	311,05	kN
Jedn. posudek		0,93	-

#### Posudek prostorového vzpěru

Podle EN 1993-1-1 článku 6.3.1.1 a rovnice (6.46)

**Poznámka:** Průřez se týká kruhové trubky, která není náchylná k prostorovému vzpěru.

Prvek splňuje podmínky stabilitního posudku.

## 5.6. Překlady

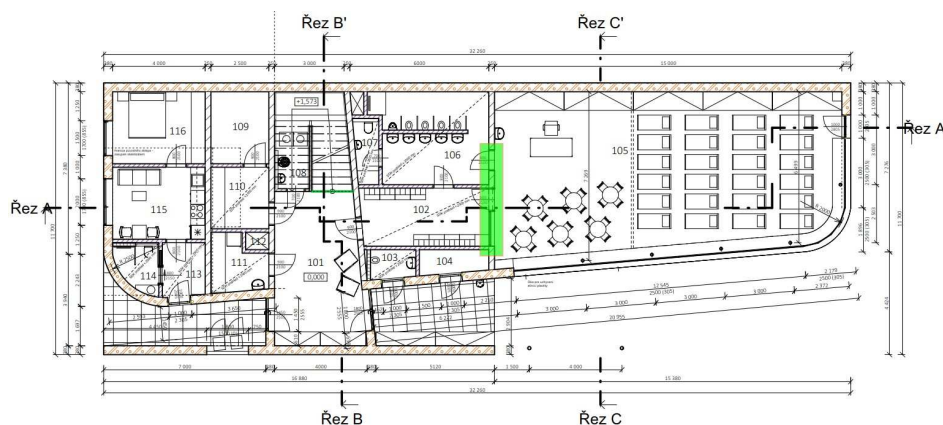
Jako překlady pro otvory ve zdivu jsou použity systémové cihelné překlady dle šířky stěny. Pro jeden případ velkého otvoru je navržen železobetonový překlad.

#### Navržené parametry

- beton C25/30
- krytí c = 35 mm (vše)
- třída prostředí: XC1 (vše)
- šířka trhlin  $w_k = 0,3$  mm (exteriér) +  $w_k = 0,4$  mm (interiér)

#### Překlad

- výpočtová šířka překladu = 250 mm
- výpočtová výška překladu = 850 mm
- podélná výztuž 3ø14 (doní povrch) + 3ø14 (horní) + třmínky ø8/200





## Porotherm KP 7

Překlady

1/1



### Použití

Cihelné překlady **Porotherm KP 7** se používají jako plně nosné prvky nad okenními a dveřními otvory ve zděných stěnových konstrukcích.

### Výhody

- plně staticky účinné
- vzhledem ke způsobu vyztužení je poloha překladu při použití možná pouze zaoblením nahoru
- zvýšená smyková únosnost
- není nutná nadezdívka
- podepření v montážním stavu není předepsáno
- překlad má stejnou modulovou výšku jako cihly **Porotherm**
- jednoduché a časově úsporné použití
- u obvodových stěn možnost kombinace s tepelným izolantem
- ideální podklad pod omítku

### Technické údaje

Překlady **Porotherm KP 7** se vyrábějí z cihelných tvarovek tvořících podklad pod omítku a zároveň obálku pro železobetonovou nosnou část překladu.

Cihelné tvarovky	UZ 238/70
Beton třídy	C 25/30
Výztuž	KARI drát (W) BSt 500 A
Rozměry šxvx	70x238x1000 až 3500 mm
Hmotnost na jednotku plochy	137 až 151 kg/m <sup>2</sup>
Hmotnost	cca 35 kg/m
Součinitel tepelné vodivosti	$\lambda_{\text{eq}} = 1,00 \text{ W/(m}\cdot\text{K)}$

### Technické označení

PTH KP 7 - 100 až 350

### Minimální délka uložení

- pro všechny druhy cihel **Porotherm**
- do délky 1 750 mm 125 mm
  - délky 2 000 a 2 250 mm 200 mm
  - 2500 mm a delší 250 mm

### Požární odolnost

Reakce na oheň: A1 – nehořlavé

### Požární odolnost

- neomítnutých překladů: R 60 DP1
  - omítnutých překladů: R 60 DP1
- (ČSN EN 13501-2, ČSN EN 1365-3, ČSN 73 0810)

### Statické údaje

Délka mm	Uložení mm	Světlost mm	$Q_u$ kN	$M_u$ kNm
1000	125	750	14,7	1,62
1250		1000	14,5	3,06
1500		1250	14,5	3,06
1750		1500	14,4	4,84
2000	200	1600	14,3	4,84
2250		1850	14,2	5,81
2500		2000	14,2	5,81
2750		2250	14,2	7,83
3000	250	2500	14,2	7,83
3250		2750	14,2	7,83
3500		3000	14,2	7,83

Délka mm	Zatížení $q_u$ ①	Zatížení - $q_u$ ②	kombinace $q_u$ ③	$q_u$ ④
1000	16,7	33,5	50,3	67,0
1250	19,2	38,4	57,6	76,8
1500	12,7	25,4	38,1	50,8
1750	14,4	28,8	43,2	57,6
2000	12,7	25,5	38,2	50,9
2250	11,6	23,2	34,9	46,5
2500	10,0	20,0	30,0	40,0
2750	10,1	20,3	30,4	40,6
3000	7,6	15,2	22,9	30,5
3250	5,7	11,4	17,1	22,8
3500	4,3	8,7	13,0	17,3

$q_u$  – maximální hodnota extrémního spojitého rovnoměrného zatížení (mimo vlastní hmotnost), kterým lze přitížit jeden metr běžný překladu (kN/m)

$Q_u$  – přípustná posouvající síla od extrémního zatížení připadající na jeden překlad (kN)

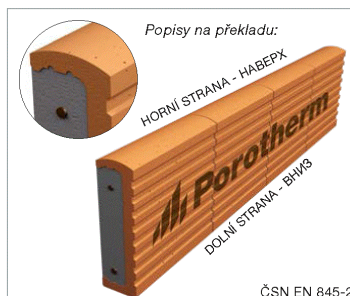
$M_u$  – přípustný ohybový moment od extrémního zatížení připadající na jeden překlad (kNm)

### Způsob zabudování (montáž)

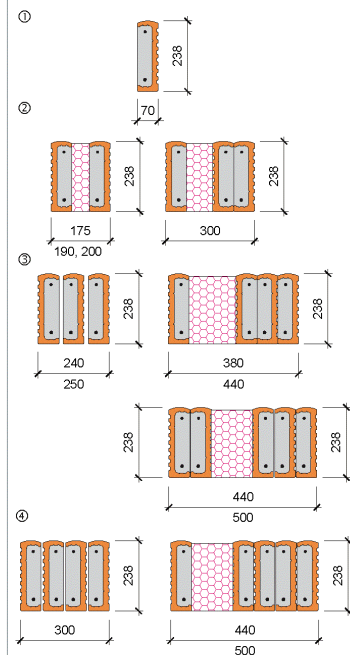
Překlady **Porotherm KP 7** se osazují na výšku, svojí rovnou stranou do lože z cementové malty (oblohu stranou nahoru!) a u líce obou podpor se k sobě zafixují měkkým (rádlovacím) drátem proti překlopení. Při správném osazení je na dolním líci překladu vidět nápis „DOLNÍ STRANA - BH13“. V případě možnosti použití zdvihacího prostředku je výhodnější požadovanou kombinaci překladů (u obvodového zdiva i s izolantem) sestavit na podlaže, srádlavat dostatečně nosným drátem, za tento drát zdvihnout a osadit na zeď do předem připraveného maltového lože. Pro přesnější usazení se doporučuje používat dřevěné klínky.

### Dodávka


Překlady **Porotherm KP 7** jsou dodávány po 20ti kusech na nevratných dřevěných hranolech rozměrů 75x75x960 mm a jsou sepnuté paletovací páskou.



Překlady všech délek jsou opatřeny smykovou výztuží



Změny technických údajů vyhrazeny. Odkaz na způsob zabudování (zdění) se rozumí jako doporučení výrobce; toto vychází ze současného stavu našich poznatků ověřených v praxi. Vydáním tohoto informačního listu ztrácí všechny předchozí svou platnost.

 member of winning group	Dětská skupina Písníky Břeclav	DÚR+DSP
	Statický výpočet	

### 5.6.1. Posouzení překladi

Překlad			
<b>průřez</b>			
h =	0,85 m	b =	0,25 m
l =	2,7 m	A <sub>c</sub> =	0,19 m <sup>2</sup>
<b>dolní výztuž</b>		A <sub>s</sub> =	0,000462 m <sup>2</sup>
R =	14 mm	počet	3 ks
c =	35 mm	f <sub>yk</sub> =	500 MPa
<b>horní výztuž</b>		A <sub>s</sub> =	0,000462 m <sup>2</sup>
R =	14 mm	počet	3 ks
<b>smyková výztuž</b>		A <sub>sw</sub> =	0,000100531 m <sup>2</sup>
R =	8 mm	počet	2 ks
cotg θ =	1	s	200 mm
<b>beton</b>		f <sub>yk</sub> =	500 MPa
f <sub>ck</sub> =	25 MPa	f <sub>cd</sub> =	16666666,67 Pa
f <sub>ctm</sub> =	2,6 MPa	α <sub>cc</sub> =	1
<b>vnitřní síly</b>		E <sub>cm</sub> =	3,00E+10 Pa
M <sub>ed</sub> =	100 kNm	M <sub>ek</sub> =	85,00 kNm
V <sub>ed</sub> =	160 kN	M <sub>ek,ψ2</sub> =	70,00 kNm

Posouzení na mezní stav únosnosti			
d =	0,800 m	x =	0,0000 m
d <sub>2</sub> =	0,050 m	využití	0,664 %
A <sub>s,min</sub> =	0,0002873 m <sup>2</sup>	Platí	ξ <sub>bal,1</sub> = 0,617
A <sub>s,max</sub> =	0,0085 m <sup>2</sup>	Platí	ξ <sub>bal,2</sub> = 2,639
<b>M<sub>rd</sub> = 150,6 kNm</b>		<b>M<sub>ed</sub> = 100,0 kNm</b>	
		<b>Platí</b>	
V <sub>rd,c</sub> =	48,0 kN	V <sub>rd,s</sub> =	174,8 kN
V <sub>rd</sub> =	222,8 kN	V <sub>ed</sub> =	160 kN
		<b>Platí</b>	

Posouzení na mezní stav použitelnosti					
Omezení napětí					
σ <sub>c</sub> =		6,98 MPa		Platí	
σ <sub>s</sub> =		243,10 MPa		Platí	
Mezní stav trhlin		- průřez je bez trhlin			
k <sub>2</sub> = 0,5		k <sub>3</sub> = 3,4		k <sub>1</sub> = 0,8	
k <sub>4</sub> = 0,425		k <sub>t</sub> = 0,4			
w <sub>k</sub> = 0,232 mm		<		w <sub>max</sub> = 0,3 mm	
		Platí			
Mezní stav přetvoření		l/d = 3,4 < 20			
ρ = 0,23 %		(dle ČSN EN 1992-1-1)			
Není třeba počítat konstrukci na mezní stav přetvoření					

## 5.7. Základová deska

### Navržené parametry

- beton C25/30
- krytí c = 35 mm (vše)
- třída prostředí: XC2 (vše)
- šířka trhlin  $w_k = 0,3$  mm (vše)

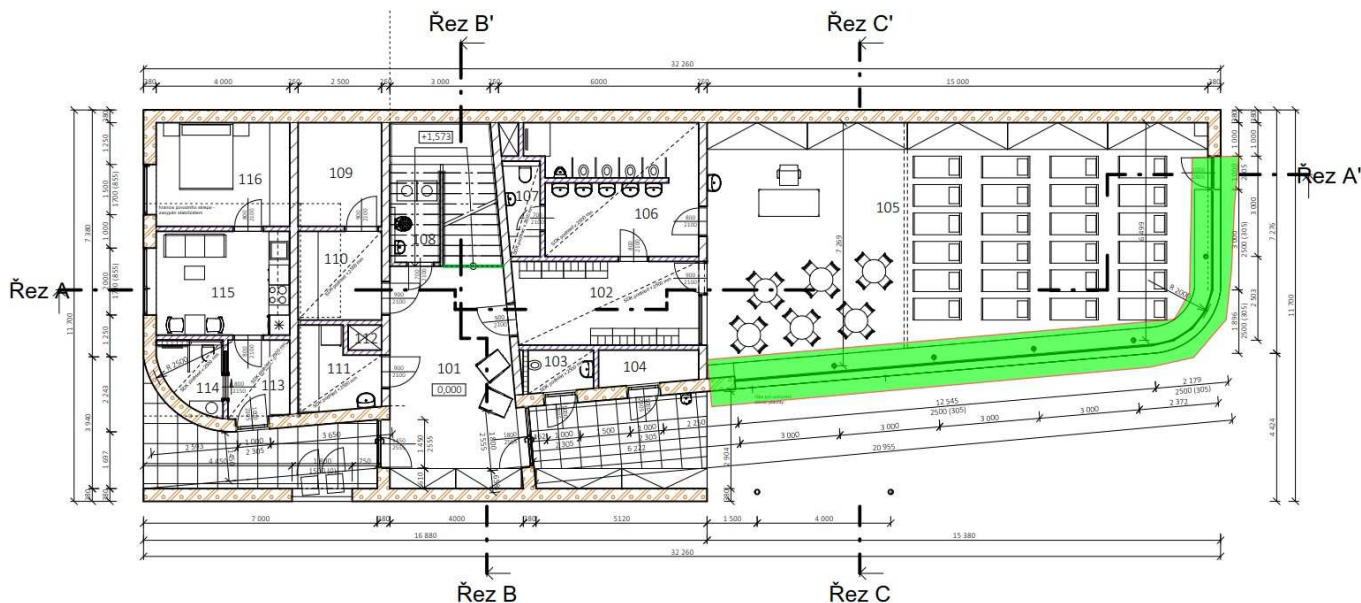
### Základová deska

- tl. desky = 300 mm
- základní výztuž  $\varnothing 12/200$  (vše)

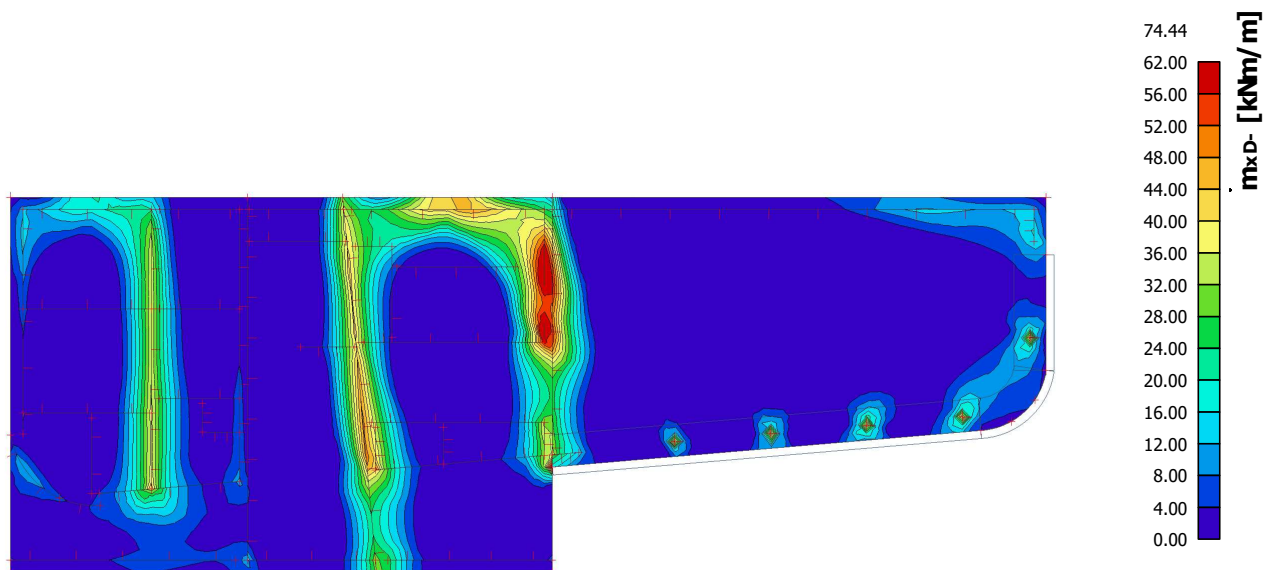
### Základové pasy pod linií ocelových sloupků

- výpočtová šířka pasu = 500 mm
- výpočtová výška pasu = 500 mm
- základní výztuž  $3\varnothing 12$  (dolní a horní povrch) + třmínky  $\varnothing 6/200$

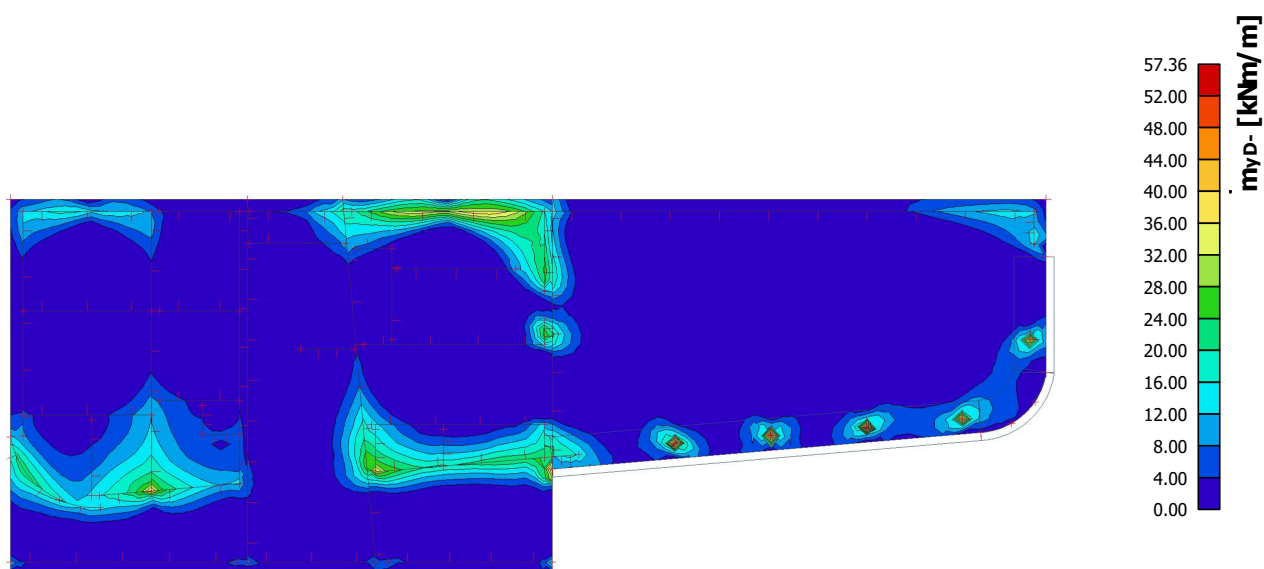
### 5.7.1. Pozice základového pasu



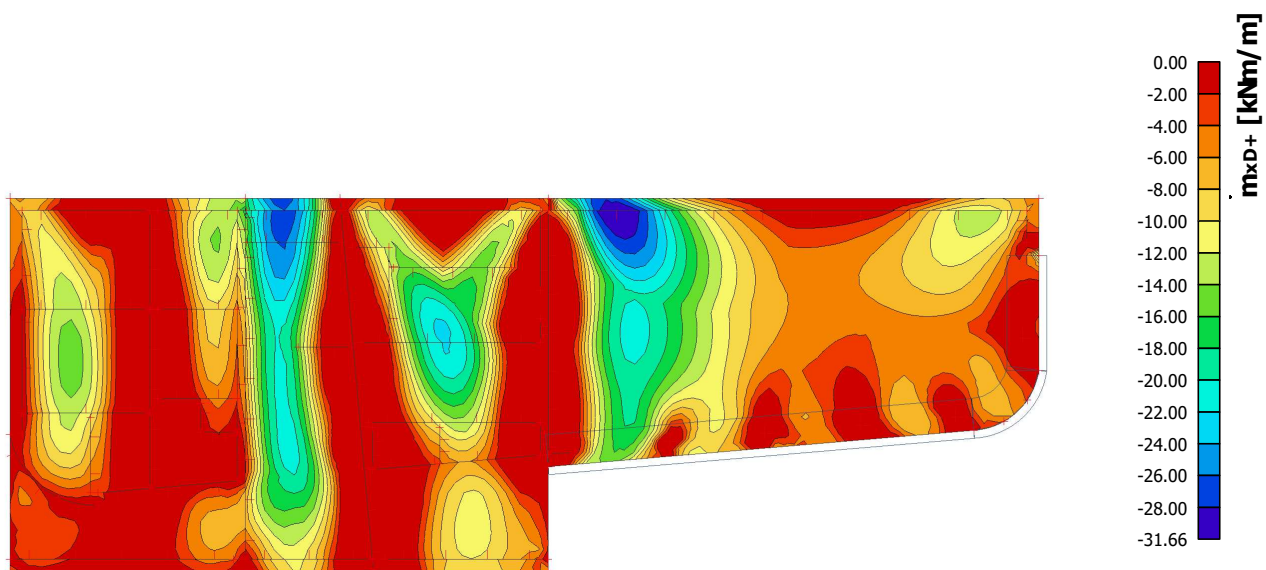
### 5.7.2. 2D vnitřní síly; $m_{xD}$ -



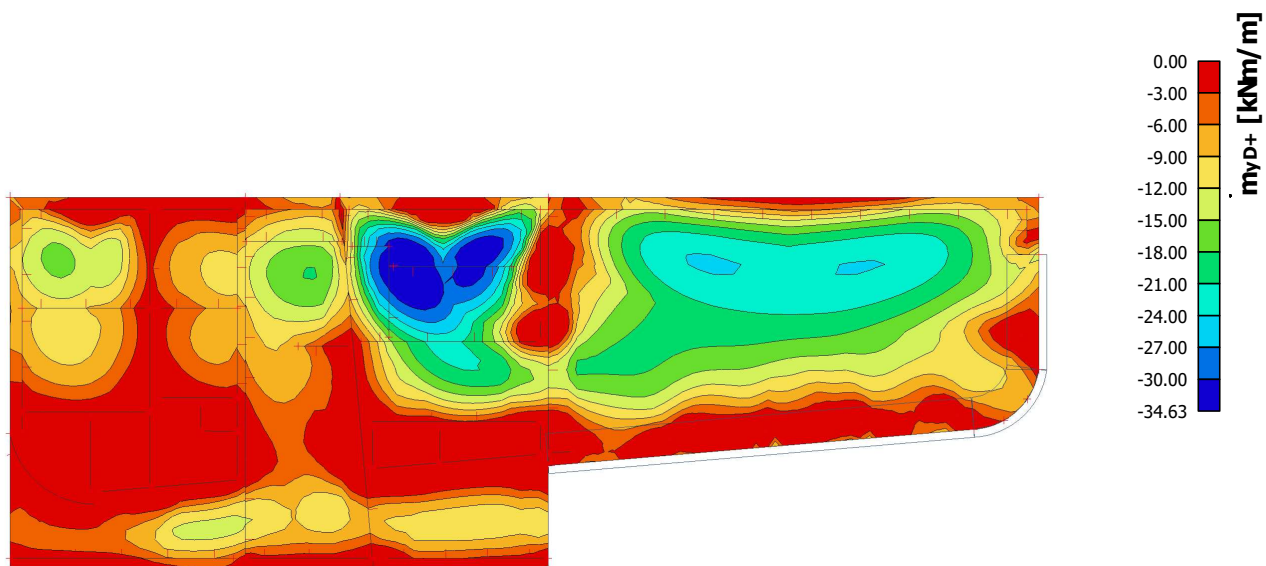
### 5.7.3. 2D vnitřní síly; $m_{yD}$ -



#### 5.7.4. 2D vnitřní síly; $m_{xD+}$

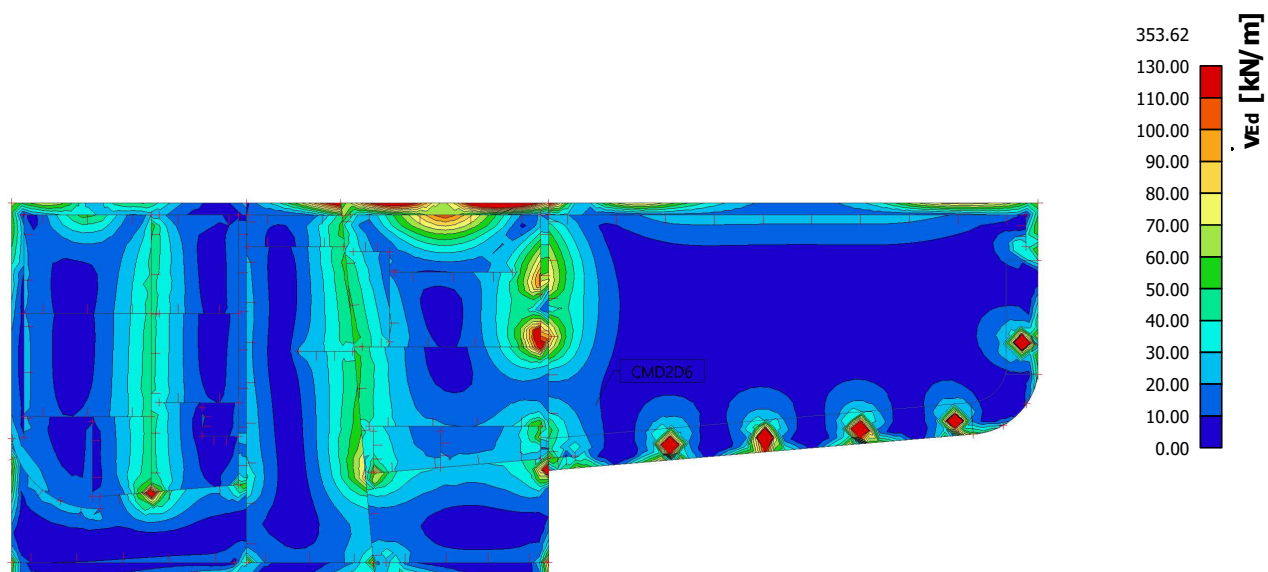


#### 5.7.5. 2D vnitřní síly; $m_{yD+}$

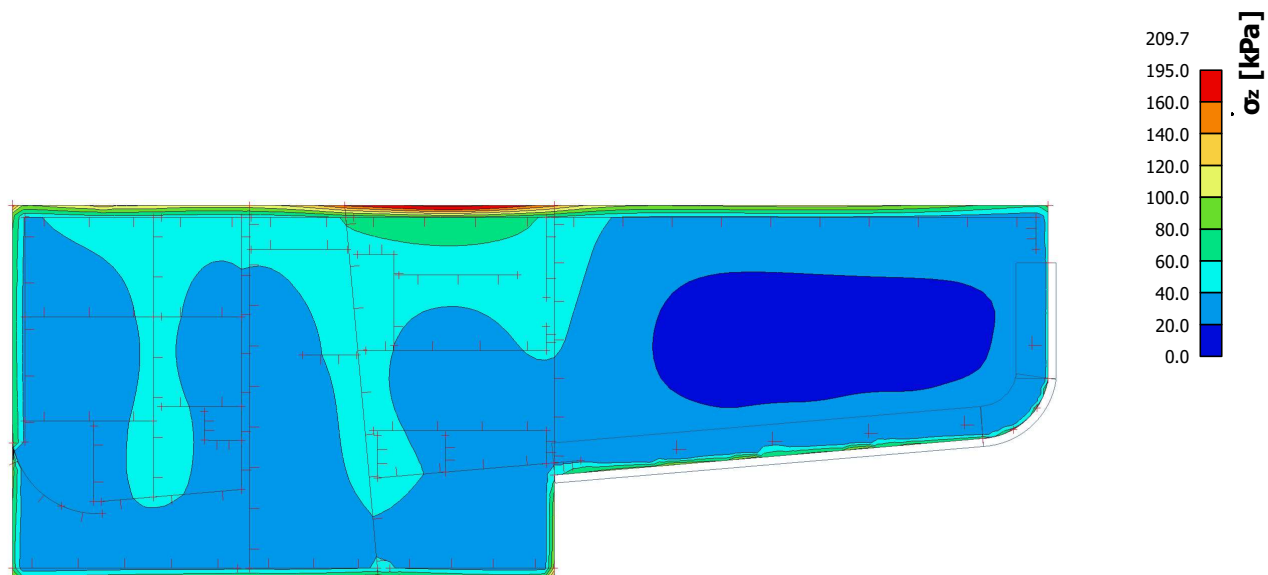




### 5.7.6. Vnitřní síly 2D; vEd



### 5.7.7. 2D kontaktní napětí; $\sigma_z$





## 5.7.8. Posouzení základové desky

Základová deska		Tabulkové posouzení MSÚ + MSP		winningsteel	
<b>Geometrie</b>		<b>Moment na trhlínu</b>			
b (mm)	1000 šířka průřezu	M <sub>yk</sub> * (kNm)	17 horní povrch		
h (mm)	300 výška průřezu	M <sub>yk</sub> * (kNm)	41 spodní povrch		
<b>Beton</b>					
f <sub>yk</sub> (MPa)	25 pevnost bet. v tlaku charakteristická				
f <sub>ctd</sub> (MPa)	16,7 pevnost bet. v tlaku výpočtová				
f <sub>td</sub> (MPa)	2,60 pevnost bet. v tahu				
E <sub>c</sub> (GPa)	31 modul pružnosti betonu				
<b>Výztuž</b>					
f <sub>yk</sub> (MPa)	500 mez kluzu charakteristická				
f <sub>ytd</sub> (MPa)	435 mez kluzu výpočtová				
ξ <sub>bal</sub> (-)	0,617 mezní poměrné přetvoření				
E <sub>s</sub> (GPa)	200 modul pružnosti výztuže				
α (-)	6,45 poměr modulů pružnosti				
<b>Prostředí</b>					
c <sub>top</sub> (mm) horní	35 horní povrch				
Třída prostředí horní	XC2				
w <sub>k,lim</sub> (mm)	0,30 limitní šířka trhliny				
c <sub>bot</sub> (mm) spodní	35 spodní povrch				
Třída prostředí spodní	XC2				
w <sub>k,lim</sub> (mm)	0,30 limitní šířka trhliny				
σ <sub>s,lim</sub> (MPa)	15,00 limitní napětí v tlaceném betonu (0,6*f <sub>ctd</sub> ) pro zamezení vzniku přičných tlakových trhlin pro stupně vlivu prostředí XD, XF, XS				
σ <sub>s,lim</sub> (MPa)	400 limitní napětí v taženém výztuži (0,8*f <sub>yk</sub> )				
A <sub>s,min</sub> (mm <sup>2</sup> /bm)	338 minimální plocha výztuže na běžný metr dle konstrukčních zásad EC				
A <sub>s,max</sub> (mm <sup>2</sup> /bm)	12 000 maximální plocha výztuže na běžný metr dle konstrukčních zásad EC				
<b>Tabulkové hodnoty únosnosti pro výše uvedené zadání</b>					
M <sub>ed</sub> (kNm)	hodnota únosnosti v ohybu pro MSÚ pro výše uvedené zadání				
M <sub>ed,eff</sub> (kNm)	maximální únosnost, aby bylo splněno výše stanovené limitní napětí v tlaceném betonu a v taženém výztuži				
w <sub>k</sub> (mm)	maximální šířka trhliny při kvazistálém momentu				
V <sub>ed,max</sub> (kN/m)	maximální únosnost betonu ve smyku na lici podpory				
V <sub>ed,c</sub> (kN/m)	únosnost betonu ve smyku se zohledněním stupně vyztužení				
V <sub>ed</sub> (kN/m)	minimální únosnost betonu ve smyku bez zohlednění stupně vyztužení				

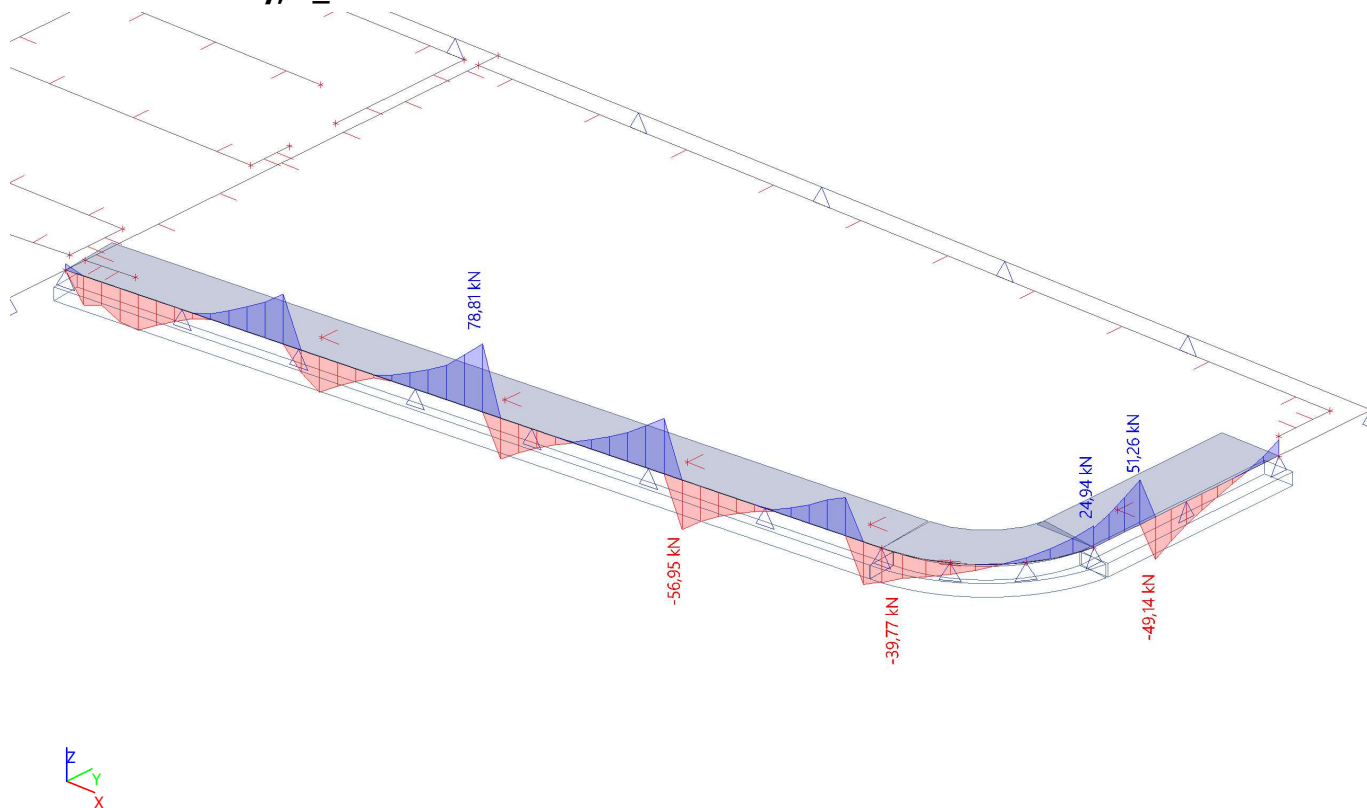
\*----- Tah v horních vláknách desky -----\*

$M_{ed} / M_{ed,eff} / w_k$ (mm)				$s$ (mm) = osová vzdálenost výztuže																				
$\phi$ (mm)	50				100				150				200				250				300			
8	108	95	0,05	56	50	0,15	37	34	0,29	28	25	0,49	23	20	0,74	19	17	1,05						
10	163	113	0,03	85	77	0,08	58	52	0,16	43	39	0,26	35	31	0,39	29	26	0,55						
12	226	129	0,02	120	99	0,05	82	73	0,10	62	56	0,16	50	45	0,24	42	37	0,33						
14	291	144	0,01	159	111	0,03	109	94	0,06	83	75	0,10	67	60	0,15	56	50	0,21						
16	357	157	0,01	202	122	0,02	140	104	0,05	107	93	0,07	86	78	0,11	72	65	0,15						
18	0	0	0,00	246	133	0,02	172	114	0,03	132	102	0,05	107	93	0,08	90	81	0,11						
20	0	0	0,00	292	142	0,01	207	123	0,03	160	110	0,04	130	100	0,06	110	93	0,08						
22	0	0	0,00	338	151	0,01	243	131	0,02	189	117	0,03	155	108	0,05	131	100	0,06						
25	0	0	0,00	0	0	0,00	298	142	0,01	235	128	0,02	194	118	0,03	164	110	0,04						
28	0	0	0,00	0	0	0,00	352	152	0,01	282	137	0,02	234	127	0,02	200	118	0,03						
32	0	0	0,00	0	0	0,00	0	0	0,00	344	149	0,01	289	138	0,02	249	129	0,02						
$V_{ed,max} / V_{ed,c} / V_{ed,c}$ (kN/m)				$s$ (mm) = osová vzdálenost výztuže																				
$\phi$ (mm)	50				100				150				200				250				300			
8	940	125	117	940	99	117	940	87	117	940	79	117	940	73	117	940	69	117						
10	936	145	117	936	115	117	936	100	117	936	91	117	936	85	117	936	80	117						
12	932	163	117	932	130	117	932	113	117	932	103	117	932	95	117	932	90	117						
14	929	181	116	929	143	116	929	125	116	929	114	116	929	106	116	929	99	116						
16	925	197	116	925	156	116	925	137	116	925	124	116	925	115	116	925	108	116						
18	922	213	116	922	169	116	922	148	116	922	134	116	922	124	116	922	117	116						
20	918	228	116	918	181	116	918	158	116	918	144	116	918	133	116	918	125	116						
22	914	242	115	914	192	115	914	168	115	914	153	115	914	142	115	914	133	115						
25	909	263	115	909	209	115	909	183	115	909	166	115	909	154	115	909	145	115						
28	904	283	114	904	225	114	904	196	114	904	178	114	904	166	114	904	156	114						
32	896	308	114	896	245	114	896	214	114	896	194	114	896	180	114	896	170	114						

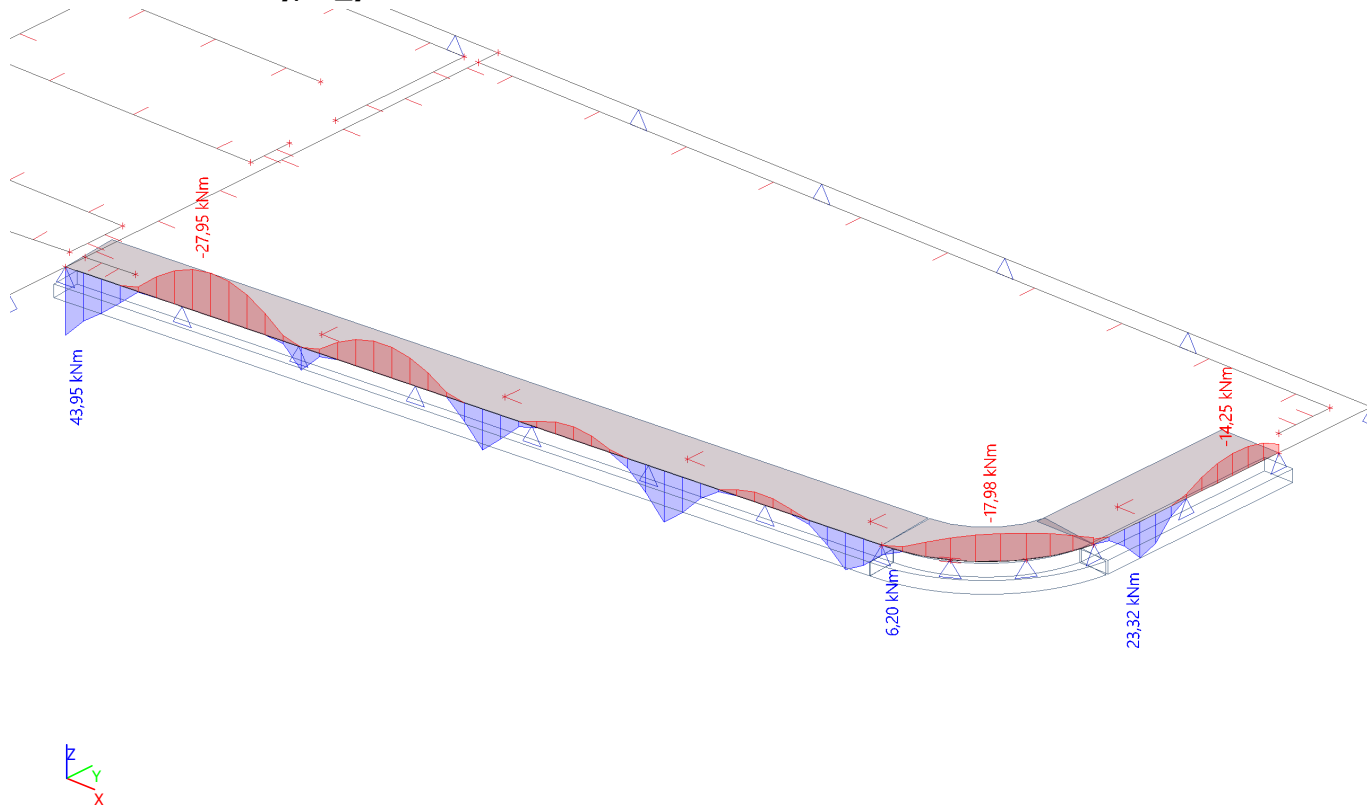
\*----- Tah ve spodních vláknách desky -----\*


$M_{ed} / M_{ed,eff} / w_k$ (mm)		$s$ (mm) = osová vzdálenost výztuže																							
$\phi$ (mm)		50				100				150				200				250				300			
8	108	95	0,12	56	50	0,35	37	34	0,71	28	25	1,19	23	20	1,79	19	17	2,52							
10	163	113	0,07	85	77	0,19	58	52	0,38	43	39	0,63	35	31	0,95	29	26	1,33							
12	226	129	0,04	120	99	0,12	82	73	0,23	62	56	0,38	50	45	0,37	42	37	0,79							
14	291	144	0,03	159	111	0,08	109	94	0,15	83	75	0,25	67	60	0,37	56	50	0,51							
16	357	157	0,02	202	122	0,06	140	104	0,11	107	93	0,18	86	78	0,26	72	65	0,35							
18	0	0	0,00	246	133	0,04	172	114	0,08	132	102	0,13	107	93	0,19	90	81	0,26							
20	0	0	0,00	292	142	0,03	207	123	0,06	160	110	0,10	130	100	0,14	110	93	0,19							
22	0	0	0,00	338	151	0,03	243	131	0,05	189	117	0,08	155	108	0,11	131	100	0,15							
25	0	0	0,00	0	0	0,00	298	142	0,04	235	128	0,05	194	118	0,08	164	110	0,11							
28	0	0	0,00	0	0	0,00	352	152	0,03	282	137	0,04	234	127	0,06	200	118	0,08							
32	0	0	0,00	0	0	0,00	0	0	0,00	344	149	0,03	289	138	0,04	249	129	0,06							
$V_{ed,max} / V_{ed,c} / V_{ed,c}$ (kN/m)		$s$ (mm) = osová vzdálenost výztuže																							
$\phi$ (mm)		50				100				150				200				250				300			
8	940	125	117	940	99	117	940	87	117	940	79	117	940	73	117	940	69	117							
10	936	145	117	936	115	117	936	100	117	936	91	117	936	85	117	936	80	117							
12	932	163	117	932	130	117	932	113	117	932	103	117	932	95	117	932	90	117							
14	929	181	116	929	143	116	929	125	116	929	114	116	929	106	116	929	99	116							
16	925	197	116	925	156	116	925	137	116	925	124	116	925	115	116	925	108	116							
18	922	213	116	922	169	116	922	148	116	922	134	116	922	124	116	922	117	116							
20	918	228	116	918	181	116	918	158	116	918	144	116	918	133	116	918	125	116							
22	914	242	115	914	192	115	914	168	115	914	153	115	914	142	115	914	133	115							
25	909	263	115	909	209	115	909	183	115	909	166	115	909	154	115	909	145	115							
28	904	283	114	904	225	114	904	196	114	904	178	114	904	166	114	904	156	114							
32	896	308	114	896	245	114	896	214	114	896	194	114	896	180	114	896	170	114							

### 5.7.9. 1D vnitřní síly; $V_z$



### 5.7.10. 1D vnitřní síly; $M_y$



	Dětská skupina Písníky Břeclav	DÚR+DSP
	Statický výpočet	

### 5.7.11. Posouzení základového pasu

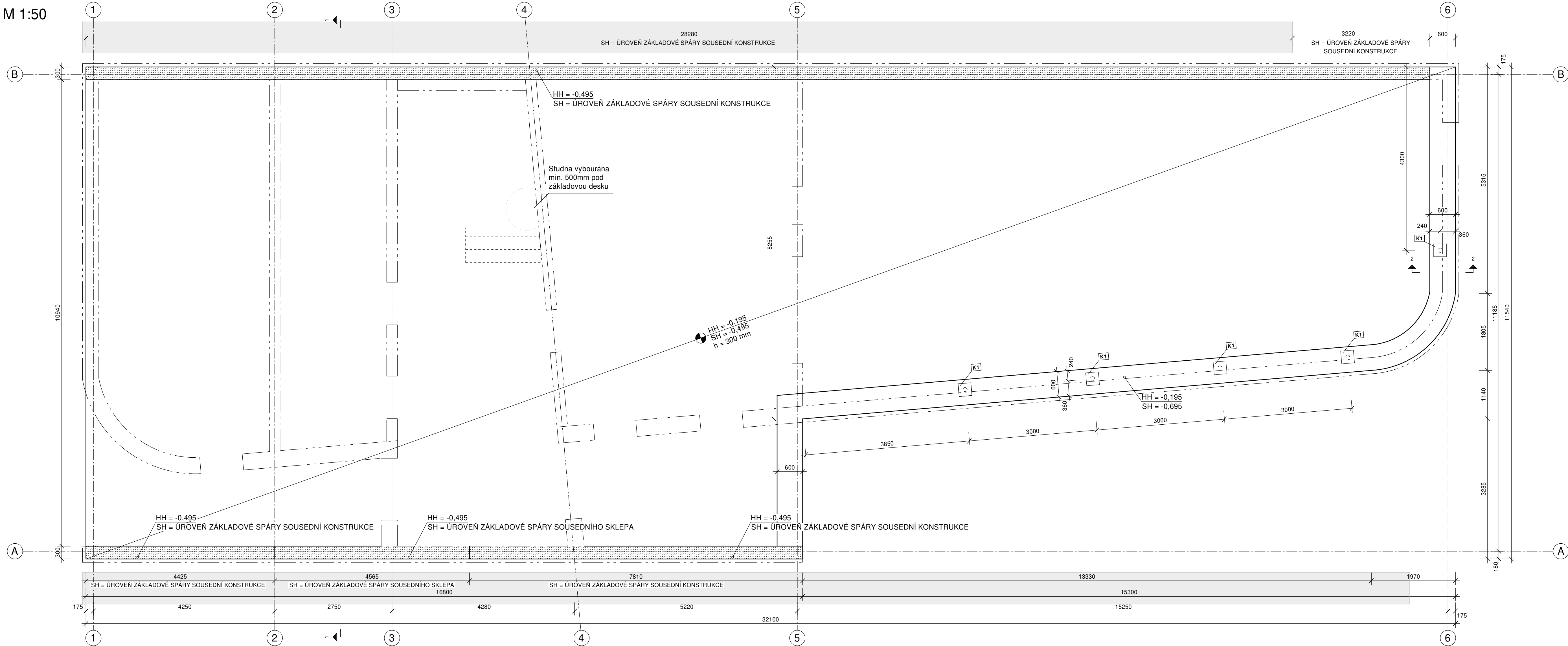
Základový pas			
<b>průřez</b>			
h =	0,5 m	b =	0,5 m
l =	3,3 m	A <sub>c</sub> =	0,19 m <sup>2</sup>
<b>dolní výztuž</b>		A <sub>s</sub> =	0,000339 m <sup>2</sup>
R =	12 mm	počet	3 ks
c =	35 mm	f <sub>yk</sub> =	500 MPa
<b>horní výztuž</b>		A <sub>s</sub> =	0,000339 m <sup>2</sup>
R =	12 mm	počet	3 ks
<b>smyková výztuž</b>		A <sub>sw</sub> =	5,65487E-05 m <sup>2</sup>
R =	6 mm	počet	2 ks
cotg θ =	1	s	200 mm
<b>beton</b>		f <sub>yk</sub> =	500 MPa
f <sub>ck</sub> =	25 MPa	f <sub>cd</sub> =	16666666,67 Pa
f <sub>ctm</sub> =	2,6 MPa	α <sub>cc</sub> =	1
<b>vnitřní síly</b>		E <sub>cm</sub> =	3,00E+10 Pa
M <sub>ed</sub> =	45 kNm	M <sub>ek</sub> =	35,00 kNm
V <sub>ed</sub> =	80 kN	M <sub>ek,ψ2</sub> =	30,00 kNm

Posouzení na mezní stav únosnosti			
d =	0,453 m	x =	0,0000 m
d <sub>2</sub> =	0,047 m	využití	0,751 %
A <sub>s,min</sub> =	0,000338 m <sup>2</sup>	Platí	ξ <sub>bal,1</sub> = 0,617
A <sub>s,max</sub> =	0,01 m <sup>2</sup>	Platí	ξ <sub>bal,2</sub> = 2,639
<b>M<sub>rd</sub> = 59,9 kNm</b>		<b>M<sub>ed</sub> = 45,0 kNm</b>	
		<b>Platí</b>	
V <sub>rd,c</sub> =	32,9 kN	V <sub>rd,s</sub> =	55,7 kN
V <sub>rd</sub> =	88,6 kN	V <sub>ed</sub> =	80 kN
		<b>&gt; Platí</b>	

Posouzení na mezní stav použitelnosti					
Omezení napětí					
σ <sub>c</sub> =		5,42 MPa	Platí	σ <sub>s</sub> = 238,17 MPa Platí	
Mezní stav trhlin			- průřez je bez trhlin		
k <sub>2</sub> = 0,5		k <sub>3</sub> = 3,4	k <sub>4</sub> = 0,425		k <sub>1</sub> = 0,8
w <sub>k</sub> = 0,121 mm		<	w <sub>max</sub> = 0,3 mm		k <sub>t</sub> = 0,4
Platí					
Mezní stav přetvoření			l/d = 7,3 < 20		
			ρ = 0,15 % (dle ČSN EN 1992-1-1)		
Není třeba počítat konstrukci na mezní stav přetvoření					

VÝKRES TVARU  
ZÁKLADY

M 1:50



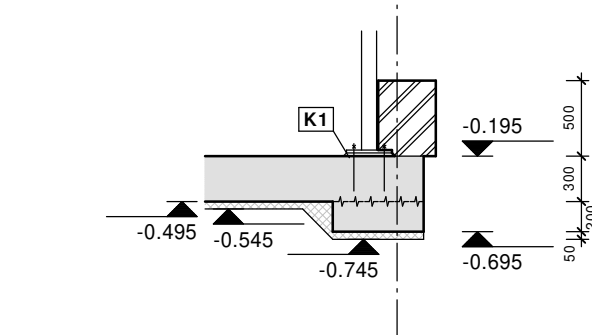
Řez 1-1

M 1:50



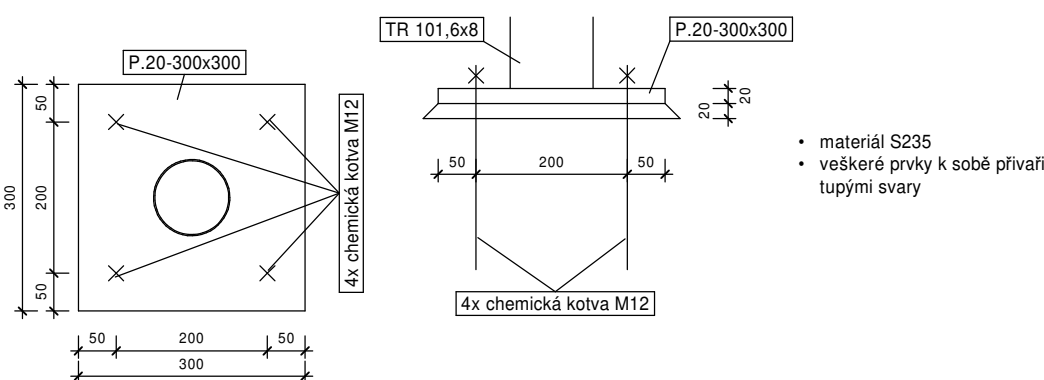
Řez 2-2

M 1:50



VÝKAZ ZABUDOVANÝCH KOTEVNÍCH PRVKŮ

Typ	Označení	Počet (ks)
K1	Patní plech P.20-300x300, podliti cementovou maltou 20mm, 4x chemická kotva M12	5x



TABULKA KRYTÍ

Konstrukce	Beton	Povrch	Třída prostředí	Krytí
ŽB základová deska	C25/30	horní	XC2	35 mm
		spodní	XC2	35 mm
ŽB základový pas	C25/30	horní	XC2	35 mm
		spodní	XC2	35 mm
Vyrovňovací pas	C20/25	vše	XC2	-
Podkladní beton	C12/15	vše	X0	-

Pokud není uvedeno v půdorysu jinak, platí výše uvedená tabulka!

- Navazující nosné konstrukce v podlaží nad
- Změna horní hrany stropní desky
- Nenosné betonové stěny
- Nosné zdivo z keramických tvarovek tl. 380 mm, P10, M5
- Železobeton v řezu

OCEL: S235

VÝZTUŽ: B500B

VYSVĚTLIVKY

HH = výšková úroveň horní hrany nosné konstrukce

SH = výšková úroveň spodní hrany nosné konstrukce

----- pracovní spára

POZNÁMKY:

- V projektu jsou zapracovány požadavky na stavební úpravy jednotlivých profesí (prostupy, drážky, ...) známe v době vydání projektové dokumentace. Případné změny je nutno konzultovat se statikem.

- Před realizací prostupů nosnými konstrukcemi je nutná jejich přebírka od generálního projektanta (Livingstav s.r.o.), případně zástupce dané profese pro odsouhlasení poloh a výšek. O přebírce prostupů bude proveden zápis do stavebního deníku!
- Půdorysně v místě sousedních objektů budou pod základovou deskou navrženy základové pasy s prostého betonu do takové hloubky, aby byly základové spáry ve shodných výškových úrovních. V úrovni sousední podlahy 1.NP je nutné montážně zajistit stabilitu sousedních konstrukcí rozpažením výkopu.
- Na železobetonové konstrukce nejsou kladeny požadavky na pohledovost.
- Veškeré nosné konstrukce musí být realizovány prováděcí firmou, která má zkušenosti s prováděním obdobných staveb.
- V průběhu celé stavby bude přítomen odborný dozor (stavbyvedoucí).
- Základová spára hutněna min. na hodnotu Edef = 40 MPa.

winningsteel

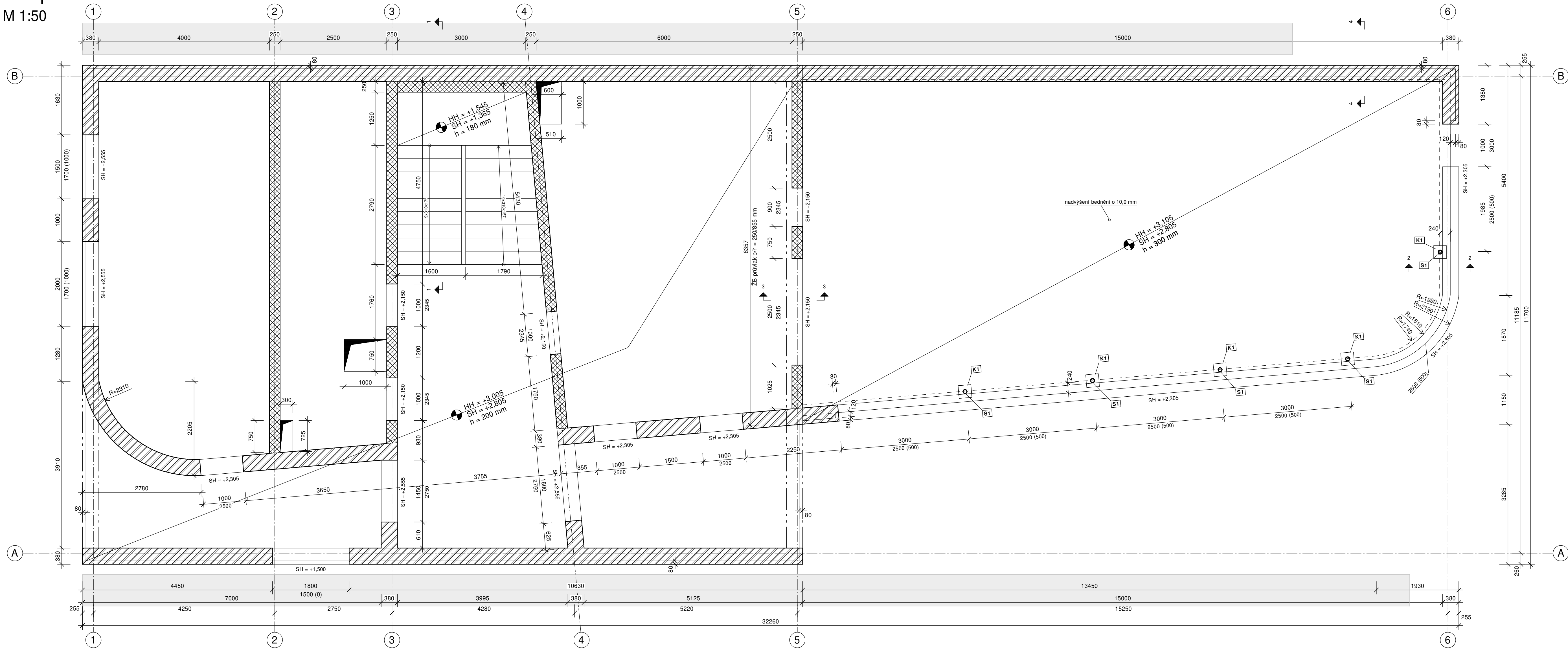
autorizační razítko	pare	revize	
±0,000 = 160,850			
autorizovaný projektant Ing. Jitka Vítková	autor projektu Ing. Klara Konečná	vypracoval(a) Ing. Tomáš Suchomel Ing. Ivo Hasala	LIVINGSTAV Adresa: Hrádky 407/138a, 603 00 Brno, www.livingstav.cz, info@livingstav.cz, +420 608 314 100 (Dělní - plyn)
investor Město Břeclav, Náměstí T.G.Masaryka 42/3, 690 02 Břeclav	Plánky 1745/30, 690 03 Břeclav; k.ú. Břeclav, parc. č. st.1108 a 3865	Výkresy a dokumentace na stavbu vypracovány podle stavebního zákona a technických předpisů vztahujících se k této oblasti. Výkresy a dokumentace na stavbu vypracovány podle stavebního zákona a technických předpisů vztahujících se k této oblasti.	
místo stavby			
název akce	Dětská skupina Písníky Břeclav	stupeň	DÚR+DSP
stavební objekt	SO01 - Dětská skupina	číslo zakázky	L23 236
část projektu	D.1.2 - Stavebně-konstrukční řešení	datum	05/2024
název výkresu	Výkres tvaru - základy	formát	841x594
		měřítko	číslo výkresu
		1:50	D.1.2.03



VÝKRES TVARU

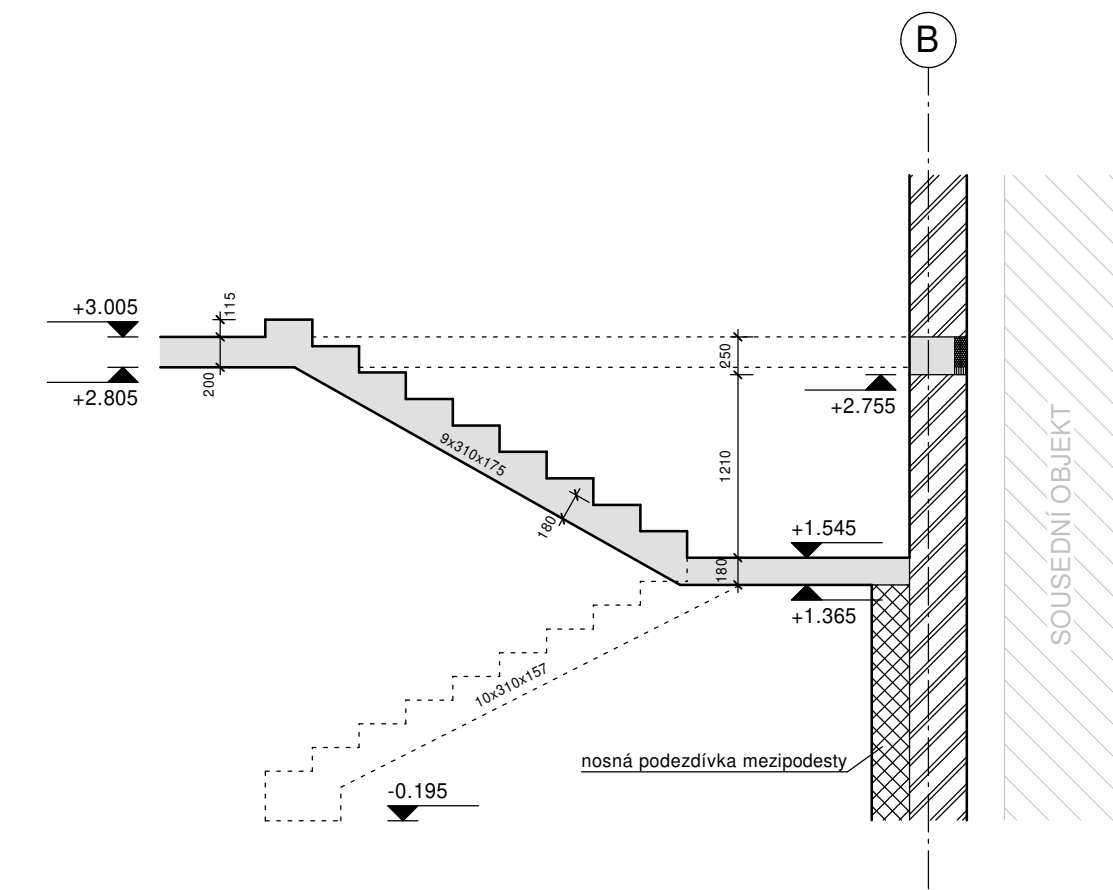
Strop nad 1.NP

M 1:50



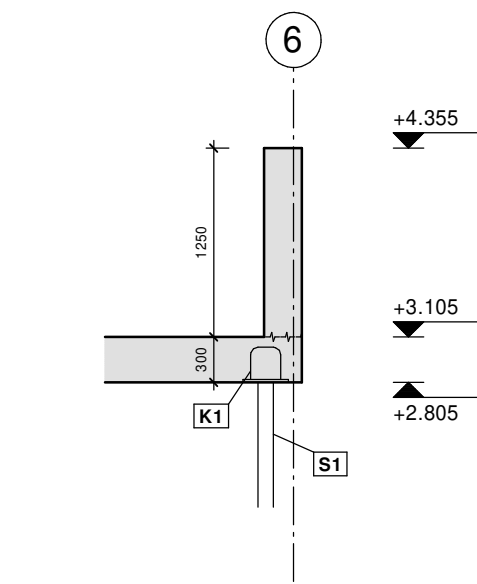
Řez 1-1

M 1:50



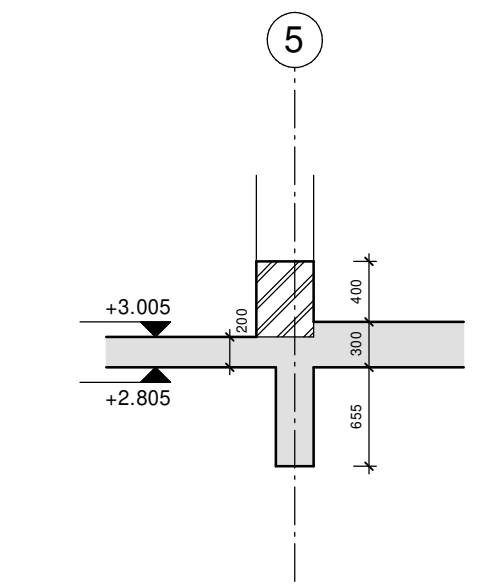
Řez 2-2

M 1:50



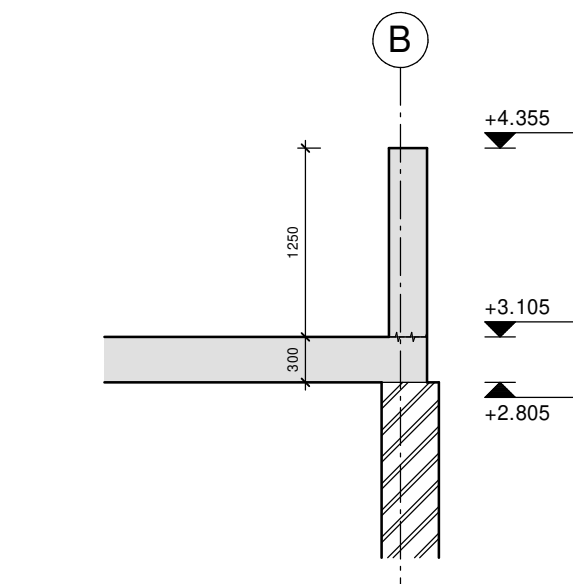
Řez 3-3

M 1:50



Řez 4-4

M 1:50



TABULKA KRYTÍ

Konstrukce	Beton	Povrch	Třída prostředí	Krytí
ŽB stropní deska	C25/30	interiér	XC1	35 mm
		exteriér	XC3/XF1	35 mm
Atika	C25/30	vše	XC3/XF1	35 mm
Překlady	C25/30	vše	XC1	35 mm
Schodiště	C25/30	vše	XC2	35 mm

Pokud není uvedeno v půdorysu jinak, platí výše uvedená tabulka!

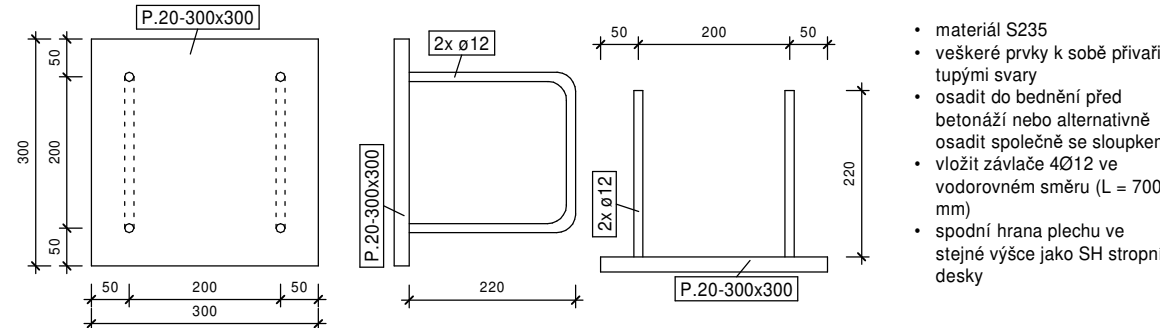
- Navazující nosné konstrukce v podlaží nad
- Změna horní hrany stropní desky
- Nosné zdivo z keramických tvarovek tl. 380 mm, P10, M5
- Nosné zdivo z keramických tvarovek tl. 250 mm, P10, M5
- Železobeton v řezu

- Před realizací prostupů nosnými konstrukcemi je nutná jejich přebírka od generálního projektanta (Livingstav s.r.o.), případně zástupce dané profese pro odsouhlasení poloh a výšek. O přebírce prostupů bude proveden zápis do stavebního deníku! Ocelové sloupky v 1.NP budou opatřeny protipožárním nátěrem pro dosažení požární odolnosti R15.
- Veškeré ocelové konstrukce budou opatřeny antikorozním nátěrem dle stupně agresivity prostředí C3.
- Na železobetonové konstrukce nejsou kladeny požadavky na pohledovost.
- V projektu definovaných místech je navrženo nadvýšení bednění (viz půdorys).
- Podstojkování stropní desky nad 1.NP může být odstraněno nejdříve po 28 dnech od vybetonování - během této doby musí být beton řádně ošetřován.
- Veškeré nosné konstrukce musí být realizovány prováděcí firmou, která má zkušenosti s prováděním obdobných staveb.
- V průběhu celé stavby bude přítomen odborný dozor (stavbyvedoucí).

winningsteel

VÝKAZ ZABUDOVANÝCH KOTEVNÍCH PRVKŮ

Typ	Označení	Počet (ks)
K1	Kotevní prvek ve stropní desce pro ocelové sloupky	5x



VÝKAZ OCELOVÝCH PROFILŮ

Typ	Označení	Počet (ks)
S1	TR Ø 101,6x8 - S235	5x

OCEL: S235

VÝZTUŽ: B500B

VYSVĚTLIVKY

HH = výšková úroveň horní hrany nosné konstrukce  
SH = výšková úroveň spodní hrany nosné konstrukce

++++ pracovní spára

POZNÁMKY:

- V projektu jsou zapracovány požadavky na stavební úpravy jednotlivých profesí (prostupy, drážky, ...) známé v době vydání projektové dokumentace. Případné změny je nutno konzultovat se statikem.

autorizační razítko	pare	revize
±0,000 = 160,850		

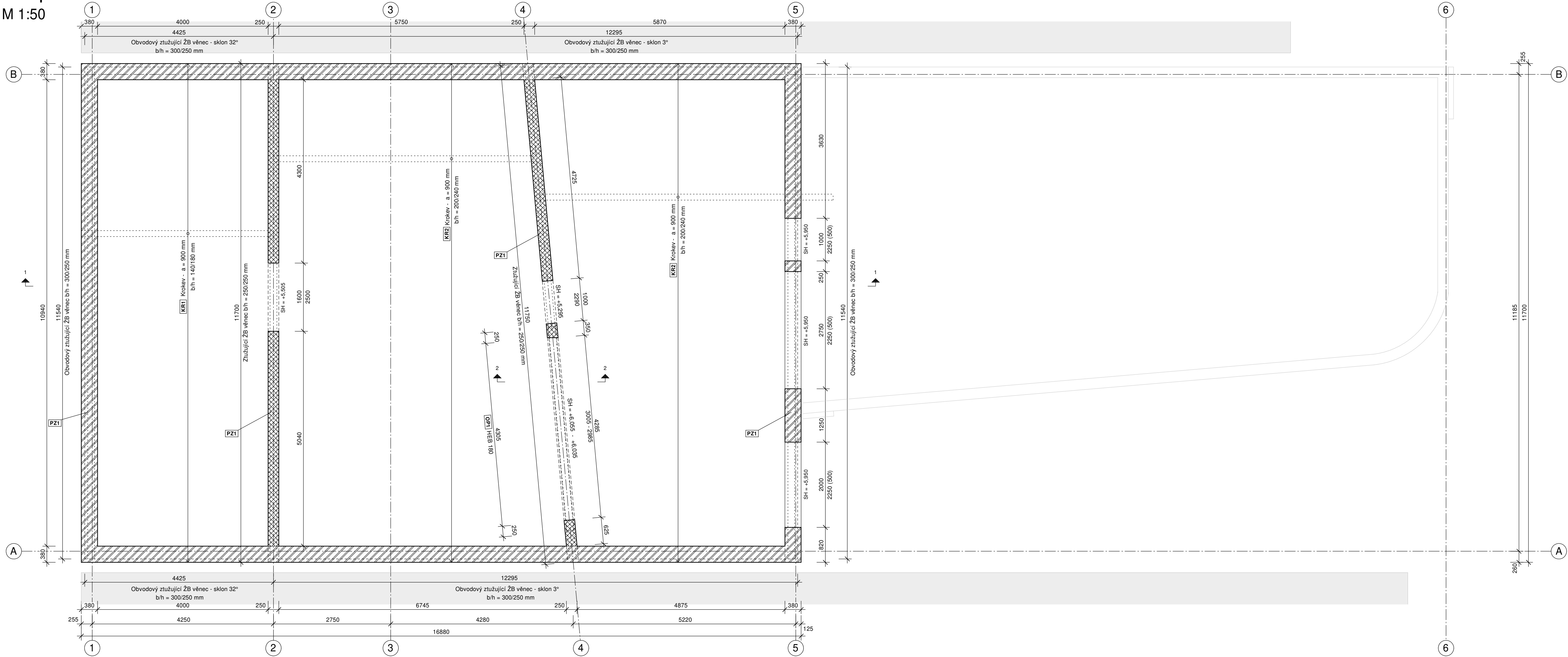
autorizovaný projektant Ing. Jitka Vítková	autor projektu Ing. Klara Konečná	vypracoval(a) Ing. Tomáš Suchomel Ing. Ivo Hasala	LIVINGSTAV Adresa: Hrádky 457/138a, 603 00 Brno, www.livingstav.cz, info@livingstav.cz, +420 608 314 100 (D 105 - p 105)
investor Město Břeclav, Náměstí T.G.Masaryka 42/3, 690 02 Břeclav	Příslušný územní úřad Příslušný územní úřad Příslušný územní úřad		
místo stavby Příslušný územní úřad Příslušný územní úřad			
název akce Dětská skupina Příslušný územní úřad		stupeň DÚR+DSP	
stavební objekt SO01 - Dětská skupina		datum 05/2024	
část projektu D.1.2 - Stavebně-konstrukční řešení		formát 841x594	
název výkresu Výkres tvaru - Strop nad 1.NP		měřítko 1:50	číslo výkresu D.1.2.04



VÝKRES TVARU

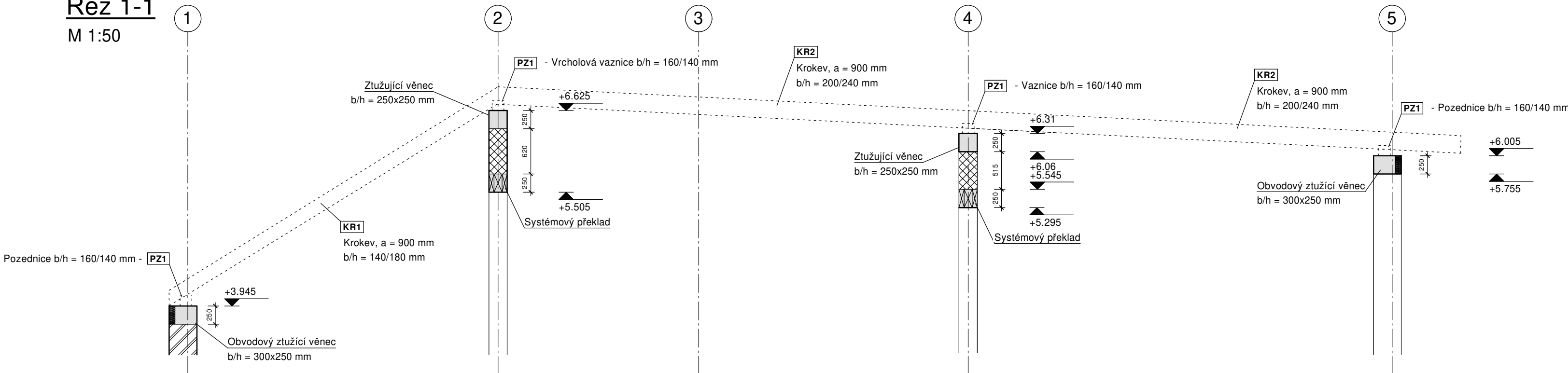
Strop nad 2.NP

M 1:50



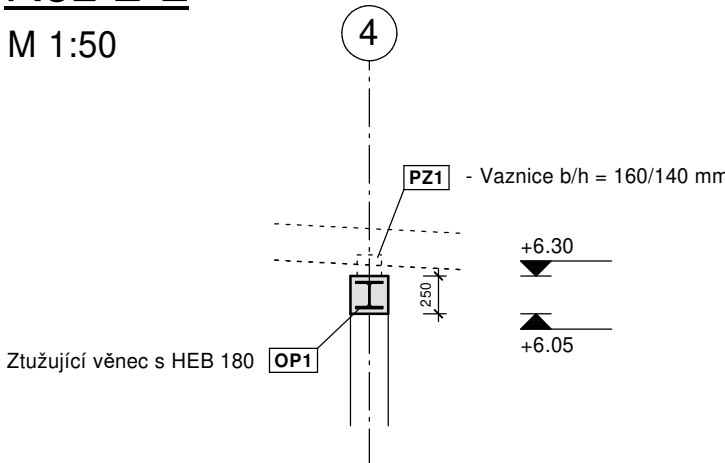
Řez 1-1

M 1:50



Řez 2-2

M 1:50



VÝKAZ ZABUDOVANÝCH OCELOVÝCH PRVKŮ

Typ	Označení	Počet (ks)
OP1	HEB 180, S235	1x

VÝKAZ ZABUDOVANÝCH DŘEVENÝCH PRVKŮ

Typ	Označení	Počet (ks)
KR1	b/h = 140/180, osová vzdálenost 900mm, C24, KVH	14x
KR2	b/h = 200/240, osová vzdálenost 900mm, C24, KVH	28x
PZ1	b/h = 140/160, C24, KVH; v osách 1, 2, 3, 4	-

Pozednice ukládat vždy na střed železobetonu

TABULKA KRYTÍ

Konstrukce	Beton	Povrch	Třída prostředí	Krytí
Průvlaky	C25/30	vše	XC1	35 mm
Věnce	C25/30	vše	XC3/XF1	35 mm

Pokud není uvedeno v půdorysu jinak, platí výše uvedená tabulka!

- Změna horní hrany stropní desky
- Nosné zdivo z keramických tvarovek tl. 380 mm, P10, M5
- Nosné zdivo z keramických tvarovek tl. 250 mm, P10, M5
- Železobeton v řezu
- Dřevěné průřezy

OCEL: S235

VÝZTUŽ: B500B

VYSVĚTLIVKY

HH = výšková úroveň horní hrany nosné konstrukce

SH = výšková úroveň spodní hrany nosné konstrukce

++++ pracovní spára

POZNÁMKY:

- V projektu jsou zapracovány požadavky na stavební úpravy jednotlivých profesí (prostupy, drážky, ...) známé v době vydání projektové dokumentace. Případné změny je nutno konzultovat se statikem.
- Před realizací prostupů nosnými konstrukcemi je nutná jejich přebírka od generálního projektanta (Livingstav s.r.o.), případně zástupce dané profese pro odsouhlasení poloh a výšek. O přebírce prostupů bude proveden zápis do stavebního deníku!
- Na železobetonové konstrukce nejsou kladeny požadavky na pohledovost.
- Veškeré nosné konstrukce musí být realizovány prováděcí firmou, která má zkušenosti s prováděním obdobných staveb.
- V průběhu celé stavby bude přítomen odborný dozor (stavbyvedoucí).

winningsteel

autorizační razítko      pare      revize

±0,000 = 160,850

autorizovaný projektant Ing. Jitka Vítková	autor projektu Ing. Klara Konečná	vypracoval(a) Ing. Tomáš Suchomel Ing. Ivo Hasala	LIVINGSTAV Adresa: Hrádky 407/138a, 603 00 Brno, www.livingstav.cz, info@livingstav.cz, +420 608 314 100 (D 10h - P 18h)	
investor Město Břeclav, Náměstí T.G.Masaryka 42/3, 690 02 Břeclav	Přísníky 1745/30, 690 03 Břeclav; k.ú. Břeclav, parc. č. st.1108 a 3865		VÝKRES VYPRACOVANÝ NA ZÁKLADĚ VÝKRESU STAVBY VYPRACOVANÉHO ŽIVOTNÍM KONSTRUKČNÍM PRŮVODČÍM (S.Ú.) AŽ DO ÚROVNĚ MÍSTNÍHO ÚŘADU (M.Ú.) AŽ DO ÚROVNĚ MÍSTNÍHO ÚŘADU (M.Ú.)	
místo stavby	Přísníky 1745/30, 690 03 Břeclav; k.ú. Břeclav, parc. č. st.1108 a 3865		DÚR+DSP	
název akce	Dětská skupina Přísníky Břeclav		stupeň	DÚR+DSP
stavební objekt	SO01 - Dětská skupina		číslo zakázky	L23 236
část projektu	D.1.2 - Stavebně-konstrukční řešení		datum	05/2024
název výkresu	Výkres tvaru - Strop nad 2.NP		formát	841x594
			měřítko	číslo výkresu
			1:50	D.1.2.05